

KCMH TUMOR REGISTRY ANNUAL REPORT 2017, VOL.VII



โรงพยาบาลจุฬาลงกรณ์
สภากาชาดไทย

คณะแพทยศาสตร์
จุฬาลงกรณ์มหาวิทยาลัย



Editors: EC Chulalongkorn Comprehensive Cancer Center
Tumor Registry Unit

สารบัญชิตาราง (ต่อ)

หน้า

ศูนย์ความเป็นเลิศทางการแพทย์ โรคมะเร็งครบวงจร โรงพยาบาลจุฬาลงกรณ์ สภากาชาดไทย	ศูนย์ความเป็นเลิศทางการแพทย์ โรคมะเร็งครบวงจร โรงพยาบาลจุฬาลงกรณ์ สภากาชาดไทย	ศูนย์ความเป็นเลิศทางการแพทย์ โรคมะเร็งครบวงจร โรงพยาบาลจุฬาลงกรณ์ สภากาชาดไทย
ตารางที่ 40	แสดงจำนวนผู้ป่วยโรคมะเร็งต่อมลูกหมาก ในปี พ.ศ.2557-2560 (Trend of prostate cancer), 2014-2017	53
ตารางที่ 41	แสดงจำนวนผู้ป่วยโรคมะเร็งต่อมลูกหมาก จำแนกตามช่วงอายุ ในปี พ.ศ.2560 (Distribution of prostate cancer by age-group), 2017	54
ตารางที่ 42	แสดงจำนวนผู้ป่วยโรคมะเร็งต่อมลูกหมาก จำแนกตามวิธีวินิจฉัยในปี พ.ศ.2560 (Type of diagnosis of prostate cancer, 2017)	55
ตารางที่ 43	แสดงจำนวนวิธีการรักษาผู้ป่วยโรคมะเร็งต่อมลูกหมาก แยกตามเพศ ในปี พ.ศ.2560 (Method of treatment for prostate cancer), 2017	56
ตารางที่ 44	แสดงจำนวนผู้ป่วยโรคมะเร็งต่อมน้ำเหลือง ในปี พ.ศ.2557-2560 (Trend of lymphoma), 2014-2017	57
ตารางที่ 45	แสดงจำนวนผู้ป่วยโรคมะเร็งต่อมน้ำเหลือง จำแนกตามช่วงอายุ ในปี พ.ศ.2560 (Distribution of lymphoma by age-group), 2017	58
ตารางที่ 46	แสดงจำนวนผู้ป่วยโรคมะเร็งต่อมน้ำเหลือง จำแนกตามวิธีวินิจฉัย ในปี พ.ศ.2560 (Type of diagnosis of lymphoma, 2017)	59
ตารางที่ 47	แสดงจำนวนวิธีการรักษาผู้ป่วยโรคมะเร็งต่อมน้ำเหลือง แยกตามเพศ ในปี พ.ศ.2560 (Method of treatment for lymphoma), 2017	60
ตารางที่ 48	แสดงจำนวนผู้ป่วยโรคมะเร็งเม็ดเลือดขาว ในปี พ.ศ.2557-2560 (Trend of leukemia), 2013-2016	61
ตารางที่ 49	แสดงจำนวนผู้ป่วยโรคมะเร็งเม็ดเลือดขาว จำแนกตามช่วงอายุ ในปี พ.ศ.2560 (Distribution of leukemia by age-group), 2017	62
ตารางที่ 50	แสดงจำนวนผู้ป่วยโรคมะเร็งเม็ดเลือดขาว จำแนกตามวิธีวินิจฉัย ในปี พ.ศ.2560 (Type of diagnosis of leukemia, 2017)	63
ตารางที่ 51	แสดงจำนวนวิธีการรักษาผู้ป่วยโรคมะเร็งเม็ดเลือดขาว แยกตามเพศ ในปี พ.ศ. 2560 (Method of treatment for leukemia), 2017	64
ศูนย์ความเป็นเลิศทางการแพทย์ โรคมะเร็งครบวงจร โรงพยาบาลจุฬาลงกรณ์ สภากาชาดไทย	ศูนย์ความเป็นเลิศทางการแพทย์ โรคมะเร็งครบวงจร โรงพยาบาลจุฬาลงกรณ์ สภากาชาดไทย	ศูนย์ความเป็นเลิศทางการแพทย์ โรคมะเร็งครบวงจร โรงพยาบาลจุฬาลงกรณ์ สภากาชาดไทย

สารบัญแนกภูมิ

	หน้า
<p>ศูนย์ความเป็นเลิศทางการแพทย์ โรคมะเร็งครบวงจร โรงพยาบาลจุฬาลงกรณ์ สภากาชาดไทย</p> แผนภูมิที่ 1 แสดงจำนวนผู้ป่วยโรคมะเร็งรายใหม่ ในปี พ.ศ. 2557 - 2560 (Trend of number of new cancer patients: 2014-2017)	2
<p>ศูนย์ความเป็นเลิศทางการแพทย์ โรคมะเร็งครบวงจร โรงพยาบาลจุฬาลงกรณ์ สภากาชาดไทย</p> แผนภูมิที่ 2 แสดงโรคมะเร็งที่พบมากที่สุด 10 อันดับ แบ่งตามกลุ่มโรคในปี พ.ศ. 2560 (Ten most common cancer of organs, 2017)	3
<p>ศูนย์ความเป็นเลิศทางการแพทย์ โรคมะเร็งครบวงจร โรงพยาบาลจุฬาลงกรณ์ สภากาชาดไทย</p> แผนภูมิที่ 3 แสดงโรคมะเร็งที่พบมากที่สุด 10 อันดับ แบ่งตามกลุ่มโรค เพศชาย ในปี พ.ศ. 2560 (Ten most common cancer of organs: male, 2017)	4
<p>ศูนย์ความเป็นเลิศทางการแพทย์ โรคมะเร็งครบวงจร โรงพยาบาลจุฬาลงกรณ์ สภากาชาดไทย</p> แผนภูมิที่ 4 แสดงโรคมะเร็งที่พบมากที่สุด 10 อันดับ แบ่งตามกลุ่มโรค เพศหญิง ในปี พ.ศ. 2560 (Ten most common cancer of organs: female, 2017)	4
<p>ศูนย์ความเป็นเลิศทางการแพทย์ โรคมะเร็งครบวงจร โรงพยาบาลจุฬาลงกรณ์ สภากาชาดไทย</p> แผนภูมิที่ 5 แสดงโรคมะเร็งที่พบมากที่สุด 10 อันดับ เพศชาย ในปี พ.ศ.2560 (Ten most common cancer: males, 2017)	5
<p>ศูนย์ความเป็นเลิศทางการแพทย์ โรคมะเร็งครบวงจร โรงพยาบาลจุฬาลงกรณ์ สภากาชาดไทย</p> แผนภูมิที่ 6 แสดงโรคมะเร็งที่พบมากที่สุด 10 อันดับ เพศหญิง ในปี พ.ศ.2560 (Ten most common cancer: females, 2017)	6
<p>ศูนย์ความเป็นเลิศทางการแพทย์ โรคมะเร็งครบวงจร โรงพยาบาลจุฬาลงกรณ์ สภากาชาดไทย</p> แผนภูมิที่ 7 แสดงจำนวนของผู้ป่วยโรคมะเร็งจำแนกตามช่วงอายุ ในปี พ.ศ.2560 (Distribution of cancer patients by age-group, 2017)	7
<p>ศูนย์ความเป็นเลิศทางการแพทย์ โรคมะเร็งครบวงจร โรงพยาบาลจุฬาลงกรณ์ สภากาชาดไทย</p> แผนภูมิที่ 8 แสดงร้อยละของผู้ป่วยโรคมะเร็งจำแนกตามวิธีวินิจฉัย ในปี พ.ศ.2560 (Percentage of type of diagnosis of cancer site of all Cancer, 2017)	8
<p>ศูนย์ความเป็นเลิศทางการแพทย์ โรคมะเร็งครบวงจร โรงพยาบาลจุฬาลงกรณ์ สภากาชาดไทย</p> แผนภูมิที่ 9 แสดงจำนวนผู้ป่วยโรคมะเร็งลำไส้ใหญ่และทวารหนัก ในปี พ.ศ. 2557 – 2560 (Trend of colon & rectum cancer), 2014-2017	25
<p>ศูนย์ความเป็นเลิศทางการแพทย์ โรคมะเร็งครบวงจร โรงพยาบาลจุฬาลงกรณ์ สภากาชาดไทย</p> แผนภูมิที่ 10 แสดงจำนวนผู้ป่วยโรคมะเร็งลำไส้ใหญ่และทวารหนัก จำแนกตามช่วงอายุ ในปี พ.ศ.2560 (Distribution of colon & rectum cancer by age-group), 2017	26
<p>ศูนย์ความเป็นเลิศทางการแพทย์ โรคมะเร็งครบวงจร โรงพยาบาลจุฬาลงกรณ์ สภากาชาดไทย</p> แผนภูมิที่ 11 แสดงร้อยละของผู้ป่วยโรคมะเร็งลำไส้ใหญ่และทวารหนัก จำแนกตามวิธีวินิจฉัย ในปี พ.ศ.2560 (Percentage of type of diagnosis for colon & rectum cancer), 2017	27
<p>ศูนย์ความเป็นเลิศทางการแพทย์ โรคมะเร็งครบวงจร โรงพยาบาลจุฬาลงกรณ์ สภากาชาดไทย</p> แผนภูมิที่ 12 แสดงจำนวนผู้ป่วยโรคมะเร็งตับและท่อน้ำดี ในปี พ.ศ. 2557 – 2560 (Trend of liver & bile duct cancer), 2014-2017	29
<p>ศูนย์ความเป็นเลิศทางการแพทย์ โรคมะเร็งครบวงจร โรงพยาบาลจุฬาลงกรณ์ สภากาชาดไทย</p> แผนภูมิที่ 13 แสดงจำนวนผู้ป่วยโรคมะเร็งตับและท่อน้ำดี จำแนกตามช่วงอายุ ในปี พ.ศ.2560 (Distribution of liver & bile duct cancer by age-group), 2017	30

สารบัญญแนมฤมึ (ต่อ)

หน้า

ศูนย์ความเป็นเลิศทางการแพทย์ โรคมะเร็งครบวงจร โรงพยาบาลจุฬาลงกรณ์ สภากาชาดไทย	ศูนย์ความเป็นเลิศทางการแพทย์ โรคมะเร็งครบวงจร โรงพยาบาลจุฬาลงกรณ์ สภากาชาดไทย	ศูนย์ความเป็นเลิศทางการแพทย์ โรคมะเร็งครบวงจร โรงพยาบาลจุฬาลงกรณ์ สภากาชาดไทย
แผนภูมิที่ 27 แสดงจำนวนผู้ป่วยโรคมะเร็งรังไข่ ในปี พ.ศ. 2557 – 2560 (Trend of ovarian cancer), 2014-2017		49
แผนภูมิที่ 28 แสดงจำนวนผู้ป่วยโรคมะเร็งรังไข่ จำแนกตามช่วงอายุ ในปี พ.ศ.2560 (Distribution of ovarian cancer by age-group), 2017		50
แผนภูมิที่ 29 แสดงร้อยละของผู้ป่วยโรคมะเร็งรังไข่ จำแนกตามวิธีวินิจฉัย ในปี พ.ศ.2560 (Percentage of type of diagnosis for ovarian cancer), 2017		51
แผนภูมิที่ 30 แสดงจำนวนผู้ป่วยโรคมะเร็งต่อมลูกหมาก ในปี พ.ศ. 2557 - 2560 (Trend of prostate cancer), 2014-2017		53
แผนภูมิที่ 31 แสดงจำนวนผู้ป่วยโรคมะเร็งต่อมลูกหมาก จำแนกตามช่วงอายุ ในปี พ.ศ.2560 (Distribution of prostate cancer by age-group), 2017		54
แผนภูมิที่ 32 แสดงร้อยละของผู้ป่วยโรคมะเร็งต่อมลูกหมาก จำแนกตามวิธีวินิจฉัย ในปี พ.ศ.2560 (Percentage of type of diagnosis for prostate cancer), 2017		55
แผนภูมิที่ 33 แสดงจำนวนผู้ป่วยโรคมะเร็งต่อมน้ำเหลือง ในปี พ.ศ. 2557 – 2560 (Trend of lymphoma), 2014-2017		57
แผนภูมิที่ 34 แสดงจำนวนผู้ป่วยโรคมะเร็งต่อมน้ำเหลือง จำแนกตามช่วงอายุ ในปี พ.ศ.2560 (Distribution of lymphoma by age-group), 2017		58
แผนภูมิที่ 35 แสดงร้อยละของผู้ป่วยโรคมะเร็งต่อมน้ำเหลือง จำแนกตามวิธีวินิจฉัย ในปี พ.ศ.2560 (Percentage of type of diagnosis for lymphoma), 2017		59
แผนภูมิที่ 36 แสดงจำนวนผู้ป่วยโรคมะเร็งเม็ดเลือดขาว ในปี พ.ศ. 2557 – 2560 (Trend of leukemia), 2014-2017		61
แผนภูมิที่ 37 แสดงจำนวนผู้ป่วยโรคมะเร็งเม็ดเลือดขาว จำแนกตามช่วงอายุ ในปี พ.ศ.2560 (Distribution of leukemia by age-group), 2017		62
แผนภูมิที่ 38 แสดงร้อยละของผู้ป่วยโรคมะเร็งเม็ดเลือดขาว จำแนกตามวิธีวินิจฉัย ในปี พ.ศ.2560 (Percentage of type of diagnosis for leukemia), 2017		63

สารบัญญแนกมูม (ต่อ)

	หน้า
แผนกมูมที่ 39 แสดงอัตรการรอดชีพ (survival) ผู้ป่วยโรคมะเร็งลำไส้ใหญ่และทวารหนัก (colon & rectum cancer) ในปี พ.ศ.2557 โดยแบ่งเป็นปี	66
แผนกมูมที่ 40 แสดงอัตรการรอดชีพ (survival) ผู้ป่วยโรคมะเร็งลำไส้ใหญ่และทวารหนัก (colon & rectum cancer) แยกตามเพศ ในปี พ.ศ.2557 โดยแบ่งเป็นปี	67
แผนกมูมที่ 41 แสดงอัตรการรอดชีพ (survival) ผู้ป่วยโรคมะเร็งลำไส้ใหญ่และทวารหนัก (colon & rectum cancer) ในปี พ.ศ.2559 โดยแบ่งเป็นปี	68
แผนกมูมที่ 42 แสดงอัตรการรอดชีพ (survival) ผู้ป่วยโรคมะเร็งลำไส้ใหญ่และทวารหนัก (colon & rectum cancer) แยกตามเพศ ในปี พ.ศ.2559 โดยแบ่งเป็นปี	69
แผนกมูมที่ 43 แสดงอัตรการรอดชีพ (survival) ผู้ป่วยโรคมะเร็งตับ (liver cancer) ในปี พ.ศ.2557 โดยแบ่งเป็นปี	70
แผนกมูมที่ 44 แสดงอัตรการรอดชีพ (survival) ผู้ป่วยโรคมะเร็งตับ (liver cancer) แยกตามเพศ ในปี พ.ศ.2557 โดยแบ่งเป็นปี	71
แผนกมูมที่ 45 แสดงอัตรการรอดชีพ (survival) ผู้ป่วยโรคมะเร็งตับ (liver cancer) ในปี พ.ศ.2559 โดยแบ่งเป็นปี	72
แผนกมูมที่ 46 แสดงอัตรการรอดชีพ (survival) ผู้ป่วยโรคมะเร็งตับ (liver cancer) แยกตามเพศ ในปี พ.ศ.2559 โดยแบ่งเป็นปี	73
แผนกมูมที่ 47 แสดงอัตรการรอดชีพ (survival) ผู้ป่วยโรคมะเร็งปอด (lung cancer) ในปี พ.ศ.2557 โดยแบ่งเป็นปี	74
แผนกมูมที่ 48 แสดงอัตรการรอดชีพ (survival) ผู้ป่วยโรคมะเร็งปอด (lung cancer) แยกตามเพศ ในปี พ.ศ.2557 โดยแบ่งเป็นปี	75
แผนกมูมที่ 49 แสดงอัตรการรอดชีพ (survival) ผู้ป่วยโรคมะเร็งปอด (lung cancer) ในปี พ.ศ.2559 โดยแบ่งเป็นปี	76
แผนกมูมที่ 50 แสดงอัตรการรอดชีพ (survival) ผู้ป่วยโรคมะเร็งปอด (lung cancer) แยกตามเพศ ในปี พ.ศ.2559 โดยแบ่งเป็นปี	77
แผนกมูมที่ 51 แสดงอัตรการรอดชีพ (survival) ผู้ป่วยโรคมะเร็งเต้านม (breast cancer) ในปี พ.ศ.2557 โดยแบ่งเป็นปี	78

ตารางที่ 2

แสดงจำนวนผู้ป่วยโรคมะเร็งรายใหม่ในปี พ.ศ. 2557-2560
ศูนย์ความเป็นเลิศทางการแพทย์ โรคมะเร็งครบวงจร โรงพยาบาลจุฬาลงกรณ์ สภากาชาดไทย

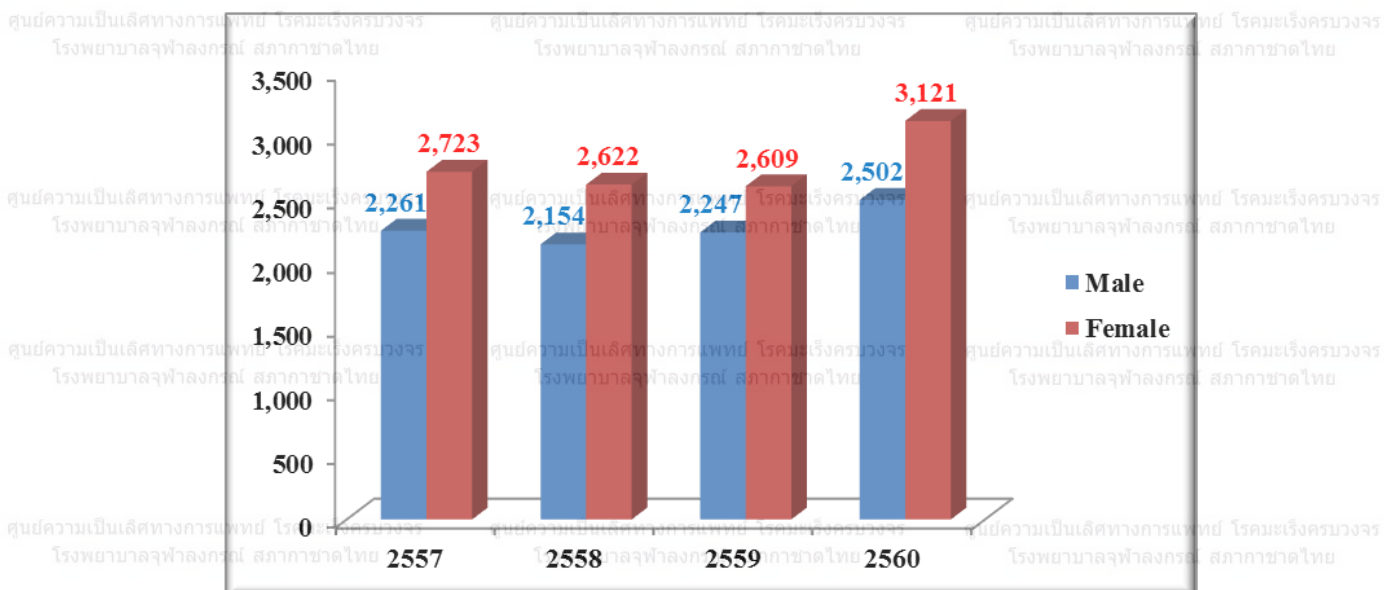
(Number of new cancer patients : 2014-2017)

Year	Male	Female	Total
2557	2,261	2,723	4,984
2558	2,154	2,622	4,776
2559	2,247	2,609	4,856
2560	2,502	3,121	5,623

แผนภูมิที่ 1

แสดงจำนวนผู้ป่วยโรคมะเร็งรายใหม่ในปี พ.ศ. 2557 - 2560
ศูนย์ความเป็นเลิศทางการแพทย์ โรคมะเร็งครบวงจร โรงพยาบาลจุฬาลงกรณ์ สภากาชาดไทย

(Trend of number of new cancer patients: 2014-2017)



ตารางที่ 3

ศูนย์ความเป็นเลิศทางการแพทย์ โรคมะเร็งครบวงจร
โรงพยาบาลจุฬาลงกรณ์ สภากาชาดไทย

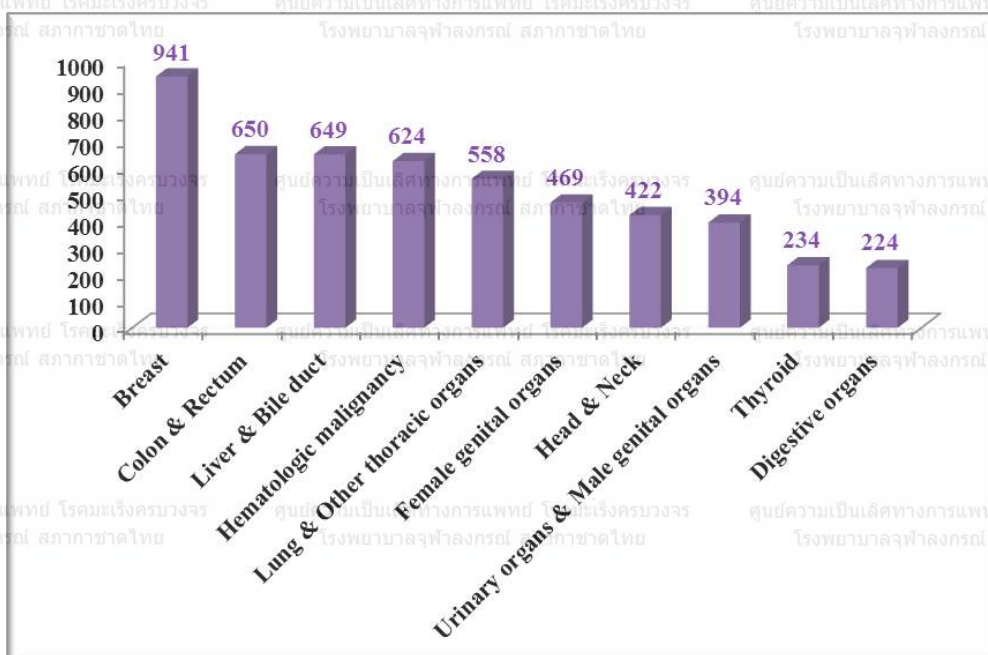
แสดงจำนวนผู้ป่วยโรคมะเร็งแบ่งตามกลุ่มโรค ในปี พ.ศ. 2560
(Number of cancer by organs, 2017)

Organs	Male		Female		Total		ICD-10
	Case	%	Case	%	Case	%	
Head & Neck	286	11.4	136	4.4	422	7.5	C00-C14, C30-C32
Digestive organs	145	5.8	79	2.5	224	4.0	C15-C17, C26
Colon & Rectum	354	14.1	296	9.5	650	11.6	C18-C21
Liver & Bile duct	440	17.6	209	6.7	649	11.5	C22-C25
Lung & Other thoracic organs	316	12.6	242	7.8	558	9.9	C33-34, C37-39, C45
Bone & Sarcoma	76	3.0	60	1.9	136	2.4	C40-C41, C46-C49
Skin	65	2.6	81	2.6	146	2.6	C43-C44
Breast	2	0.1	939	30.1	941	16.7	C50
Female genital organs	0	0.0	469	15.0	469	8.3	C51-C58
Urinary organs & Male genital organs	352	14.1	42	1.3	394	7.0	C60-C68
Eye	4	0.2	2	0.1	6	0.1	C69
Brain & nervous system	57	2.3	33	1.1	90	1.6	C70-C72
Thyroid	48	1.9	186	6.0	234	4.2	C73
Other endocrine glands	20	0.8	11	0.4	31	0.6	C74-C75
Other and ill-defined sites	1	0.0	1	0.0	2	0.0	C76
Hematologic malignancy	310	12.4	314	10.1	624	11.1	C81-C96, D45-47
Other & unspecified	26	1.0	21	0.7	47	0.8	C80
Total	2,502	100.0	3,121	100.0	5,623	100.0	

แผนภูมิที่ 2

แสดงโรคมะเร็งที่พบมากที่สุด 10 อันดับ แบ่งตามกลุ่มโรคในปี พ.ศ. 2560

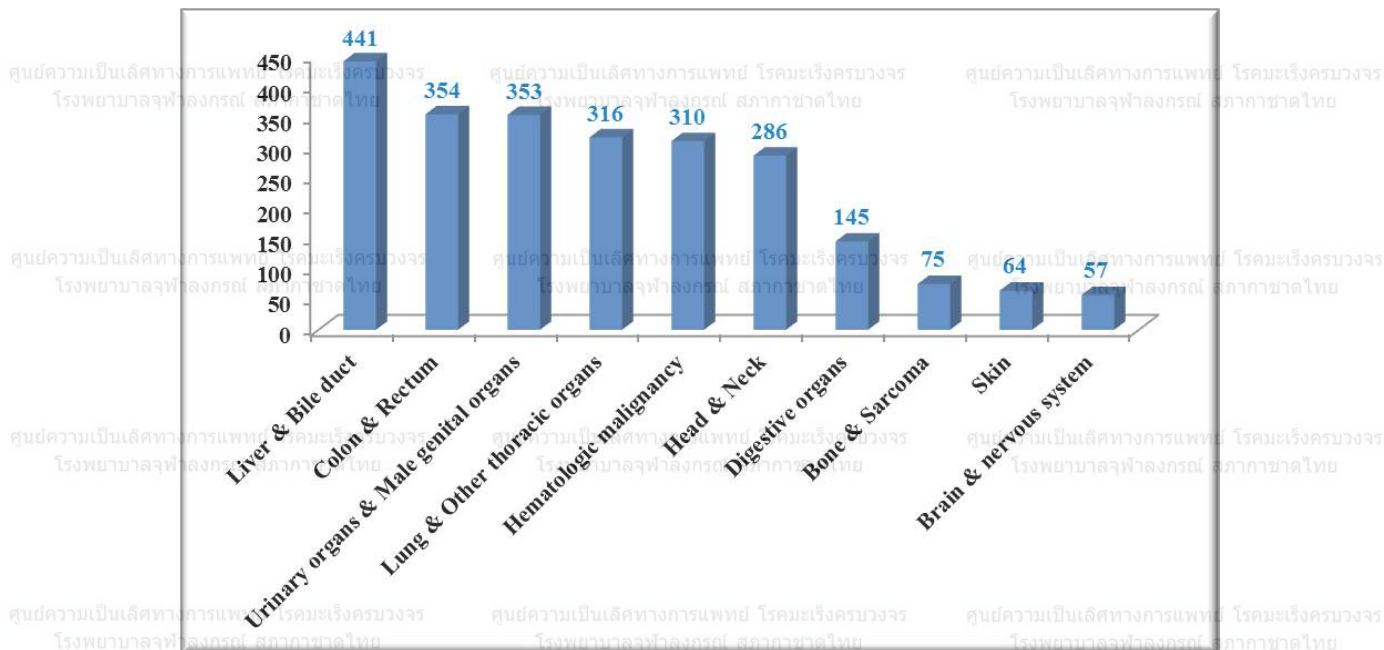
(Ten most common cancer of organs, 2017)



แผนภูมิที่ 3

แสดงโรคมะเร็งที่พบบ่อยมากที่สุด 10 อันดับ แบ่งตามกลุ่มโรค เพศชาย ในปี พ.ศ. 2560
ศูนย์ความเป็นเลิศทางการแพทย์ โรคมะเร็งครบวงจร
โรงพยาบาลจุฬาลงกรณ์ สภากาชาดไทย

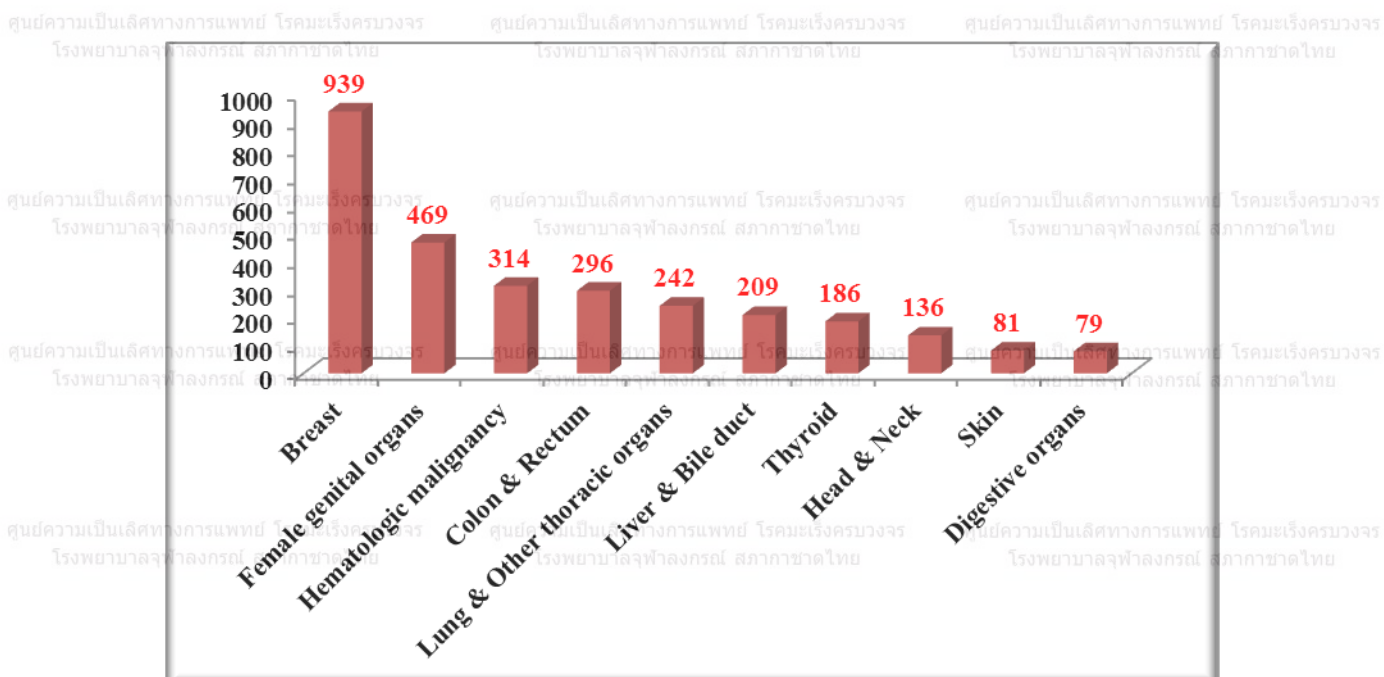
(Ten most common cancer of organs: male, 2017)



แผนภูมิที่ 4

แสดงโรคมะเร็งที่พบบ่อยมากที่สุด 10 อันดับ แบ่งตามกลุ่มโรค เพศหญิง ในปี พ.ศ. 2560
ศูนย์ความเป็นเลิศทางการแพทย์ โรคมะเร็งครบวงจร
โรงพยาบาลจุฬาลงกรณ์ สภากาชาดไทย

(Ten most common cancer of organs: female, 2017)



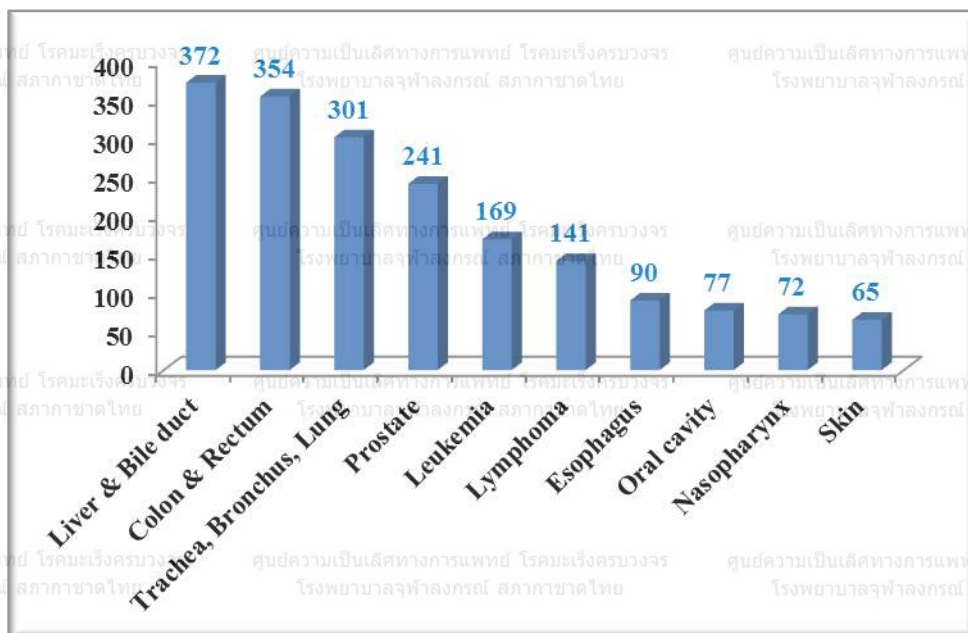
ตารางที่ 4

แสดงโรคมะเร็งที่พบบ่อยมากที่สุด 10 อันดับ เพศชาย ในปี พ.ศ. 2560
(Ten most common cancer: males, 2017)

Organs	Number	Percent
Liver & Bile duct	372	14.9
Colon & Rectum	354	14.1
Trachea, Bronchus, Lung	301	12.0
Prostate	241	9.6
Leukemia	169	6.8
Lymphoma	141	5.6
Esophagus	90	3.6
Oral cavity	77	3.1
Nasopharynx	72	2.9
Skin	65	2.6

แผนภูมิที่ 5

แสดงโรคมะเร็งที่พบบ่อยมากที่สุด 10 อันดับ เพศชาย ในปี 2560
(Ten most common cancer: males, 2017)



ตารางที่ 5

แสดงโรคมะเร็งที่พบบ่อยมากที่สุด 10 อันดับ เพศหญิง ในปี 2560
ศูนย์ความเป็นเลิศทางการแพทย์ โรคมะเร็งครบวงจร โรงพยาบาลจุฬาลงกรณ์ สภากาชาดไทย

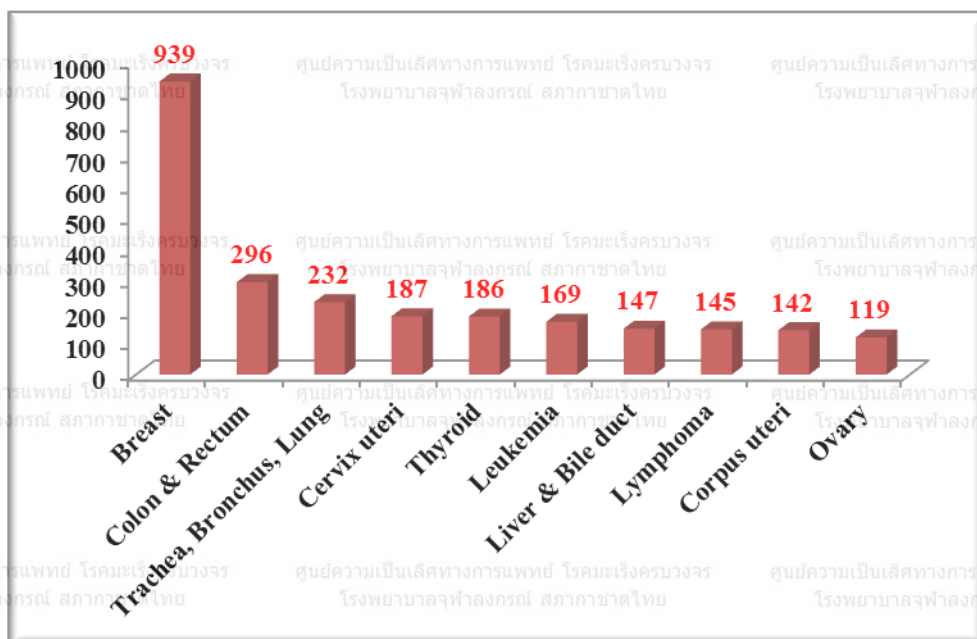
(Ten most common cancer: females, 2017)

Organs	Number	Percent
Breast	939	30.1
Colon & Rectum	296	9.5
Trachea, Bronchus, Lung	232	7.4
Cervix uteri	187	6.0
Thyroid	186	6.0
Leukemia	169	5.4
Liver & Bile duct	147	4.7
Lymphoma	145	4.6
Corpus uteri	142	4.5
Ovary	119	3.8

แผนภูมิที่ 6

แสดงโรคมะเร็งที่พบบ่อยมากที่สุด 10 อันดับ เพศหญิง ในปี 2560
ศูนย์ความเป็นเลิศทางการแพทย์ โรคมะเร็งครบวงจร โรงพยาบาลจุฬาลงกรณ์ สภากาชาดไทย

(Ten most common cancer: females, 2017)



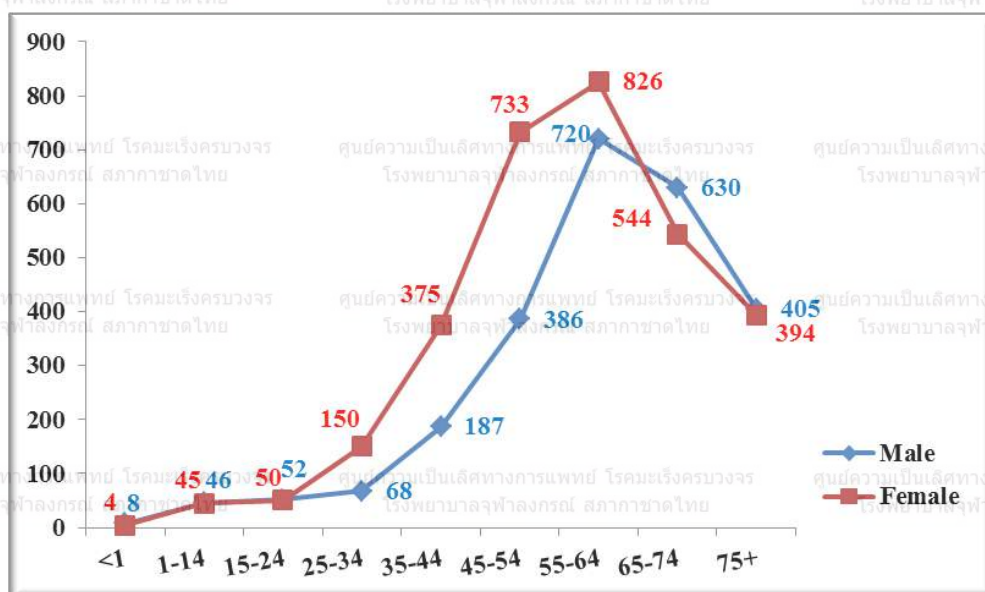
ตารางที่ 6

แสดงจำนวนผู้ป่วยโรคมะเร็งจำแนกตามช่วงอายุ ในปี 2560
(Distribution of cancer patients by age-group, 2017)

Age group	Male		Female		Total	
	Number	%	Number	%	Number	%
<1	8	0.3	4	0.1	12	0.2
1-14	46	1.8	45	1.4	91	1.6
15-24	52	2.1	50	1.6	102	1.8
25-34	68	2.7	150	4.8	218	3.9
35-44	187	7.5	375	12.0	562	10.0
45-54	386	15.4	733	23.5	1119	19.9
55-64	720	28.8	826	26.5	1546	27.5
65-74	630	25.2	544	17.4	1174	20.9
75+	405	16.2	394	12.6	799	14.2
Total	2,502	100.0	3,121	100.0	5,623	100.0

แผนภูมิที่ 7

แสดงจำนวนผู้ป่วยโรคมะเร็งจำแนกตามช่วงอายุ ในปี 2560
(Distribution of cancer patients by age-group, 2017)



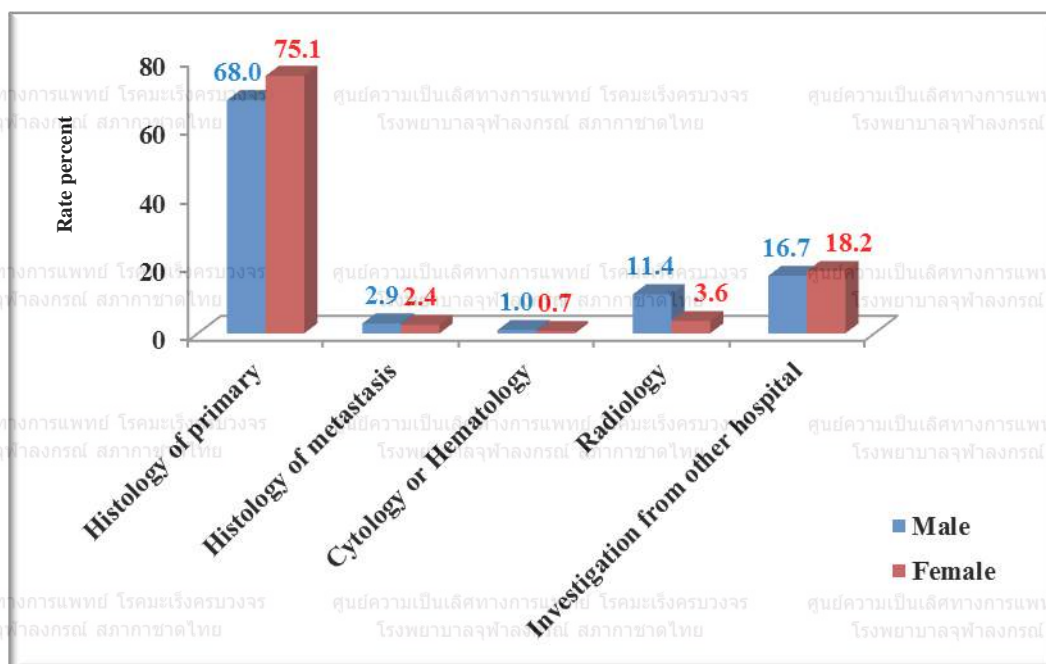
ตารางที่ 7

แสดงจำนวนผู้ป่วยโรคมะเร็งจำแนกตามวิธีวินิจฉัย ในปี 2560
(Number of cancer patients by type of diagnosis, 2017)

Method of diagnosis	Male		Female		Total	
	Number	%	Number	%	Number	%
Histology of primary	1,702	68.0	2,344	75.1	4,046	72.0
Histology of metastasis	72	2.9	76	2.4	148	2.6
Cytology or Hematology	24	1.0	21	0.7	45	0.8
Radiology	285	11.4	113	3.6	398	7.1
Investigation from other hospital	419	16.7	567	18.2	986	17.5
Total	2,502	100.0	3,121	100.0	5,623	100.0

แผนภูมิที่ 8

แสดงร้อยละของผู้ป่วยโรคมะเร็งจำแนกตามวิธีวินิจฉัย ในปี 2560
(Percentage of type of diagnosis of cancer site of all Cancer, 2017)



ตารางที่ 9

ศูนย์ความเป็นเลิศทางการแพทย์ โรคมะเร็งครบวงจร
โรงพยาบาลจุฬาลงกรณ์ สภากาชาดไทย

แสดงประเภทของโรคมะเร็งในเพศชายจำแนกตามช่วงอายุในปี พ.ศ. 2560

(Number of cancer cases by site: male, 2017)

SITE	ALL AGE	<1	1-14	15-24	25-34	35-44	45-54	55-64	65-74	75+	ICD -10
Oral cavity	77	-	-	1	1	7	20	22	17	9	C00, C02-C08
Oropharynx, etc.	41	-	-	-	-	13	4	20	7	7	C01, C09-C10,C14
Nasopharynx	72	-	1	3	4	13	17	23	9	2	C11
Hypopharynx	35	-	-	-	-	3	11	8	8	5	C12-C13
Esophagus	90	-	-	-	1	2	26	37	18	6	C15
Stomach	43	-	-	-	-	1	7	12	13	10	C16
Small intestine	11	-	-	-	-	1	2	5	2	1	C17
Colon & Rectum	354	-	-	-	6	18	57	116	102	55	C18-C21
Liver & Bile duct	372	-	-	2	3	25	78	130	91	43	C22, C24
Gallbladder	10	-	-	-	-	-	5	1	3	1	C23
Pancreas	58	-	-	-	-	4	6	19	22	7	C25
Other & ill-defined digestive organs	1	-	-	-	-	-	-	1	-	-	C26
Nose, sinuses etc.	11	-	-	-	-	2	4	-	5	-	C30-C31
Larynx	50	-	-	-	-	1	3	21	13	12	C32
Trachea, bronchus, Lung	301	-	2	-	1	12	44	89	79	74	C33-C34
Other thoracic organs	14	1	1	4	2	1	1	2	1	1	C37-C38
Bone	27	-	6	8	2	13	4	4	-	-	C40-C41
Skin	65	-	-	-	3	7	11	9	12	23	C43-C44
Mesothelioma	1	-	-	-	-	-	1	-	-	-	C45
Kaposi sarcoma	4	-	-	-	3	1	-	-	-	-	C46
Connective & soft tissue	40	-	2	2	3	7	9	9	5	3	C47,C49
Retroperitoneum & Peritoneum	5	1	-	-	1	1	-	2	-	-	C48
Breast	2	-	-	-	-	-	-	2	-	-	C50
Penis	7	-	-	-	-	1	-	1	3	2	C60
Prostate	241	-	-	-	-	-	8	69	102	62	C61
Testis	5	-	-	1	2	1	1	-	-	-	C62
Other male genital	1	-	-	-	-	-	-	-	-	1	C63
Kidney	33	1	-	-	-	5	3	11	8	5	C64
Renal pelvis	3	-	-	-	-	-	-	2	1	-	C65
Ureter	2	-	-	-	-	-	-	-	2	-	C66
Bladder	60	-	-	-	2	2	1	9	22	24	C67
Eye	4	1	1	-	-	-	-	-	2	-	C69
Brain, nervous system	57	-	12	3	5	12	10	12	3	-	C70-C72
Thyroid	48	-	-	2	9	13	6	12	4	2	C73
Adrenal gland	8	2	3	-	1	-	-	1	-	1	C74
Other endocrine	12	-	2	8	1	1	-	-	-	-	C75
Other and ill-defined sites	1	-	-	-	-	-	-	1	-	-	C76
Lymphoma	141	1	3	8	10	19	21	35	29	15	C81-C88,C96
Leukemia	122	1	13	9	6	15	17	22	25	13	C90-C95
Chronic myeloproliferative disease	24	-	-	1	3	3	1	4	6	7	MPD (D45,D47)
Myelodysplastic syndrome	23	-	-	-	-	1	1	4	10	7	MDS (D46)
Other & unspecified	26	-	-	-	-	2	6	6	5	7	O&U
Total	2,502	8	46	52	68	187	386	719	631	405	

ตารางที่ 10

ศูนย์ความเป็นเลิศทางการแพทย์ โรคมะเร็งครบวงจร
โรงพยาบาลจุฬาลงกรณ์ สภากาชาดไทย

แสดงประเภทของโรคมะเร็งในเพศหญิงจำแนกตามช่วงอายุ ในปี พ.ศ. 2560

(Number of cancer cases by site: female, 2017)

SITE	ALL AGE	<1	1-14	15-24	25-34	35-44	45-54	55-64	65-74	75+	ICD -10
Oral cavity	62	-	2	-	7	8	9	13	9	14	C00, C02-C08
Oropharynx, etc.	10	-	-	-	1	-	6	2	1	-	C01, C09-C10,C14
Nasopharynx	45	-	-	1	5	7	19	6	3	4	C11
Hypopharynx	4	-	-	-	-	1	2	1	-	-	C12-C13
Esophagus	11	-	-	-	1	2	1	4	3	-	C15
Stomach	57	-	-	-	2	8	9	18	12	8	C16
Small intestine	10	-	-	1	-	1	1	1	6	-	C17
Colon & Rectum	296	-	-	-	5	16	56	81	67	71	C18-C21
Liver & Bile duct	147	-	-	-	1	8	21	51	41	25	C22,C24
Gallbladder	11	-	-	-	-	-	4	4	1	2	C23
Pancreas	51	-	-	-	1	2	8	13	14	13	C25
Other & ill-defined digestive organs	1	-	-	-	-	-	-	1	-	-	C26
Nose, sinuses etc.	13	-	-	1	-	3	5	2	1	1	C30-C31
Larynx	2	-	-	-	-	-	1	-	1	-	C32
Trachea, bronchus, Lung	232	-	-	2	4	12	28	62	67	57	C33-C34
Other thoracic organs	8	-	-	-	-	-	4	4	-	-	C37-C38
Bone	11	-	2	2	-	2	2	-	3	-	C40-C41
Skin	81	-	-	1	-	5	16	17	13	29	C43-C44
Mesothelioma	2	-	-	-	1	1	-	-	-	-	C45
Connective and soft tissue	38	-	5	4	7	4	5	7	5	1	C47,C49
Retroperitoneum& Peritoneum	11	-	-	-	-	2	2	3	4	-	C48
Breast	939	-	-	1	16	164	304	265	123	66	C50
Valva	14	-	-	-	2	-	3	-	3	6	C51
Vagina	7	-	-	-	-	-	2	-	3	2	C52
Cervix uteri	187	-	-	1	16	28	53	57	22	10	C53
Corpus uteri	142	-	-	-	4	16	25	60	28	9	C54
Ovary	119	1	1	2	3	20	36	34	17	5	C56
Kidney	16	-	1	-	-	-	3	6	2	4	C64
Ureter	5	-	-	-	-	-	-	1	3	1	C66
Bladder	17	-	-	-	-	-	1	2	4	10	C67
Urinary system	4	-	-	-	-	-	-	1	1	2	C68
Eye	2	-	-	-	-	-	-	-	1	1	C69
Brain, nervous system	33	-	6	1	7	4	6	7	1	1	C70-C72
Thyroid	186	-	3	17	40	31	47	29	10	9	C73
Adrenal gland	9	-	8	2	-	-	-	1	-	-	C74
Other endocrine	2	-	-	-	1	1	-	-	-	-	C75
Other and ill-defined sites	1	-	-	-	-	-	-	-	-	1	C76
Lymphoma	145	-	5	7	12	14	18	39	34	16	C81-C88,C96
Leukemia	119	3	12	7	12	14	26	17	22	6	C90-C95
Chronic myeloproliferative disease	19	-	-	2	1	-	4	6	2	4	MPD (D45,D47)
Myelodysplastic syndrome	31	-	-	-	1	-	1	6	13	10	MDS (D46)
Other and unspecified	21	-	-	-	-	1	5	5	4	6	O&U
Total	3,121	4	45	50	150	375	733	826	544	394	

ตารางที่ 11

ศูนย์ความเป็นเลิศทางการแพทย์ โรคมะเร็งครบวงจร
โรงพยาบาลจุฬาลงกรณ์ สภากาชาดไทย

แสดงผลพยาธิวิทยาแยกตามชนิดของโรคมะเร็งและจำนวนที่พบในปี 2560
(Pathology by site, 2017)

ศูนย์ความเป็นเลิศทางการแพทย์ โรคมะเร็งครบวงจร
โรงพยาบาลจุฬาลงกรณ์ สภากาชาดไทย

Site code	Pathology	Morphology description	Male	Female	Total
C00, C02 - C08	Oral cavity		76	63	139
C00	Lip		3	4	7
	8070	Squamous cell carcinoma	3	4	7
C02	Tongue		37	21	58
	8070	Squamous cell carcinoma	35	20	55
	8071	Squamous cell carcinoma, keratinizing	0	1	1
	8074	Squamous cell carcinoma, spindle cell	2	0	2
C03	Gum		3	5	8
	8051	Verrucous carcinoma	0	1	1
	8070	Squamous cell carcinoma	3	4	7
C04	Floor of Mouth		8	3	11
	8070	Squamous cell carcinoma	7	0	7
	8073	Squamous cell carcinoma, small cell, nonkeratinizing	1	2	3
	8200	Adenoid cystic carcinoma	0	1	1
C05	Palate		5	5	10
	8070	Squamous cell carcinoma	5	5	10
C06	Mouth		5	4	9
	8051	Verrucous carcinoma	0	1	1
	8070	Squamous cell carcinoma	5	3	8
C07	Parotid gland		10	17	27
	8010	Carcinoma	0	1	1
	8070	Squamous cell carcinoma	1	2	3
	8082	Lymphoepithelial carcinoma	1	3	4
	8140	Adenocarcinoma	2	0	2
	8200	Adenoid cystic carcinoma	0	2	2
	8430	Mucoepidermoid carcinoma	2	4	6
	8500	Infiltrating duct carcinoma	1	0	1
	8502	Secretory carcinoma	0	2	2
	8550	Acinar cell carcinoma	1	2	3
	8552	Mixed acinar-ductal carcinoma	1	0	1
	8562	Epithelial-myoeipithelial carcinoma	1	0	1
	8982	Malignant myoeipithelioma	0	1	1
C08	Major salivary gland		5	4	9
	8070	Squamous cell carcinoma	2	0	2
	8200	Adenoid cystic carcinoma	2	1	3
	8430	Mucoepidermoid carcinoma	0	2	2
	8500	Infiltrating duct carcinoma	1	0	1
	8562	Epithelial-myoeipithelial carcinoma	0	1	1
C01, C09-C10, C14	Oropharynx, etc.		41	9	50
C01	Base of tongue		16	0	16
	8070	Squamous cell carcinoma	14	0	14
	8083	Basaloid squamous cell carcinoma	1	0	1
	8246	Neuroendocrine carcinoma	1	0	1

Site code	Pathology	Morphology description	Male	Female	Total
C09	Tonsil		18	6	24
	8070	Squamous cell carcinoma	13	4	17
	8071	Squamous cell carcinoma, keratinizing	1	0	1
	8072	Squamous cell carcinoma, nonkeratinizing	4	1	5
	9120	Angiosarcoma	0	1	1
C10	Oropharynx		6	3	9
	8070	Squamous cell carcinoma	4	1	5
	8071	Squamous cell carcinoma, keratinizing	1	0	1
	8072	Squamous cell carcinoma, nonkeratinizing	1	2	3
C14	Pharynx		1	0	1
	8070	Squamous cell carcinoma	1	0	1
C11	Nasopharynx		69	45	114
	8010	Carcinoma	2	1	3
	8020	Carcinoma, undifferentiated	13	5	18
	8070	Squamous cell carcinoma	8	3	11
	8071	Squamous cell carcinoma, keratinizing	2	0	2
	8072	Squamous cell carcinoma, nonkeratinizing	44	33	77
	8200	Adenoid cystic carcinoma	0	1	1
	8246	Neuroendocrine carcinoma	0	1	1
	8982	Myoepithelial carcinoma	0	1	1
C12-C13	Hypopharynx		33	4	37
C12	Pyiform		21	2	23
	8041	Small cell carcinoma	1	0	1
	8070	Squamous cell carcinoma	19	2	21
	8083	Basaloid squamous cell carcinoma	1	0	1
C13	Hypopharynx		12	2	14
	8010	Carcinoma	1	0	1
	8070	Squamous cell carcinoma	10	2	12
	8082	Lymphoepithelial carcinoma	1	0	1
C15	Esophagus		83	9	92
	8070	Squamous cell carcinoma	73	9	82
	8071	Squamous cell carcinoma, keratinizing	4	0	4
	8072	Squamous cell carcinoma, nonkeratinizing	1	0	1
	8140	Adenocarcinoma	5	0	5
C16	Stomach		42	57	99
	8140	Adenocarcinoma	29	34	63
	8144	Adenocarcinoma, intestinal type	2	0	2
	8145	Adenocarcinoma, diffuse type	1	1	2
	8490	Signet ring cell carcinoma	6	15	21
	8936	Gastrointestinal stromal sarcoma	3	7	10
	9560	Malignant schwannoma	1	0	1
C17	Small intestine		9	9	18
	8140	Adenocarcinoma	5	1	6
	8246	Neuroendocrine carcinoma	0	1	1
	8480	Mucinous adenocarcinoma	1	0	1
	8936	Gastrointestinal stromal sarcoma	3	7	10
C18-C21	Colon & Rectum		329	281	610
C18	Colon		147	153	300
	8140	Adenocarcinoma	138	126	264

Site code	Pathology	Morphology description	Male	Female	Total
	8240	Neuroendocrine tumor, grade 1	0	1	1
	8263	Adenocarcinoma in tubulovillous adenoma	0	1	1
	8480	Mucinous adenocarcinoma	6	16	22
	8481	Mucin-producing adenocarcinoma	3	8	11
	8851	Liposarcoma, well differentiated	0	1	1
C19	Rectosigmoid juncton		24	15	39
	8140	Adenocarcinoma	24	15	39
C20	Rectum		148	93	241
	8001	Tumor cells, malignant	1	0	1
	8010	Carcinoma	0	1	1
	8140	Adenocarcinoma	135	79	214
	8210	Adenocarcinoma in adenomatous polyp	0	0	0
	8211	Tubular adenocarcinoma	0	0	0
	8240	Neuroendocrine tumor, grade 1	0	1	1
	8246	Neuroendocrine carcinoma	3	0	3
	8249	Neuroendocrine tumor, grade 2	2	0	2
	8263	Adenocarcinoma in tubulovillous adenoma	0	1	1
	8480	Mucinous adenocarcinoma	4	6	10
	8481	Mucin-producing adenocarcinoma	1	3	4
	8800	Sarcoma	0	1	1
	8936	Gastrointestinal stromal sarcoma	2	1	3
C21	Anus & Anal canal		10	20	30
	8070	Squamous cell carcinoma	4	6	10
	8072	Squamous cell carcinoma, nonkeratinizing	1	1	2
	8140	Adenocarcinoma	3	9	12
	8480	Mucinous adenocarcinoma	1	3	4
	8481	Mucin-producing adenocarcinoma	0	1	1
	8815	Solitary fibrous tumor, malignant	0	1	1
C22, C24	Liver & Bile duct		150	88	238
C22	Liver & Bile duct		147	82	229
	8140	Adenocarcinoma	28	26	54
	8160	Cholangiocarcinoma	37	31	68
	8170	Hepatocellular carcinoma	73	19	92
	8180	Hepatocholangiocarcinoma	7	3	10
	8481	Mucin-producing adenocarcinoma	1	1	2
	8890	Leiomyosarcoma	0	1	1
	9120	Angiosarcoma	0	1	1
	9133	Epithelioid hemangioendothelioma, malignant	1	0	1
C24	Biliary tract		3	6	9
	8140	Adenocarcinoma	3	5	8
	8163	Pancreatobiliary-type carcinoma	0	1	1
C23	Gallbladder		8	11	19
	8140	Adenocarcinoma	8	11	19
C25	Pancreas		52	43	95
	8010	Carcinoma	2	1	3
	8020	Carcinoma, undifferentiated	1	0	1
	8140	Adenocarcinoma	35	33	68
	8240	Neuroendocrine tumor, grade 1	4	1	5
	8246	Neuroendocrine carcinoma	3	3	6

Site code	Pathology	Morphology description	Male	Female	Total
	8249	Neuroendocrine tumor, grade 2	1	1	2
	8453	Intraductal papillary-mucinous carcinoma, invasive	0	1	1
	8481	Mucin-producing adenocarcinoma	0	1	1
	8500	Infiltrating duct carcinoma	4	2	6
	8550	Acinar cell carcinoma	1	0	1
	8560	Adenosquamous carcinoma	1	0	1
C26	Other & ill-defined digestive organs		1	1	2
	8936	Gastrointestinal stromal sarcoma	1	1	2
C30-C31	Nose, sinuses etc.		10	13	23
C30	Nasal cavity & Middle ear		7	8	15
	8070	Squamous cell carcinoma	4	0	4
	8072	Squamous cell carcinoma, nonkeratinizing	1	0	1
	8140	Adenocarcinoma	0	1	1
	8200	Adenoid cystic carcinoma	0	2	2
	8246	Neuroendocrine carcinoma	0	1	1
	9120	Angiosarcoma	0	1	1
	9522	Olfactory neuroblastoma	2	3	5
C31	Accessory sinuses		3	5	8
	8032	Spindle cell carcinoma	0	1	1
	8070	Squamous cell carcinoma	1	2	3
	8140	Adenocarcinoma	0	1	1
	8200	Adenoid cystic carcinoma	0	1	1
	8802	Pleomorphic cell sarcoma	1	0	1
	8982	Myoepithelial carcinoma	1	0	1
C32	Larynx		49	1	50
	8010	Carcinoma	1	0	1
	8051	Verrucous carcinoma	1	0	1
	8070	Squamous cell carcinoma	45	1	46
	8072	Squamous cell carcinoma, nonkeratinizing	2	0	2
C33-C34	Trachea, Bronchus, Lung		273	216	489
C33	Trachea		1	0	1
	8200	Adenoid cystic carcinoma	1	0	1
C34	Bronchus & Lung		272	216	488
	8002	Malignant tumor, small cell type	1	0	1
	8010	Carcinoma	2	1	3
	8033	Sarcomatoid carcinoma	0	1	1
	8041	Small cell carcinoma	18	6	24
	8046	Non-small cell carcinoma	26	3	29
	8070	Squamous cell carcinoma	30	3	33
	8071	Squamous cell carcinoma, keratinizing	2	0	2
	8072	Squamous cell carcinoma, nonkeratinizing	2	0	2
	8082	Lymphoepithelial carcinoma	0	2	2
	8083	Basaloid squamous cell carcinoma	0	1	1
	8140	Adenocarcinoma	177	178	355
	8240	Neuroendocrine tumor, grade 1	0	1	1
	8246	Neuroendocrine carcinoma	3	1	4
	8323	Mixed cell adenocarcinoma	1	0	1
	8430	Mucoepidermoid carcinoma	1	1	2
	8480	Mucinous adenocarcinoma	2	1	3

Site code	Pathology	Morphology description	Male	Female	Total
	8550	Acinar cell carcinoma	5	15	20
	8560	Adenosquamous carcinoma	2	0	2
	8800	Sarcoma	0	1	1
	9581	Alveolar soft part sarcoma	0	1	1
C37-C38	Other Thoracic organs		14	8	22
C37	Thymus		4	8	12
	8041	Small cell carcinoma	1	0	1
	8072	Squamous cell carcinoma, nonkeratinizing	1	0	1
	8582	Thymoma, type AB, malignant	1	3	4
	8584	Thymoma, type B2, malignant	0	2	2
	8585	Thymoma, type B3, malignant	1	2	3
	8586	Thymic carcinoma	0	1	1
C38	Heart, Mediastinum, & Pleura		10	0	10
	8070	Squamous cell carcinoma	1	0	1
	8140	Adenocarcinoma	1	0	1
	8800	Sarcoma	1	0	1
	8963	Malignant rhabdoid tumor	1	0	1
	9061	Seminoma	1	0	1
	9064	Germinoma	2	0	2
	9080	Teratoma, malignant	1	0	1
	9085	Mixed germ cell tumor	2	0	2
C40-C41	Bone		27	11	38
C40	Bones, Joints & Articular cartilage of Limbs		8	4	12
	9180	Osteosarcoma	3	2	5
	9186	Central osteosarcoma	2	1	3
	9193	Periosteal osteosarcoma	1	0	1
	9231	Myxoid chondrosarcoma	0	1	1
	9250	Giant cell tumor of bone, malignant	1	0	1
	9260	Ewing sarcoma	1	0	1
C41	Bones, Joints & Articular cartilage of Other and unspecified sites		19	7	26
	9071	Yolk sac tumor	0	1	1
	9180	Osteosarcoma	3	1	4
	9186	Central osteosarcoma	0	1	1
	9220	Chondrosarcoma	1	0	1
	9250	Giant cell tumor of bone, malignant	2	0	2
	9260	Ewing sarcoma	5	0	5
	9270	Odontogenic carcinoma	1	0	1
	9310	Ameloblastoma, malignant	1	2	3
	9364	Peripheral neuroectodermal tumor	1	2	3
	9370	Chordoma	5	0	5
C43-C44	Other Skin & Melanoma		65	80	145
C43	Melanoma		12	18	30
	8720	Malignant melanoma	9	13	22
	8721	Nodular melanoma	1	4	5
	8742	Lentigo malignant melanoma	0	1	1
	8744	Acral lentiginous melanoma, malignant	2	0	2
C44	Skin		53	62	115
	8070	Squamous cell carcinoma	19	11	30
	8071	Squamous cell carcinoma, keratinizing	1	0	1

Site code	Pathology	Morphology description	Male	Female	Total
	8082	Lymphoepithelial carcinoma	0	1	1
	8090	Basal cell carcinoma	14	20	34
	8091	Multifocal superficial basal cell carcinoma	1	0	1
	8094	Basosquamous carcinoma	0	1	1
	8097	Basal cell carcinoma, nodular	13	22	35
	8140	Adenocarcinoma	0	0	0
	8247	Merkel cell carcinoma	1	0	1
	8409	Porocarcinoma	1	0	1
	8410	Sebaceous adenocarcinoma	1	5	6
	8832	Dermatofibrosarcoma	2	2	4
C45	Mesothelioma		1	2	3
	9050	Mesothelioma, malignant	1	2	3
C46	Kaposi's sarcoma		3	0	3
	9140	Kaposi's sarcoma	3	0	3
C47:C49	Connective & Soft tissue		40	38	78
C47	Peripheral nerves & Autonomic nerves system		3	1	4
	9364	Peripheral neuroectodermal tumor	1	0	1
	9540	Malignant peripheral nerve sheath tumor	2	1	3
C49	Connective, subcutaneous & Other Soft tissue		37	37	74
	8800	Sarcoma	3	1	4
	8801	Spindle cell sarcoma	1	1	2
	8802	Giant cell sarcoma	2	0	2
	8804	Epithelioid cell sarcoma	2	0	2
	8805	Undifferentiated sarcoma	6	4	10
	8810	Fibrosarcoma	0	1	1
	8811	Fibromyxosarcoma	6	3	9
	8815	Solitary fibrous tumor, malignant	1	0	1
	8850	Liposarcoma	1	2	3
	8858	Dedifferentiated liposarcoma	0	1	1
	8851	Liposarcoma, well differentiated	1	0	1
	8852	Myxoid liposarcoma	1	0	1
	8853	Round cell liposarcoma	1	0	1
	8890	Leiomyosarcoma	3	8	11
	8900	Rhabdomyosarcoma	0	1	1
	8910	Embryonal rhabdomyosarcoma	3	4	7
	8980	Carcinosarcoma	0	1	1
	9040	Synovial sarcoma	2	5	7
	9041	Synovial sarcoma, spindle cell	1	0	1
	9043	Synovial sarcoma, biphasic	0	1	1
	9044	Clear cell sarcoma	0	1	1
	9120	Hemangiosarcoma	1	0	1
	9260	Ewing sarcoma	2	1	3
	9581	Alveolar soft part sarcoma	0	2	2
C48	Retroperitoneum & Peritoneum		5	11	16
	8246	Neuroendocrine carcinoma	0	1	1
	8441	Serous cystadenocarcinoma	0	3	3
	8461	Primary serous papillary carcinoma of peritoneum	0	1	1
	8811	Fibromyxosarcoma	0	1	1
	8851	Liposarcoma, well differentiated	2	0	2

Site code	Pathology	Morphology description	Male	Female	Total
	8858	Dedifferentiated liposarcoma	2	2	4
	8890	Leiomyosarcoma	0	3	3
	9080	Immature teratoma	1	0	1
C50	Breast		2	907	909
	8010	Carcinoma	0	6	6
	8050	Papillary carcinoma	0	2	2
	8070	Squamous cell carcinoma	0	2	2
	8140	Adenocarcinoma	0	7	7
	8201	Ductal carcinoma, cribriform type	0	1	1
	8211	Tubular adenocarcinoma	0	3	3
	8230	Solid carcinoma	0	2	2
	8343	Papillary carcinoma encapsulated	1	5	6
	8480	Mucinous adenocarcinoma	0	19	19
	8500	Infiltrating duct carcinoma	1	807	808
	8510	Medullary carcinoma	0	1	1
	8520	Infiltrating lobular carcinoma	0	21	21
	8522	Infiltrating duct & lobular carcinoma	0	5	5
	8523	Infiltrating duct mixed with other type of carcinoma	0	8	8
	8524	Infiltrating lobular mixed with other type of carcinoma	0	1	1
	8575	Metaplastic carcinoma	0	5	5
	8982	Myoepithelial carcinoma	0	1	1
	9020	Phyllodes tumor, malignant	0	11	11
C51	Vulva		0	14	14
	8051	Verrucous carcinoma	0	1	1
	8070	Squamous cell carcinoma	0	4	4
	8071	Squamous cell carcinoma, keratinizing	0	5	5
	8072	Squamous cell carcinoma, large cell, nonkeratinizing	0	1	1
	8140	Adenocarcinoma	0	1	1
	8542	Paget's disease, extramammary	0	2	2
C52	Vagina		0	7	7
	8052	Papillary squamous cell carcinoma	0	1	1
	8071	Squamous cell carcinoma, keratinizing	0	1	1
	8072	Squamous cell carcinoma, large cell, nonkeratinizing	0	3	3
	8246	Neuroendocrine carcinoma	0	1	1
	8310	Clear cell carcinoma	0	1	1
C53	Cervix uteri		0	183	183
	8015	Glassy cell carcinoma	0	1	1
	8020	Carcinoma, undifferentiated	0	1	1
	8041	Small cell carcinoma	0	2	2
	8070	Squamous cell carcinoma	0	39	39
	8071	Squamous cell carcinoma, keratinizing	0	17	17
	8072	Squamous cell carcinoma, large cell, nonkeratinizing	0	58	58
	8073	Squamous cell carcinoma, small cell, nonkeratinizing	0	1	1
	8076	Squamous cell carcinoma, microinvasive	0	8	8
	8140	Adenocarcinoma	0	37	37
	8246	Neuroendocrine carcinoma	0	1	1
	8310	Clear cell carcinoma	0	2	2
	8380	Endometrioid adenocarcinoma	0	2	2
	8384	Adenocarcinoma, endocervical type	0	4	4

Site code	Pathology	Morphology description	Male	Female	Total
	8480	Mucinous adenocarcinoma	0	1	1
	8481	Mucin-producing adenocarcinoma	0	1	1
	8560	Adenosquamous carcinoma	0	7	7
	8980	Carcinosarcoma	0	1	1
C54	Corpus uteri		0	141	141
	8140	Adenocarcinoma	0	5	5
	8310	Clear cell carcinoma	0	4	4
	8380	Endometrioid adenocarcinoma	0	115	115
	8441	Serous cystadenocarcinoma	0	3	3
	8460	Papillary serous cystadenocarcinoma	0	1	1
	8480	Mucinous adenocarcinoma	0	3	3
	8805	Undifferentiated sarcoma	0	2	2
	8930	Endometrial stromal sarcoma	0	1	1
	8931	Endometrial stromal sarcoma, low grade	0	1	1
	8933	Adenosarcoma	0	1	1
	8950	Mullerian mixed tumor	0	1	1
	8980	Carcinosarcoma	0	4	4
C56	Ovary		0	115	115
	8001	Tumor cells, malignant	0	1	1
	8010	Carcinoma	0	1	1
	8140	Adenocarcinoma	0	13	13
	8240	Neuroendocrine tumor, grade 1	0	1	1
	8246	Neuroendocrine carcinoma	0	1	1
	8260	Papillary adenocarcinoma	0	1	1
	8310	Clear cell carcinoma	0	21	21
	8380	Endometrioid adenocarcinoma	0	27	27
	8441	Serous cystadenocarcinoma	0	19	19
	8460	Papillary serous cystadenocarcinoma	0	1	1
	8470	Mucinous cystadenocarcinoma	0	15	15
	8480	Mucinous adenocarcinoma	0	2	2
	8481	Mucin-producing adenocarcinoma	0	2	2
	8950	Mullerian mixed tumor	0	1	1
	9060	Dysgerminoma	0	1	1
	9071	Yolk sac tumor	0	2	2
	9080	Teratoma, malignant	0	4	4
	9083	Malignant teratoma, intermediate	0	1	1
	9084	Teratoma with malignant transformation	0	1	1
C60	Penis		7	0	7
	8010	Carcinoma	1	0	1
	8070	Squamous cell carcinoma	4	0	4
	8071	Squamous cell carcinoma, keratinizing	1	0	1
	8542	Paget's disease, extramammary	1	0	1
C61	Prostate		217	0	217
	8010	Carcinoma	2	0	2
	8041	Small cell carcinoma	1	0	1
	8140	Adenocarcinoma	212	0	212
	8550	Acinar cell carcinoma	1	0	1
	8560	Adenosquamous carcinoma	1	0	1

Site code	Pathology	Morphology description	Male	Female	Total
C62	Testis		5	0	5
	9061	Seminoma	3	0	3
	9085	Mixed germ cell tumor	2	0	2
C63	Male genital organs		1	0	1
	8542	Paget's disease, extramammary	1	0	1
C64	Kidney		30	15	45
	8010	Carcinoma	0	1	1
	8032	Spindle cell carcinoma	0	1	1
	8120	Transitional cell carcinoma	3	11	14
	8260	Papillary adenocarcinoma	1	0	1
	8312	Renal cell carcinoma	22	0	22
	8316	Cyst-associated renal cell carcinoma	1	0	1
	8317	Renal cell carcinoma, chromophobe type	1	1	2
	8510	Medullary carcinoma	1	0	1
8960	Nephroblastoma	1	1	2	
C65	Renal pelvis		3	0	3
	8120	Transitional cell carcinoma	1	0	1
	8130	Papillary transitional cell carcinoma	1	0	1
	8312	Renal cell carcinoma	1	0	1
C66	Ureter		2	5	7
	8120	Transitional cell carcinoma	0	3	3
	8130	Papillary transitional cell carcinoma	2	2	4
C67	Bladder		59	16	75
	8010	Carcinoma	1	0	1
	8120	Transitional cell carcinoma	23	5	28
	8130	Papillary transitional cell carcinoma	32	11	43
	8140	Adenocarcinoma	0	1	1
	8481	Mucin-producing adenocarcinoma	0	1	1
8900	Rhabdomyosarcoma	1	0	1	
C68	Urinary system		0	4	4
	8120	Transitional cell carcinoma	0	1	1
	8140	Adenocarcinoma	0	1	1
	8310	Clear cell carcinoma	0	1	1
	8490	Signet ring cell carcinoma	0	1	1
C69	Eye		4	2	6
	8070	Squamous cell carcinoma	1	2	3
	8720	Malignant melanoma	1	0	1
	9501	Medulloepithelioma	0	0	0
	9510	Retinoblastoma	2	0	2
C70-C72	Brain, nervous system		51	30	81
C70	Meninges		1	2	3
	9530	Meningioma, malignant	1	2	3
C71	Brain		50	28	78
	9064	Germinoma	1	1	2
	9071	Yolk sac tumor	1	0	1
	9380	Glioma, malignant	4	1	5
	9391	Ependyoma	1	1	2
	9392	Ependyoma, anaplastic	1	1	2
	9400	Astrocytoma	4	2	6

Site code	Pathology	Morphology description	Male	Female	Total
	9401	Astrocytoma, anaplastic	3	3	6
	9411	Gemistocytic astrocytoma	1	0	1
	9424	Pleomorphic xanthoastrocytoma	1	0	1
	9440	Glioblastoma	24	14	38
	9442	Gliosarcoma	0	1	1
	9450	Oligodendroglioma	2	1	3
	9451	Oligodendroglioma, anaplastic	2	1	3
	9470	Medulloblastoma	2	2	4
	9471	Desmoplastic nodular medulloblastoma	1	0	1
	9472	Medullomyoblastoma	1	0	1
	9560	Malignant schwannoma	1	0	1
C72	Spinal cord, cranial nerves, and other parts of central nervous system		5	1	6
	9391	Ependymoma	3	1	4
	9392	Ependymoma, anaplastic	1	0	1
	9400	Astrocytoma	1	0	1
C73	Thyroid		45	183	228
	8020	Carcinoma, undifferentiated	0	1	1
	8021	Carcinoma, anaplastic	0	2	2
	8070	Squamous cell carcinoma	1	0	1
	8260	Papillary adenocarcinoma	30	117	147
	8290	Oxyphilic adenocarcinoma	1	4	5
	8330	Follicular adenocarcinoma	3	22	25
	8335	Follicular carcinoma, minimally invasive	1	1	2
	8340	Papillary carcinoma, follicular variant	5	21	26
	8341	Papillary microcarcinoma	1	2	3
	8343	Papillary carcinoma, encapsulated	1	2	3
	8344	Papillary carcinoma, columnar cell	0	6	6
	8350	Nonencapsulated sclerosing carcinoma	2	2	4
	8504	Intracystic papillary carcinoma	0	1	1
	8510	Medullary carcinoma	0	2	2
C74	Adrenal gland		8	9	17
	8370	Adrenal cortical carcinoma	2	1	3
	8700	Pheochromocytoma, malignant	0	1	1
	9500	Neuroblastoma	6	7	13
C75	Other endocrine		12	2	14
	8249	Neuroendocrine tumor, grade 2	0	1	1
	8680	Paraganglioma, malignant	0	1	1
	9064	Germinoma	9	0	9
	9085	Mixed germ cell tumor	3	0	3
C76	Other and Ill-Defined sites		1	1	2
	8140	Adenocarcinoma	0	1	1
	8430	Mucoepidermoid carcinoma	1	0	1
C81-C88,C96	Lymphoma		141	145	286
C81	Hodgkin's disease		12	15	27
	9650	Hodgkin lymphoma	2	2	4
	9651	Hodgkin lymphoma, lymphocyte-rich	0	1	1
	9652	Hodgkin lymphoma, mixed cellularity	2	2	4
	9659	Hodgkin lymphoma, nodular lymphocyte predominance	2	1	3
	9663	Hodgkin lymphoma, nodular sclerosis	6	9	15

Site code	Pathology	Morphology description	Male	Female	Total
C82	Follicular (nodular) non-Hodgkin's lymphoma		13	16	29
	9690	Follicular lymphoma	2	1	3
	9691	Follicular lymphoma, grade 2	4	3	7
	9695	Follicular lymphoma, grade 1	2	4	6
	9698	Follicular lymphoma, grade 3	5	8	13
C83	Diffuse non-Hodgkin's lymphoma		89	88	177
	9670	Malignant lymphoma, small B lymphocytic	0	1	1
	9671	Malignant lymphoma, lymphoplasmacytic	1	1	2
	9673	Mantle cell lymphoma	5	0	5
	9679	Mediastinal large B-cell lymphoma	1	1	2
	9680	Malignant lymphoma, large B-cell, diffuse	64	78	142
	9687	Burkitt lymphoma	9	2	11
	9689	Splenic marginal zone B-cell lymphoma	1	0	1
	9699	Marginal zone B-cell lymphoma	6	5	11
	9712	Intravascular large B-cell lymphoma	1	0	1
	9735	Plasmablastic lymphoma	1	0	1
C84	Peripheral and cutaneous T-cell lymphomas		6	7	13
	9700	Mycosis fungoides	2	2	4
	9702	Mature T-cell lymphoma	0	2	2
	9709	Cutaneous T-cell lymphoma	1	0	1
	9714	Anaplastic large cell lymphoma, T cell and Null cell type	1	2	3
	9719	T/NK-cell lymphoma	2	1	3
C85	Other and unspecified types of non-Hodgkin's lymphoma		4	5	9
	9590	Malignant lymphoma	1	2	3
	9591	Malignant lymphoma, non-Hodgkin	3	3	6
C86	Other specified types of T/NK-cell lymphoma		8	5	13
	9705	Angioimmunoblastic T-cell lymphoma	0	1	1
	9708	Subcutaneous panniculitis-like T-cell lymphoma	0	1	1
	9718	Primary cutaneous CD30+ T-cell lymphoproliferative disorder	0	1	1
	9719	NK/T-cell lymphoma, nasal and nasal-type	8	2	10
C88	Other B-cell lymphoma malignant immunoproliferative diseases		7	9	16
	9699	Extranodal marginal zone B-cell lymphoma of mucosa associated lymphoid tissue (MALT-lymphoma)	6	8	14
	9761	Waldenström macroglobulinaemia	1	1	2
C96	Other and unspecified malignant neoplasm of lymphoid, haematopoietic and related tissue		2	0	2
	9751	Langerhans cell histiocytosis	2	0	2
C90	Multiple myeloma and malignant plasma cell neoplasms		43	30	73
	9731	Plasmacytoma	1	0	1
	9732	Multiple myeloma	39	28	67
	9733	Plasma cell leukemia	1	0	1
	9734	Plasmacytoma, extramedullary	2	2	4
C91-C95; D45-47	Leukemia		79	89	168
C91	Lymphoid leukemia		23	26	49
	9820	Lymphoid Leukemia	1	0	1
	9823	B-cell chronic lymphocytic leukemia/small lymphocytic lymphoma	4	4	8
	9826	Burkitt cell leukemia	0	1	1
	9831	T-cell large granular lymphocytic leukemia	1	0	1
	9835	Precursor cell lymphoblastic leukemia	16	21	37
	9940	Hairy cell leukemia	1	0	1

Site code	Pathology	Morphology description	Male	Female	Total
C92	Myeloid leukemia		50	59	109
	9860	Myeloid leukemia	0	1	1
	9861	Acute myeloid leukemia	29	35	64
	9863	Chronic myeloid leukemia	10	8	18
	9866	Acute promyelocytic leukemia	1	6	7
	9867	Acute myelomonocytic leukemia	5	2	7
	9873	Acute myeloid leukemia without maturation	1	4	5
	9874	Acute myeloid leukemia with maturation	2	2	4
	9895	Acute myeloid leukemia with myelodysplasia-related changes	2	1	3
C93	Monocytic leukemia		3	2	5
	9891	Acute monocytic leukemia	2	2	4
	9946	Juvenile myelomonocytic leukemia	1	0	1
C94	Other leukemias of specified cell type		1	2	3
	9840	Acute erythroid leukemia	0	2	2
	9975	Myeloproliferative neoplasm, unclassifiable	1	0	1
C95	Leukemia of unspecified cell type		2	0	2
	9800	Leukemia	2	0	2
D45, D47	Myeloproliferative neoplasm (MPD)		24	19	43
D45	Polycythaemia vera		9	8	17
	9950	Polycythemia vera	9	8	17
D47	Other neoplasms of uncertain or unknown behaviour of lymphoid, haematopoietic and related tissue		15	11	26
	9960	Myeloproliferative disease	2	4	6
	9961	Primary myelofibrosis	1	0	1
	9962	Essential thrombocythemia	11	5	16
	9964	Chronic eosinophilic leukemia	1	2	3
D46	Myelodysplastic Syndromes (MDS)		23	31	54
	9980	Refractory anemia	0	2	2
	9983	Refractory anemia with excess blasts	3	1	4
	9989	Myelodysplastic syndromes	20	28	48
C80	Other & unspecified		23	18	41
	8010	Carcinoma	4	2	6
	8013	Large cell neuroendocrine carcinoma	1	0	1
	8032	Spindle cell carcinoma	0	1	1
	8070	Squamous cell carcinoma	9	3	12
	8072	Squamous cell carcinoma, nonkeratinizing	1	0	1
	8140	Adenocarcinoma	5	11	16
	8240	Neuroendocrine tumor, grade 1	1	0	1
	8249	Neuroendocrine tumor, grade 2	1	0	1
	8480	Mucinous adenocarcinoma	1	0	1
	8490	Signet ring cell carcinoma	0	1	1

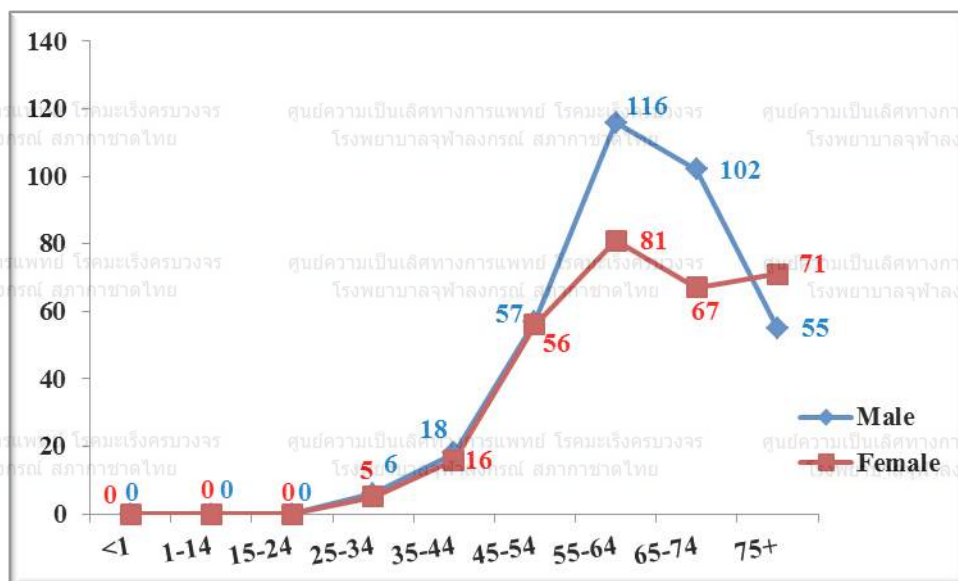
ตารางที่ 13

แสดงจำนวนผู้ป่วยโรคมะเร็งลำไส้ใหญ่และทวารหนัก จำแนกตามช่วงอายุ ในปี 2560
(Distribution of colon & rectum cancer by age-group), 2017

Age group	Male		Female		Total	
	Number	%	Number	%	Number	%
<1	0	0.0	0	0.0	0	0.0
1-14	0	0.0	0	0.0	0	0.0
15-24	0	0.0	0	0.0	0	0.0
25-34	6	1.7	5	1.7	11	1.7
35-44	18	5.1	16	5.4	34	5.2
45-54	57	16.1	56	18.9	113	17.4
55-64	116	32.8	81	27.4	197	30.3
65-74	102	28.8	67	22.6	169	26.0
75+	55	15.5	71	24.0	126	19.4
Total	354	100.0	296	100.0	650	100.0

แผนภูมิที่ 10

แสดงจำนวนผู้ป่วยโรคมะเร็งลำไส้ใหญ่และทวารหนัก จำแนกตามช่วงอายุ ในปี 2560
(Distribution of colon & rectum cancer by age-group), 2017

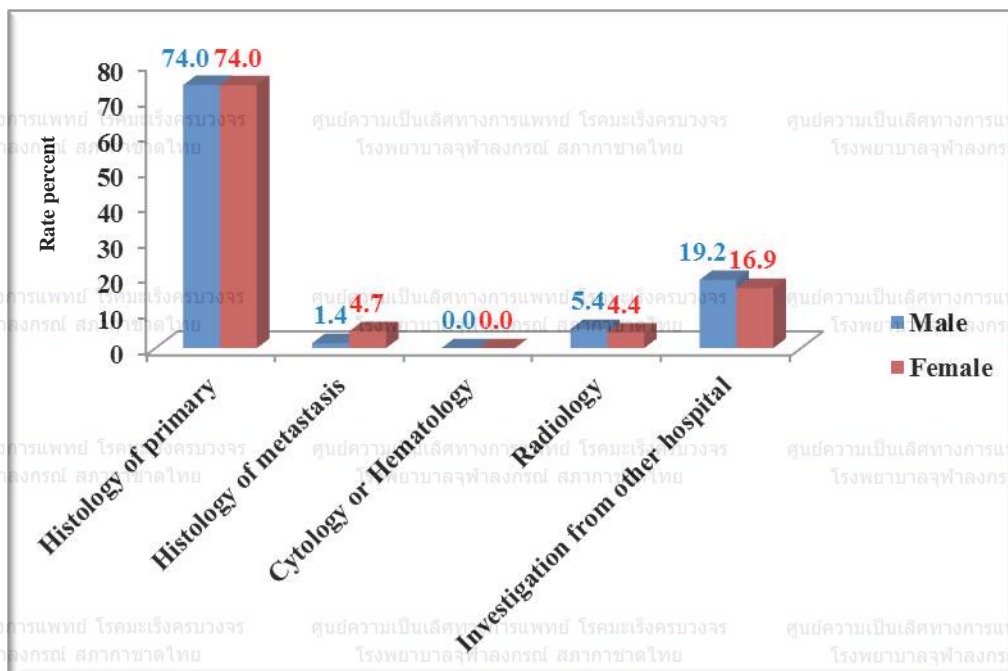


ตารางที่ 14

แสดงจำนวนผู้ป่วยโรคมะเร็งลำไส้ใหญ่และทวารหนัก จำแนกตามวิธีวินิจฉัย ในปี 2560
(Type of diagnosis of colon & rectum cancer, 2017)

Method of diagnosis	Male		Female		Total	
	Number	%	Number	%	Number	%
Histology of primary	262	74.0	219	74.0	481	74.0
Histology of metastasis	5	1.4	14	4.7	19	2.9
Cytology or Hematology	0	0.0	0	0.0	0	0.0
Radiology	19	5.4	13	4.4	32	4.9
Investigation from other hospital	68	19.2	50	16.9	118	18.2
Total	354	100.0	296	100.0	650	100.0

แสดงร้อยละของผู้ป่วยโรคมะเร็งลำไส้ใหญ่และทวารหนัก จำแนกตามวิธีวินิจฉัย ในปี 2560
(Percentage of type of diagnosis for colon & rectum cancer), 2017



ตารางที่ 15

ศูนย์ความเป็นเลิศทางการแพทย์ โรคมะเร็งครบวงจร
โรงพยาบาลจุฬาลงกรณ์ สภากาชาดไทย

แสดงวิธีการรักษาผู้ป่วยโรคมะเร็งลำไส้ใหญ่และทวารหนัก แยกตามเพศ ในปี 2560
(Method of treatment for colon & rectum cancer), 2017

วิธีการรักษา (ผู้ป่วย 1 ราย มีการรักษาได้มากกว่า 1 วิธี)	ผู้ป่วยชาย (n = 354)		ผู้ป่วยหญิง (n = 296)	
	จำนวน	ร้อยละ	จำนวน	ร้อยละ
Surgery	206	58.2	197	66.6
Radiation	143	40.4	85	28.7
Chemotherapy	219	61.9	167	56.4
Targeted therapy	30	8.5	23	7.8
Interventional	19	5.4	15	5.1
Immunotherapy	1	0.3	0	0.0
Supportive Only	25	7.1	30	10.1
*No treatment data	1	0.3	2	0.7

*No treatment data: 1. ผู้ป่วยปฏิเสธการรักษา

2. ผู้ป่วยไปรักษาโรงพยาบาลอื่น

◆ Liver & Bile duct cancer

ตารางที่ 16

แสดงจำนวนผู้ป่วยโรคมะเร็งตับและท่อน้ำดี ในปี 2557-2560

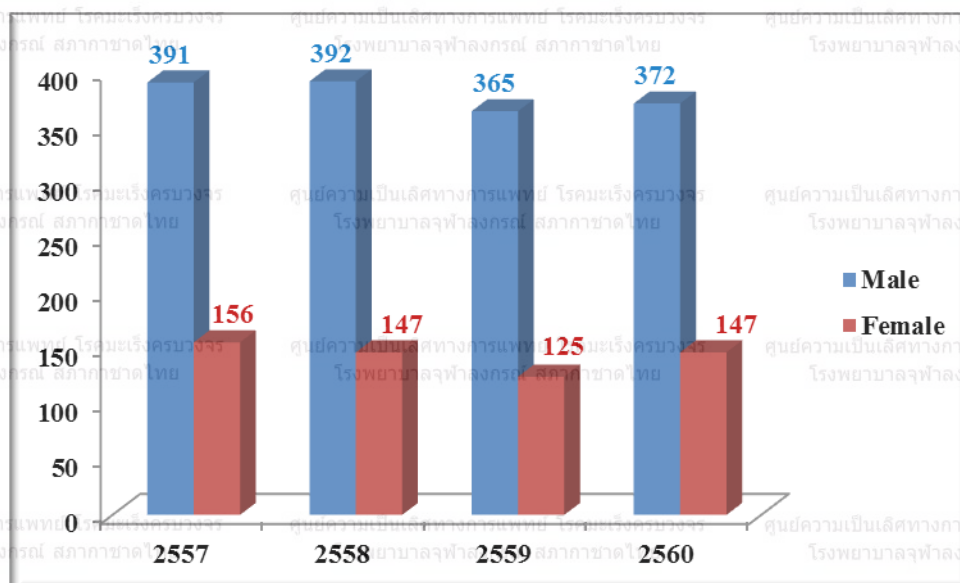
(Trend of liver & bile duct cancer), 2014-2017

Years	Number of patients		Total
	Male	Female	
2557	391	156	547
2558	392	147	539
2559	365	125	490
2560	372	147	519

แผนภูมิที่ 12

แสดงจำนวนผู้ป่วยโรคมะเร็งตับและท่อน้ำดี ในปี 2557-2560

(Trend of liver & bile duct cancer), 2014-2017



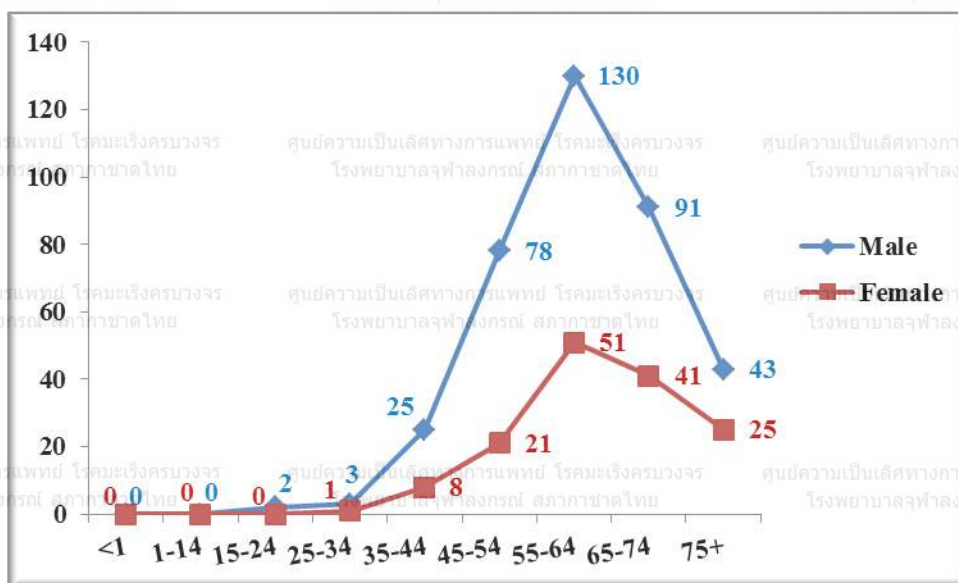
ตารางที่ 17

แสดงจำนวนผู้ป่วยโรคมะเร็งตับและท่อน้ำดี จำแนกตามช่วงอายุ ในปี 2560
(Distribution of liver & bile duct cancer by age-group), 2017

Age group	Male		Female		Total	
	Number	%	Number	%	Number	%
<1	0	0.0	0	0.0	0	0.0
1-14	0	0.0	0	0.0	0	0.0
15-24	2	0.5	0	0.0	2	0.4
25-34	3	0.8	1	0.7	4	0.8
35-44	25	6.7	8	5.4	33	6.4
45-54	78	21.0	21	14.3	99	19.1
55-64	130	34.9	51	34.7	181	34.9
65-74	91	24.5	41	27.9	132	25.4
75+	43	11.6	25	17.0	68	13.1
Total	372	100.0	147	100.0	519	100.0

แผนภูมิที่ 13

แสดงจำนวนผู้ป่วยโรคมะเร็งตับและท่อน้ำดี จำแนกตามช่วงอายุ ในปี 2560
(Distribution of liver & bile duct cancer by age-group), 2017



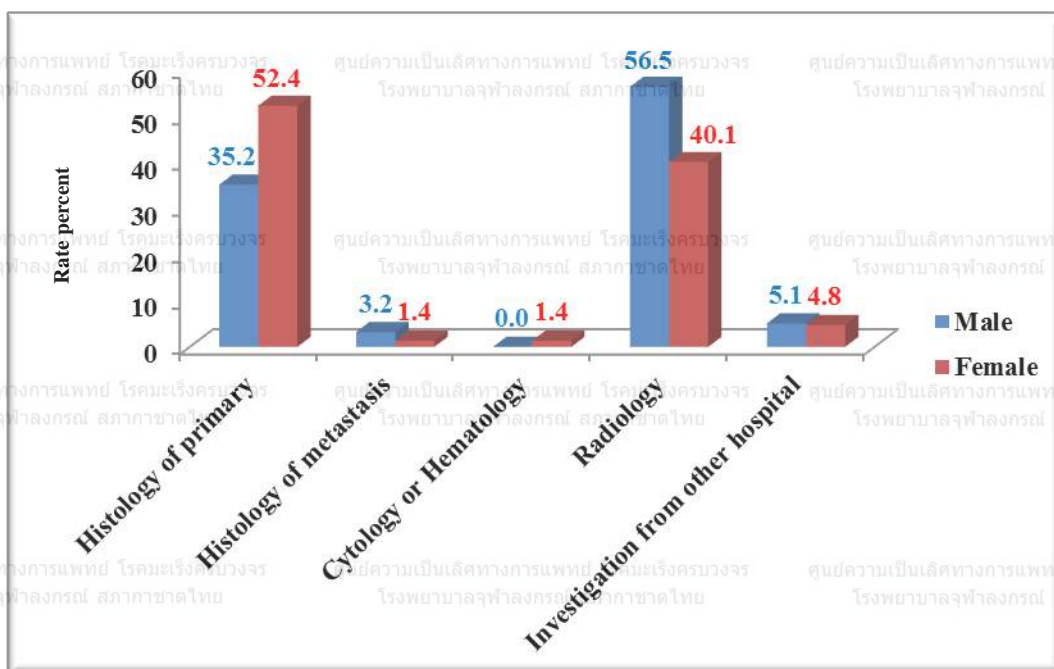
ตารางที่ 18

แสดงจำนวนผู้ป่วยโรคมะเร็งตับและท่อน้ำดี จำแนกตามวิธีวินิจฉัย ในปี 2560
(Type of diagnosis of liver & bile duct cancer, 2017)

Method of diagnosis	Male		Female		Total	
	Number	%	Number	%	Number	%
Histology of primary	131	35.2	77	52.4	208	40.1
Histology of metastasis	12	3.2	2	1.4	14	2.7
Cytology or Hematology	0	0.0	2	1.4	2	0.4
Radiology	210	56.5	59	40.1	269	51.8
Investigation from other hospital	19	5.1	7	4.8	26	5.0
Total	372	100.0	147	100.0	519	100.0

แผนภูมิที่ 14

แสดงร้อยละของผู้ป่วยโรคมะเร็งตับและท่อน้ำดี จำแนกตามวิธีวินิจฉัย ในปี 2560
(Percentage of type of diagnosis for liver & bile duct cancer), 2017



ตารางที่ 19

ศูนย์ความเป็นเลิศทางการแพทย์ โรคมะเร็งครบวงจร
โรงพยาบาลจุฬาลงกรณ์ สภากาชาดไทย

แสดงวิธีการรักษาผู้ป่วยโรคมะเร็งตับและท่อน้ำดีแยกตามเพศ ในปี 2560
(Method of treatment for liver & bile duct cancer), 2017

วิธีการรักษา (ผู้ป่วย 1 ราย มีการรักษาได้มากกว่า 1 วิธี)	ผู้ป่วยชาย (n = 372)		ผู้ป่วยหญิง (n = 147)	
	จำนวน	ร้อยละ	จำนวน	ร้อยละ
Surgery	53	14.2	26	17.7
Radiation	89	23.9	42	28.6
Chemotherapy	36	9.7	37	25.2
Targeted therapy	21	5.6	4	2.7
Interventional	109	29.3	48	32.7
TACE	153	41.1	40	27.2
Immnotherapy	3	0.8	0	0.0
Supportive Only	69	18.5	22	15.0
*No treatment data	15	4.0	2	1.4

*No treatment data: 1. ผู้ป่วยปฏิเสธการรักษา

2. ผู้ป่วยไปรักษาโรงพยาบาลอื่น

◆ Lung cancer

ตารางที่ 20

แสดงจำนวนผู้ป่วยโรคมะเร็งปอด ในปี 2557-2560

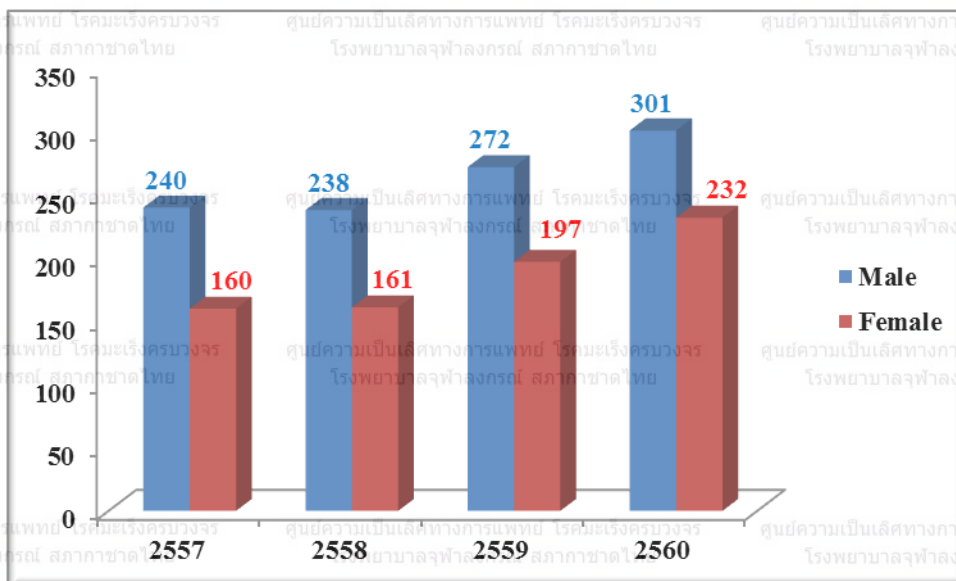
(Trend of lung cancer), 2014-2017

Years	Number of patients		Total
	Male	Female	
2557	240	160	400
2558	238	161	399
2559	272	197	469
2560	301	232	533

แผนภูมิที่ 15

แสดงจำนวนผู้ป่วยโรคมะเร็งปอด ในปี 2557-2560

(Trend of Lung Cancer), 2014-2017



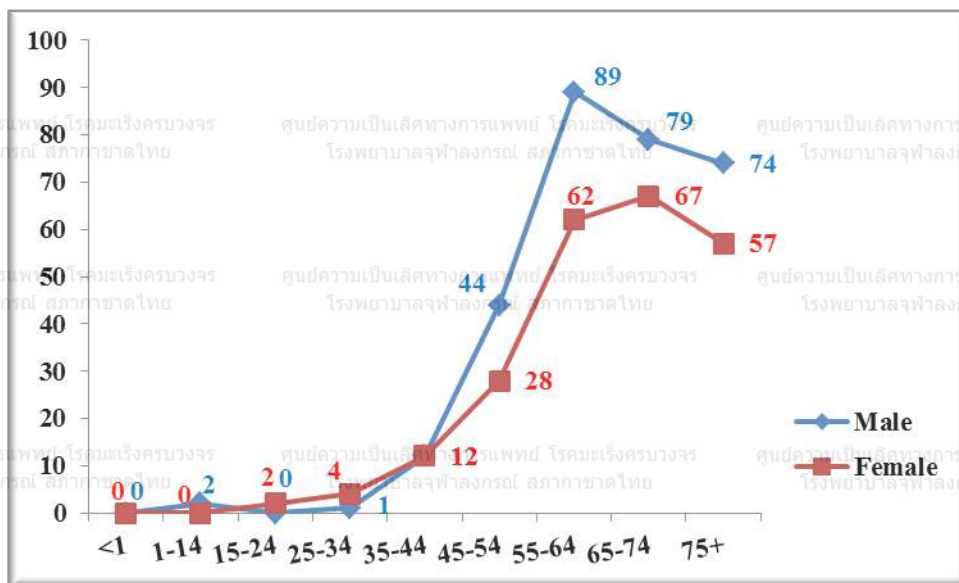
ตารางที่ 21

แสดงจำนวนผู้ป่วยโรคมะเร็งปอด จำแนกตามช่วงอายุ ในปี 2560
(Distribution of lung cancer by age-group), 2017

Age group	Male		Female		Total	
	Number	%	Number	%	Number	%
<1	0	0.0	0	0.0	0	0.0
1-14	2	0.7	0	0.0	2	0.4
15-24	0	0.0	2	0.9	2	0.4
25-34	1	0.3	4	1.7	5	0.9
35-44	12	4.0	12	5.2	24	4.5
45-54	44	14.6	28	12.1	72	13.5
55-64	89	29.6	62	26.7	151	28.3
65-74	79	26.2	67	28.9	146	27.4
75+	74	24.6	57	24.6	131	24.6
Total	301	100.0	232	100.0	533	100.0

แผนภูมิที่ 16

แสดงจำนวนผู้ป่วยโรคมะเร็งปอด จำแนกตามช่วงอายุ ในปี 2560
(Distribution of lung cancer by age-group), 2017



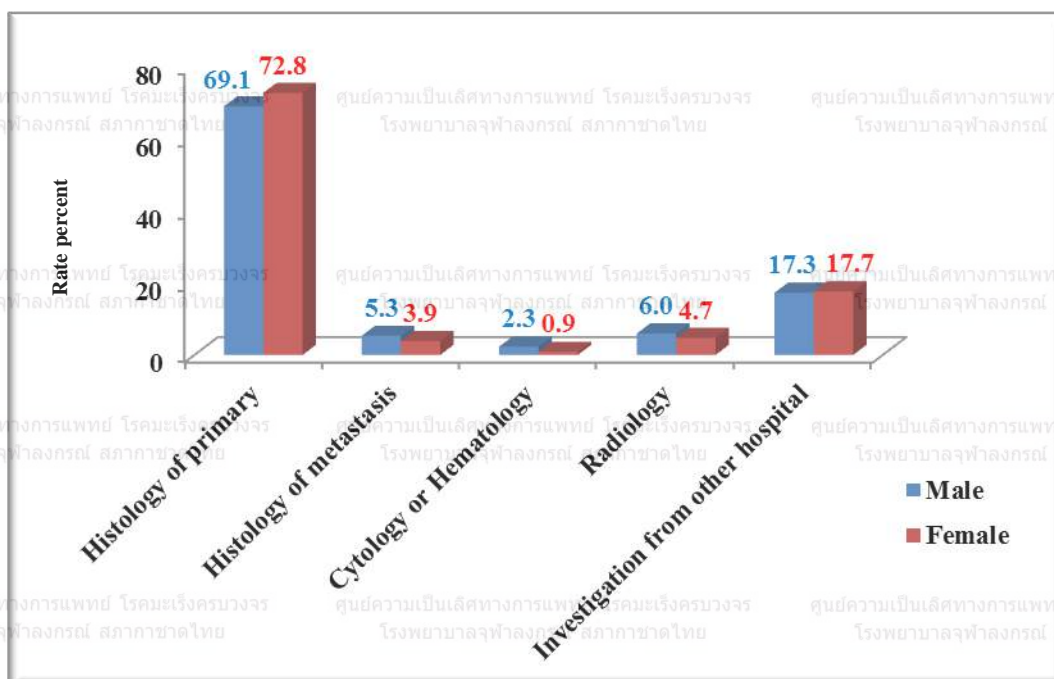
ตารางที่ 22

แสดงจำนวนผู้ป่วยโรคมะเร็งปอด จำแนกตามวิธีวินิจฉัย ในปี 2560
(Type of diagnosis of lung cancer, 2017)

Method of diagnosis	Male		Female		Total	
	Number	%	Number	%	Number	%
Histology of primary	208	69.1	169	72.8	377	70.7
Histology of metastasis	16	5.3	9	3.9	25	4.7
Cytology or Hematology	7	2.3	2	0.9	9	1.7
Radiology	18	6.0	11	4.7	29	5.4
Investigation from other hospital	52	17.3	41	17.7	93	17.4
Total	301	100.0	232	100.0	533	100.0

แผนภูมิที่ 17

แสดงร้อยละของผู้ป่วยโรคมะเร็งปอด จำแนกตามวิธีวินิจฉัย ในปี 2560
(Percentage of type of diagnosis for lung cancer), 2017



ตารางที่ 23

ศูนย์ความเป็นเลิศทางการแพทย์ โรคมะเร็งครบวงจร โรงพยาบาลจุฬาลงกรณ์ สภากาชาดไทย **แสดงวิธีการรักษาผู้ป่วยโรคมะเร็งปอด แยกตามเพศ ในปี 2560**
(Method of treatment for lung cancer), 2017

วิธีการรักษา (ผู้ป่วย 1 ราย มีการรักษาได้มากกว่า 1 วิธี)	ผู้ป่วยชาย (n = 301)		ผู้ป่วยหญิง (n = 232)	
	จำนวน	ร้อยละ	จำนวน	ร้อยละ
Surgery	37	12.3	47	20.3
Radiation	192	63.8	135	58.2
Chemotherapy	133	44.2	93	40.1
Targeted therapy	42	14.0	74	31.9
Interventional	1	0.3	1	0.4
Immunotherapy	3	1.0	0	0.0
Supportive Only	42	14.0	16	6.9
*No treatment data	5	1.7	1	0.4

*No treatment data: 1. ผู้ป่วยปฏิเสธการรักษา

2. ผู้ป่วยไปรักษาโรงพยาบาลอื่น

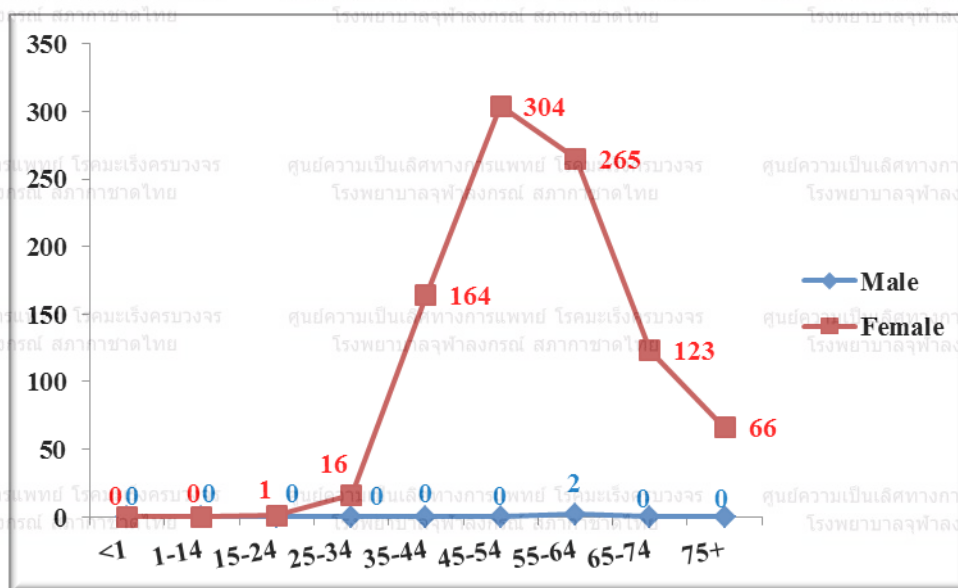
ตารางที่ 25

แสดงจำนวนผู้ป่วยโรคมะเร็งเต้านม จำแนกตามช่วงอายุ ในปี 2560
(Distribution of breast cancer by age-group), 2017

Male		Female		Total	
Number	%	Number	%	Number	%
0	0.0	0	0.0	0	0.0
0	0.0	0	0.0	0	0.0
0	0.0	16	1.7	16	1.7
0	0.0	164	17.5	164	17.4
0	0.0	304	32.4	304	32.3
2	100.0	265	28.2	267	28.4
0	0.0	123	13.1	123	13.1
0	0.0	66	7.0	66	7.0
2	100.0	939	100.0	941	100.0

แผนภูมิที่ 19

แสดงจำนวนผู้ป่วยโรคมะเร็งเต้านม จำแนกตามช่วงอายุ ในปี 2560
(Distribution of breast cancer by age-group), 2017



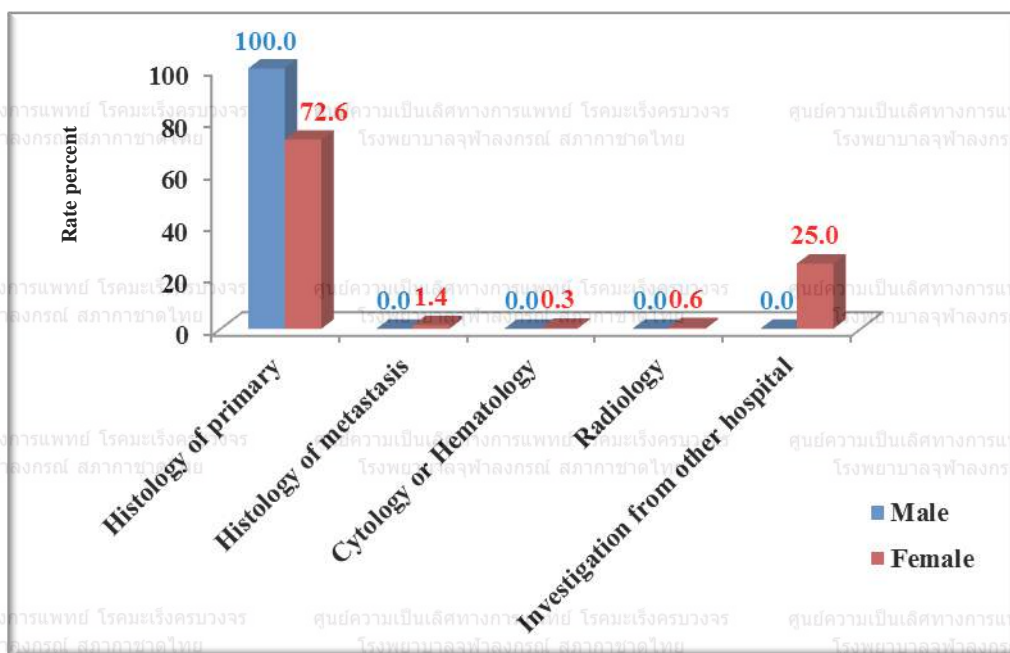
ตารางที่ 26

แสดงจำนวนผู้ป่วยโรคมะเร็งเต้านม จำแนกตามวิธีวินิจฉัย ในปี 2560
(Type of diagnosis of breast cancer, 2017)

Method of diagnosis	Male		Female		Total	
	Number	%	Number	%	Number	%
Histology of primary	2	100.0	682	72.6	684	72.7
Histology of metastasis	0	0.0	13	1.4	13	1.4
Cytology or Hematology	0	0.0	3	0.3	3	0.3
Radiology	0	0.0	6	0.6	6	0.6
Investigation from other hospital	0	0.0	235	25.0	235	25.0
Total	2	100.0	939	100.0	941	100.0

แผนภูมิที่ 20

แสดงร้อยละของผู้ป่วยโรคมะเร็งเต้านม จำแนกตามวิธีวินิจฉัย ในปี 2560
(Percentage of type of diagnosis for breast cancer), 2017



ตารางที่ 27

แสดงจำนวนวิธีการรักษาผู้ป่วยโรคมะเร็งเต้านม แยกตามเพศ ในปี 2560
(Method of treatment for breast cancer), 2017

วิธีการรักษา (ผู้ป่วย 1 ราย มีการรักษาได้มากกว่า 1 วิธี)	ผู้ป่วยชาย (n=2)		ผู้ป่วยหญิง (n=939)	
	จำนวน	ร้อยละ	จำนวน	ร้อยละ
Surgery	2	100.0	571	60.8
Radiation	1	50.0	701	74.7
Chemotherapy	1	50.0	496	52.8
Targeted therapy	1	50.0	127	13.5
Hormonal therapy	2	100.0	515	54.8
Supportive Only	0	0.0	22	2.3
*No treatment data	0	0.0	13	1.4

*No treatment data: 1. ผู้ป่วยปฏิเสธการรักษา

2. ผู้ป่วยไปรักษาโรงพยาบาลอื่น

◆ Cervix uteri cancer

ตารางที่ 28

แสดงจำนวนผู้ป่วยโรคมะเร็งปากมดลูก ในปี 2557-2560

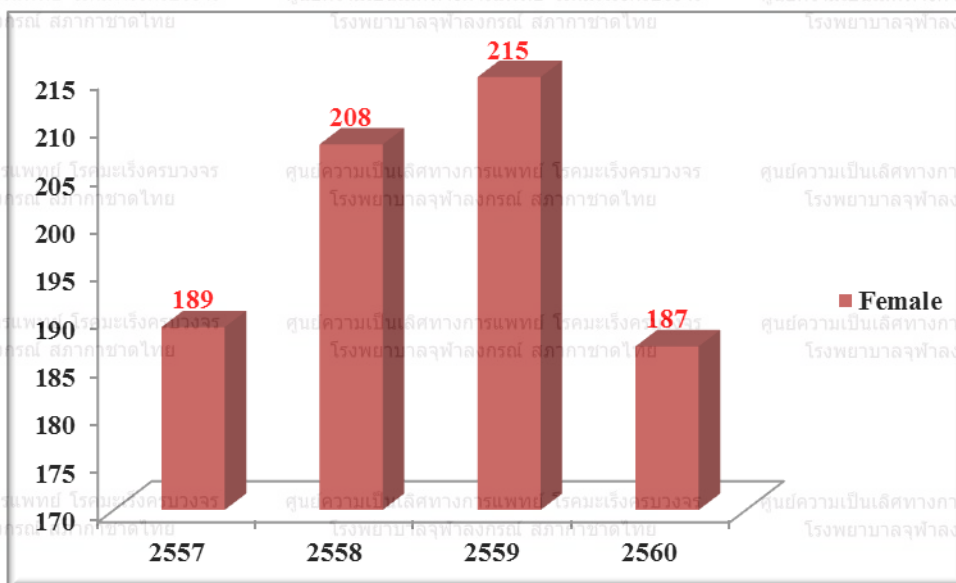
(Trend of cervix uteri cancer), 2014-2017

Years	Number of patients	
	Female	Total
2557	189	189
2558	208	208
2559	215	215
2560	187	187

แผนภูมิที่ 21

แสดงจำนวนผู้ป่วยโรคมะเร็งปากมดลูก ในปี 2557-2560

(Trend of cervix uteri cancer), 2014-2017



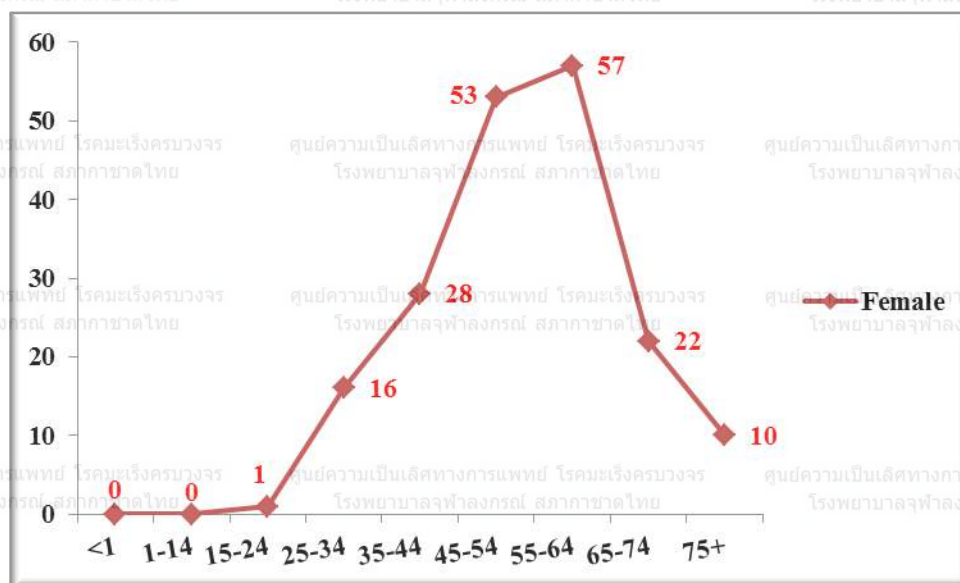
ตารางที่ 29

แสดงจำนวนผู้ป่วยโรคมะเร็งปากมดลูก จำแนกตามช่วงอายุ ในปี 2560
(Distribution of cervix uteri cancer by age-group), 2017

Age group	Female	
	Number	%
<1	0	0.0
1-14	0	0.0
15-24	1	0.5
25-34	16	8.6
35-44	28	15.0
45-54	53	28.3
55-64	57	30.5
65-74	22	11.8
75+	10	5.3
Total	187	100.0

แสดงจำนวนผู้ป่วยโรคมะเร็งปากมดลูก จำแนกตามช่วงอายุ ในปี 2560
(Distribution of cervix uteri cancer by age-group), 2017

ศูนย์ความเป็นเลิศทางการแพทย์ โรคมะเร็งครบวงจร
โรงพยาบาลจุฬาลงกรณ์ สภากาชาดไทย



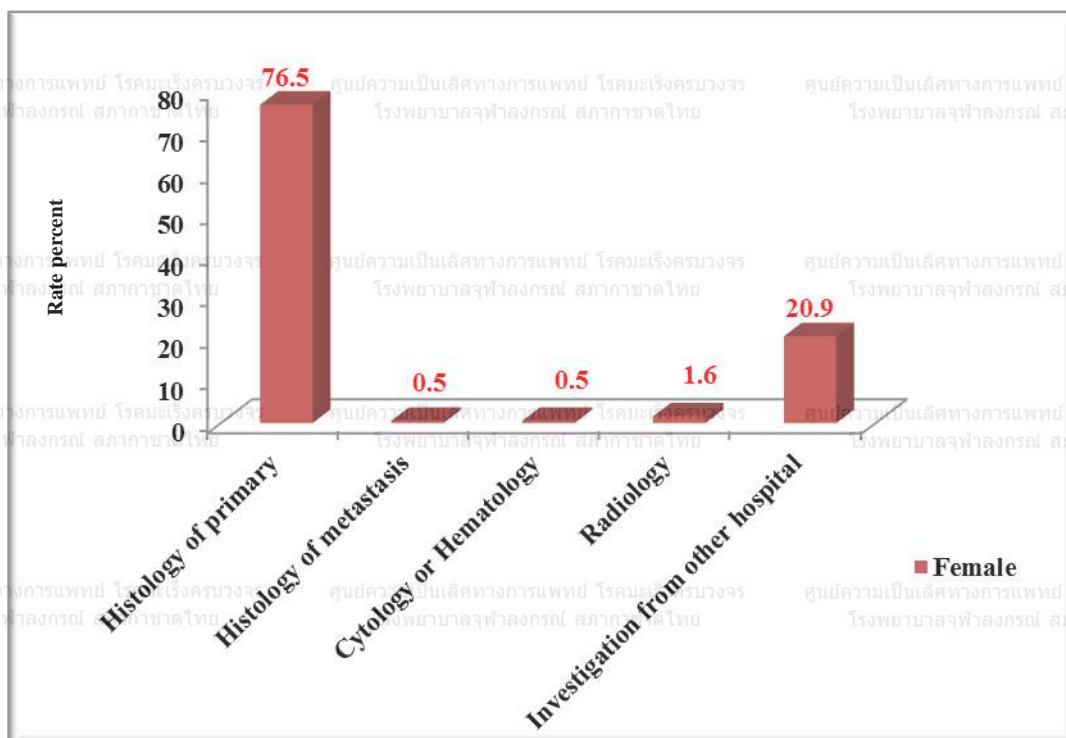
ตารางที่ 30

แสดงจำนวนผู้ป่วยโรคมะเร็งปากมดลูก จำแนกตามวิธีวินิจฉัย ในปี 2560
(Type of diagnosis of cervix uteri cancer, 2017)

Method of diagnosis	Female	
	Number	%
Histology of primary	143	76.5
Histology of metastasis	1	0.5
Cytology or Hematology	1	0.5
Radiology	3	1.6
Investigation from other hospital	39	20.9
Total	187	100.0

แผนภูมิที่ 23

แสดงร้อยละของผู้ป่วยโรคมะเร็งปากมดลูก จำแนกตามวิธีวินิจฉัย ในปี 2560
(Percentage of type of diagnosis for cervix uteri cancer), 2017



ตารางที่ 31

แสดงจำนวนวิธีการรักษาผู้ป่วยโรคมะเร็งปากมดลูก แยกตามเพศ ในปี 2560 (Method of treatment for cervix uteri cancer), 2017

วิธีการรักษา (ผู้ป่วย 1 ราย มีการรักษาได้มากกว่า 1 วิธี)	ผู้ป่วยหญิง (n =187)	
	จำนวน	ร้อยละ
Surgery	44	23.5
Radiation	147	78.6
Chemotherapy	119	63.6
Targeted therapy	3	1.6
Interventional	1	0.5
Supportive Only	13	7.0
*No treatment data	4	2.1

*No treatment data: 1. ผู้ป่วยปฏิเสธการรักษา

2. ผู้ป่วยไปรักษาโรงพยาบาลอื่น

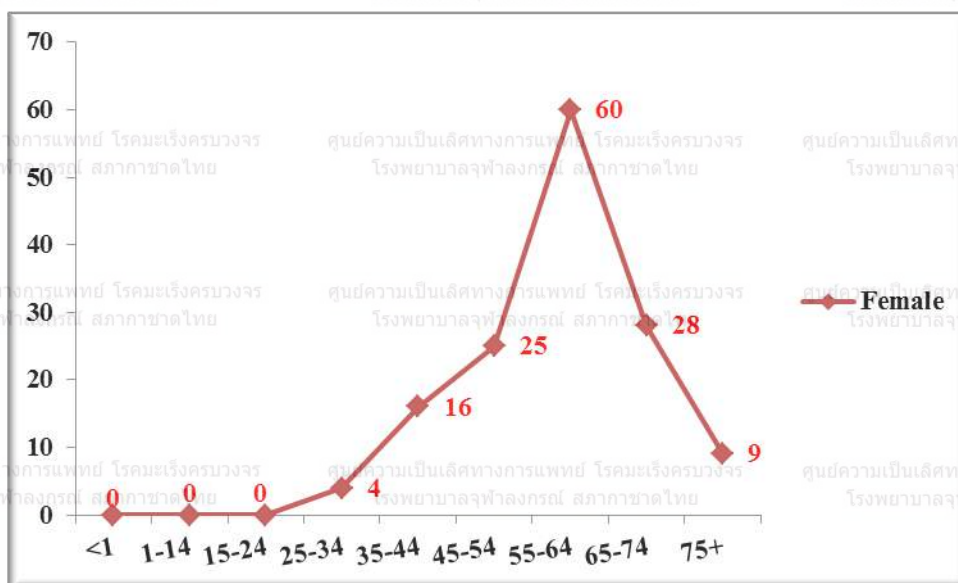
ตารางที่ 33

แสดงจำนวนผู้ป่วยโรคมะเร็งมดลูก จำแนกตามช่วงอายุ ในปี 2560
(Distribution of corpus uteri cancer by age-group), 2017

Age group	Female	
	Number	%
<1	0	0.0
1-14	0	0.0
15-24	0	0.0
25-34	4	2.8
35-44	16	11.3
45-54	25	17.6
55-64	60	42.3
65-74	28	19.7
75+	9	6.3
Total	142	100.0

แผนภูมิที่ 25

แสดงจำนวนผู้ป่วยโรคมะเร็งมดลูก จำแนกตามช่วงอายุ ในปี 2560
(Distribution of corpus uteri cancer by age-group), 2017



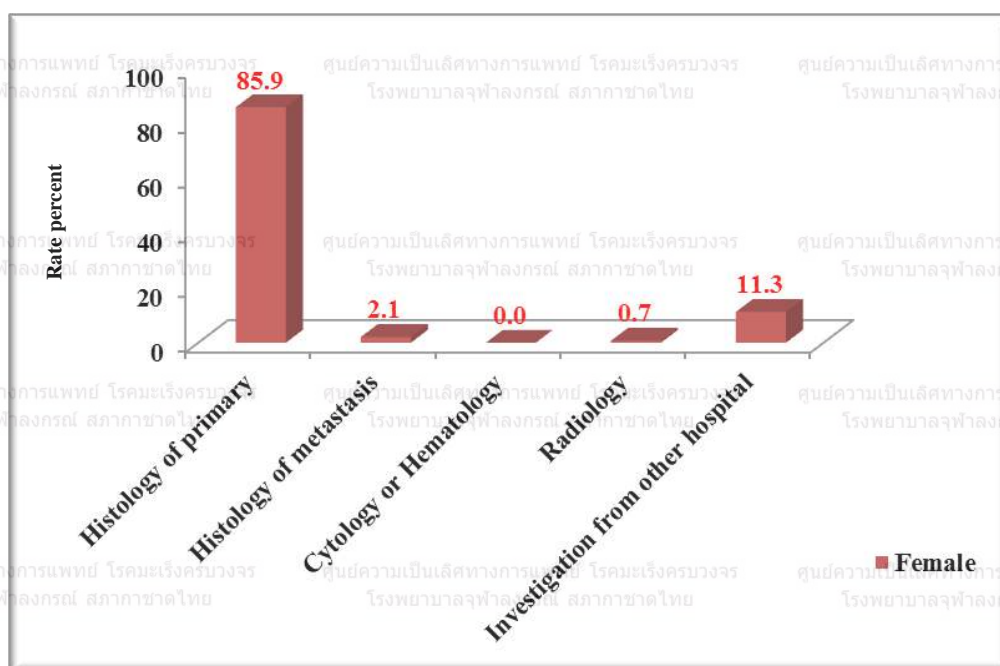
ตารางที่ 34

แสดงจำนวนผู้ป่วยโรคมะเร็งมดลูก จำแนกตามวิธีวินิจฉัย ในปี 2560
(Type of diagnosis of corpus uteri cancer, 2017)

Method of diagnosis	Female	
	Number	%
Histology of primary	122	85.9
Histology of metastasis	3	2.1
Cytology or Hematology	0	0.0
Radiology	1	0.7
Investigation from other hospital	16	11.3
Total	142	100.0

แผนภูมิที่ 26

แสดงร้อยละของผู้ป่วยโรคมะเร็งมดลูก จำแนกตามวิธีวินิจฉัย ในปี 2560
(Percentage of type of diagnosis for corpus uteri cancer), 2017



ตารางที่ 35

แสดงจำนวนวิธีการรักษาผู้ป่วยโรคมะเร็งมดลูก แยกตามเพศ ในปี 2560
(Method of treatment for corpus uteri cancer), 2017

วิธีการรักษา (ผู้ป่วย 1 ราย มีการรักษาได้มากกว่า 1 วิธี)	ผู้ป่วยหญิง (n =142)	
	จำนวน	ร้อยละ
Surgery	112	78.9
Radiation	87	61.3
Chemotherapy	54	38.0
Targeted therapy	2	1.4
Hormonal therapy	6	4.2
Supportive Only	2	1.4
*No treatment data	1	0.7

*No treatment data: 1. ผู้ป่วยปฏิเสธการรักษา

2. ผู้ป่วยไปรักษาโรงพยาบาลอื่น

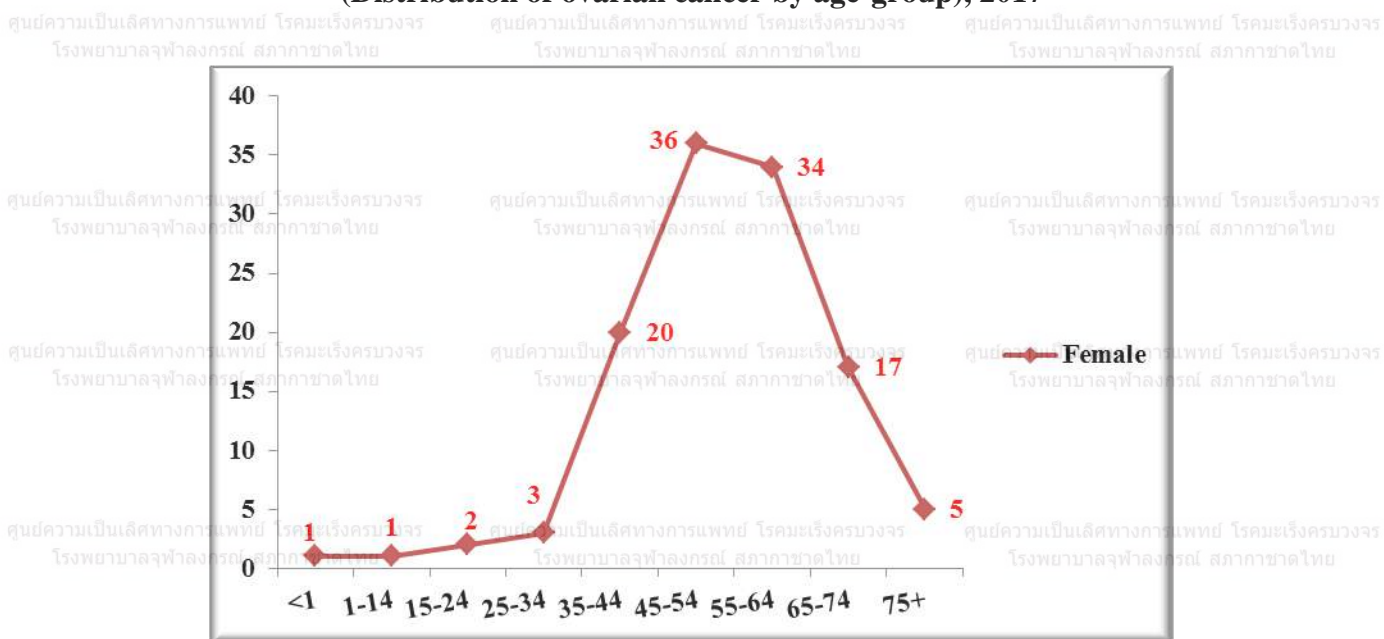
ตารางที่ 37

แสดงจำนวนผู้ป่วยโรคมะเร็งรังไข่ จำแนกตามช่วงอายุ ในปี 2560
(Distribution of ovarian cancer by age-group), 2017

Age group	Female	
	Number	%
<1	1	0.8
1-14	1	0.8
15-24	2	1.7
25-34	3	2.5
35-44	20	16.8
45-54	36	30.3
55-64	34	28.6
65-74	17	14.3
75+	5	4.2
Total	119	100.0

แผนภูมิที่ 28

แสดงจำนวนผู้ป่วยโรคมะเร็งรังไข่ จำแนกตามช่วงอายุ ในปี 2560
(Distribution of ovarian cancer by age-group), 2017



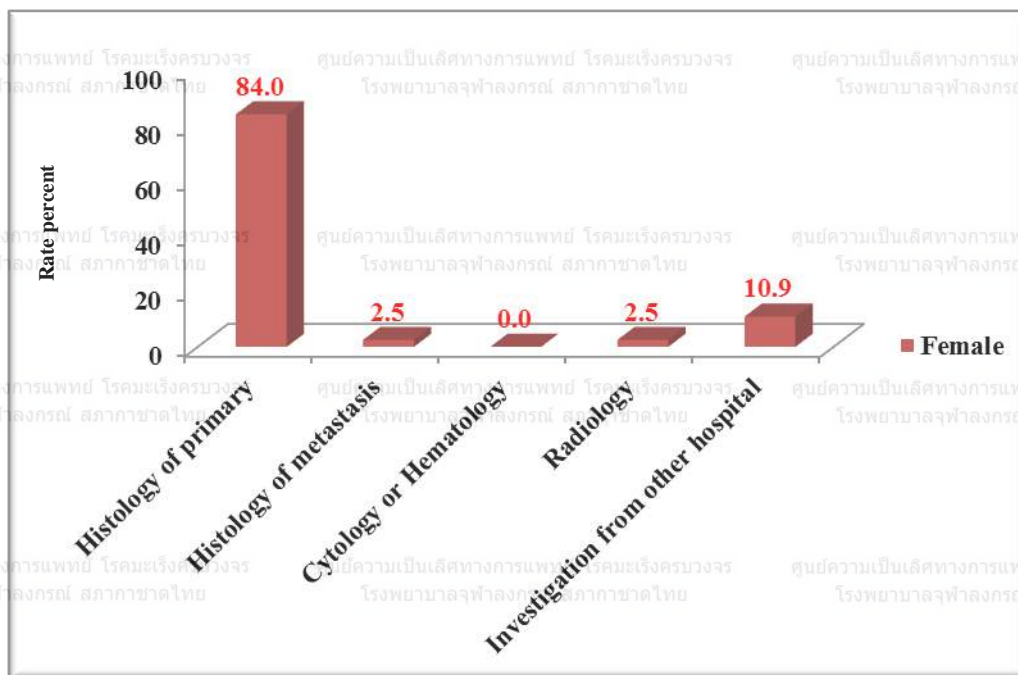
ตารางที่ 38

แสดงจำนวนผู้ป่วยโรคมะเร็งรังไข่ จำแนกตามวิธีวินิจฉัย ในปี 2560
(Type of diagnosis of ovarian cancer, 2017)

Method of diagnosis	Female	
	Number	%
Histology of primary	100	84.0
Histology of metastasis	3	2.5
Cytology or Hematology	0	0.0
Radiology	3	2.5
Investigation from other hospital	13	10.9
Total	119	100.0

แผนภูมิที่ 29

แสดงร้อยละของผู้ป่วยโรคมะเร็งรังไข่ จำแนกตามวิธีวินิจฉัย ในปี 2560
(Percentage of type of diagnosis for ovarian cancer), 2017



ตารางที่ 39

แสดงจำนวนวิธีการรักษาผู้ป่วยโรคมะเร็งรังไข่ แยกตามเพศ ในปี 2560
(Method of treatment for ovarian cancer), 2017

วิธีการรักษา (ผู้ป่วย 1 ราย มีการรักษาได้มากกว่า 1 วิธี)	ผู้ป่วยหญิง (n =119)	
	จำนวน	ร้อยละ
Surgery	80	67.2
Radiation	8	6.7
Chemotherapy	81	68.1
Targeted therapy	4	3.4
Hormonal therapy	1	0.8
Interventional	2	1.7
Supportive Only	11	9.2
*No treatment data	3	2.5

*No treatment data: 1. ผู้ป่วยปฏิเสธการรักษา

2. ผู้ป่วยไปรักษาโรงพยาบาลอื่น

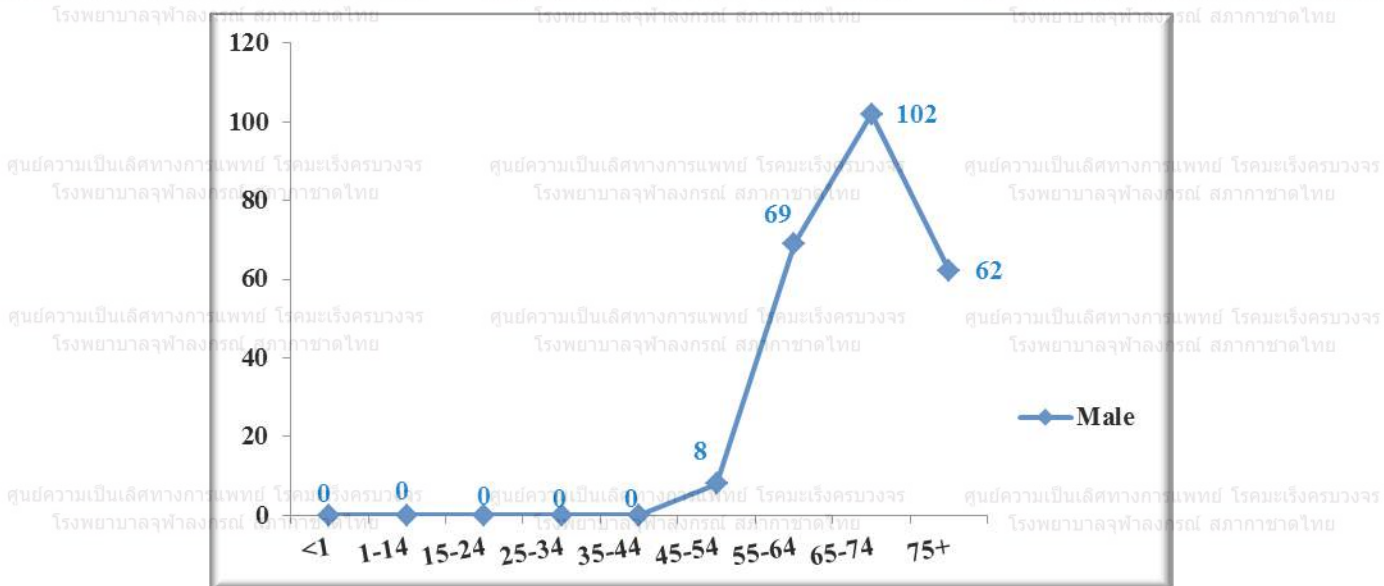
ตารางที่ 41

แสดงจำนวนผู้ป่วยโรคมะเร็งต่อมลูกหมาก จำแนกตามช่วงอายุ ในปี 2560
(Distribution of prostate cancer by age-group), 2017

Age group	Female	
	Number	%
<1	0	0.0
1-14	0	0.0
15-24	0	0.0
25-34	0	0.0
35-44	0	0.0
45-54	8	3.3
55-64	69	28.6
65-74	102	42.3
75+	62	25.7
Total	241	100.0

แผนภูมิที่ 31

แสดงจำนวนผู้ป่วยโรคมะเร็งต่อมลูกหมาก จำแนกตามช่วงอายุ ในปี 2560
(Distribution of prostate cancer by age-group), 2017



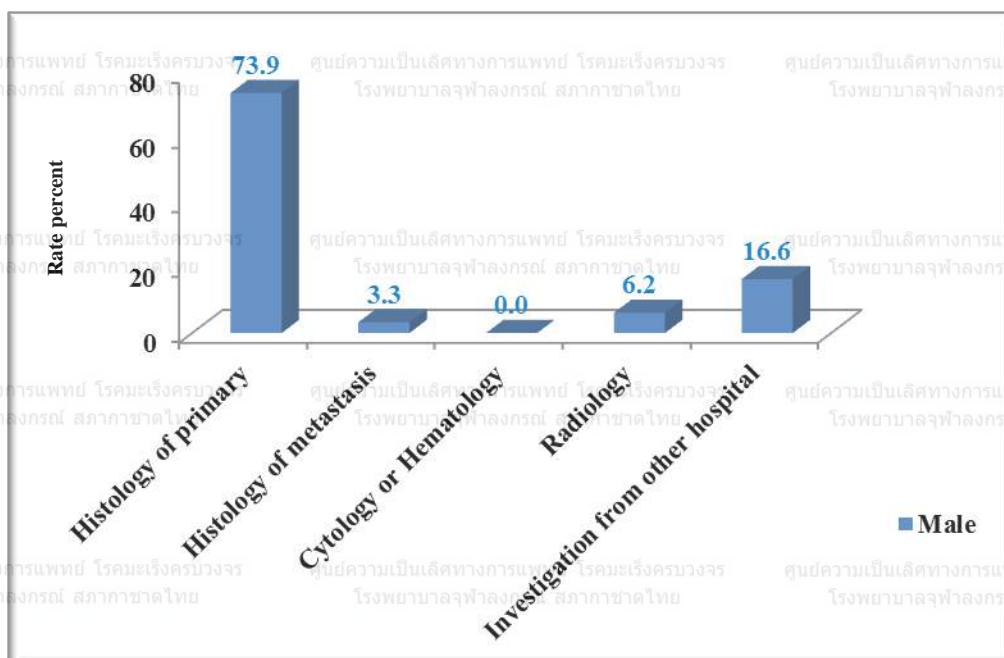
ตารางที่ 42

แสดงจำนวนผู้ป่วยโรคมะเร็งต่อมลูกหมาก จำแนกตามวิธีวินิจฉัย ในปี 2560
(Type of diagnosis of prostate cancer, 2017)

Method of diagnosis	Male	
	Number	%
Histology of primary	178	73.9
Histology of metastasis	8	3.3
Cytology or Hematology	0	0.0
Radiology	15	6.2
Investigation from other hospital	40	16.6
Total	241	100.0

แผนภูมิที่ 32

แสดงร้อยละของผู้ป่วยโรคมะเร็งต่อมลูกหมาก จำแนกตามวิธีวินิจฉัย ในปี 2560
(Percentage of type of diagnosis for prostate cancer), 2017



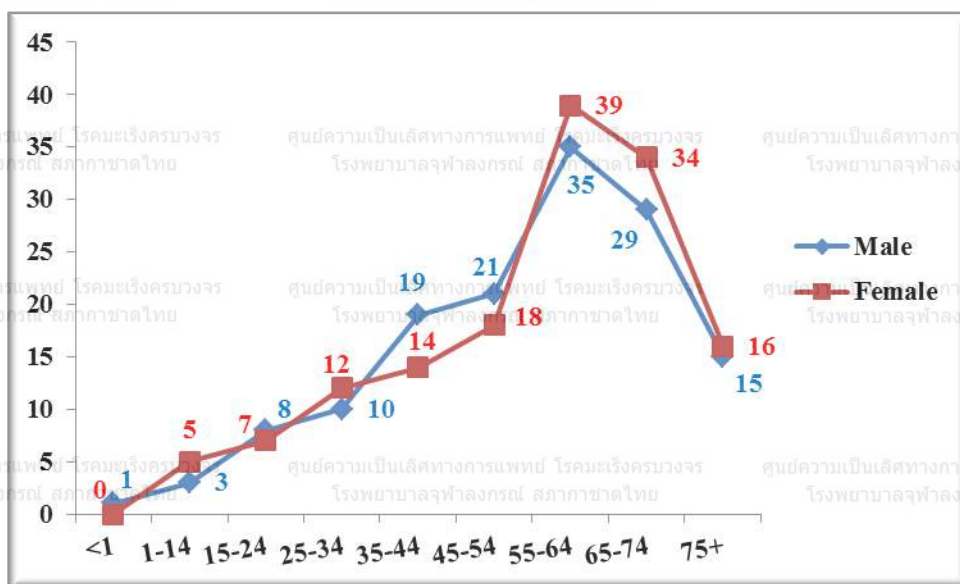
ตารางที่ 45

แสดงจำนวนผู้ป่วยโรคมะเร็งต่อมน้ำเหลือง จำแนกตามช่วงอายุ ในปี 2560
(Distribution of lymphoma by age-group), 2017

Age group	Male		Female		Total	
	Number	%	Number	%	Number	%
<1	1	0.7	0	0.0	1	0.3
1-14	3	2.1	5	3.4	8	2.8
15-24	8	5.7	7	4.8	15	5.2
25-34	10	7.1	12	8.3	22	7.7
35-44	19	13.5	14	9.7	33	11.5
45-54	21	14.9	18	12.4	39	13.6
55-64	35	24.8	39	26.9	74	25.9
65-74	29	20.6	34	23.4	63	22.0
75+	15	10.6	16	11.0	31	10.8
Total	141	100.0	145	100.0	286	100.0

แผนภูมิที่ 34

แสดงจำนวนผู้ป่วยโรคมะเร็งต่อมน้ำเหลือง จำแนกตามช่วงอายุ ในปี 2560
(Distribution of lymphoma by age-group), 2017

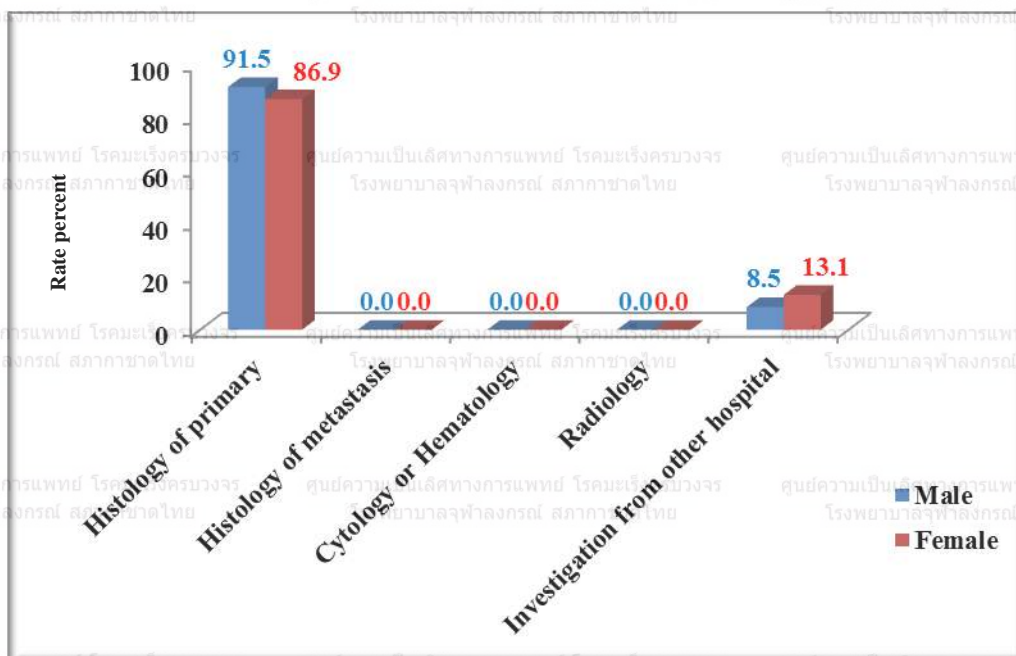


ตารางที่ 46

แสดงจำนวนผู้ป่วยโรคมะเร็งต่อมน้ำเหลือง จำแนกตามวิธีวินิจฉัย ในปี 2560
(Type of diagnosis of lymphoma, 2017)

Method of diagnosis	Male		Female		Total	
	Number	%	Number	%	Number	%
Histology of primary	129	91.5	126	86.9	255	89.2
Histology of metastasis	0	0.0	0	0.0	0	0.0
Cytology or Hematology	0	0.0	0	0.0	0	0.0
Radiology	0	0.0	0	0.0	0	0.0
Investigation from other hospital	12	8.5	19	13.1	31	10.8
Total	141	100.0	145	100.0	286	100.0

แผนภูมิที่ 35
แสดงร้อยละของผู้ป่วยโรคมะเร็งต่อมน้ำเหลือง จำแนกตามวิธีวินิจฉัย ในปี 2560
(Percentage of type of diagnosis for lymphoma), 2017



ตารางที่ 47

แสดงจำนวนวิธีการรักษาผู้ป่วยโรคมะเร็งต่อมน้ำเหลือง แยกตามเพศ ในปี 2560
(Method of treatment for lymphoma), 2017

วิธีการรักษา (ผู้ป่วย 1 ราย มีการรักษาได้มากกว่า 1 วิธี)	ผู้ป่วยชาย (n = 141)		ผู้ป่วยหญิง (n = 145)	
	จำนวน	ร้อยละ	จำนวน	ร้อยละ
Surgery	2	1.4	3	2.1
Radiation	48	34.0	59	40.7
Chemotherapy	92	65.2	95	65.5
Targeted therapy	40	28.4	38	26.2
Immunotherapy	1	0.7	0	0.0
Supportive Only	34	24.1	29	20.0
*No treatment data	1	0.7	5	3.4

*No treatment data: 1. ผู้ป่วยปฏิเสธการรักษา

2. ผู้ป่วยไปรักษาโรงพยาบาลอื่น

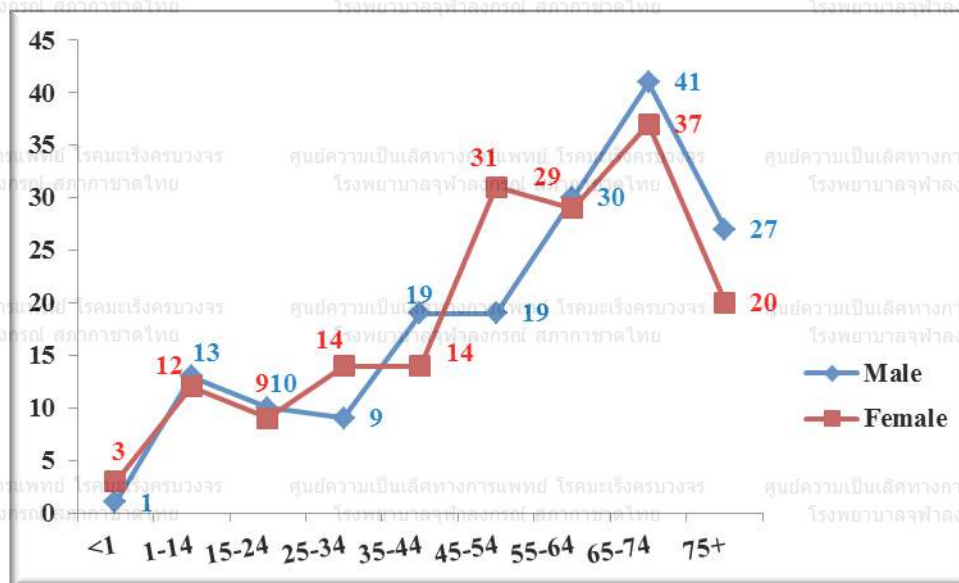
ตารางที่ 49

แสดงจำนวนผู้ป่วยโรคมะเร็งเม็ดเลือดขาว จำแนกตามช่วงอายุ ในปี 2560
(Distribution of leukemia by age-group), 2017

Age group	Male		Female		Total	
	Number	%	Number	%	Number	%
<1	1	0.6	3	1.8	4	1.2
1-14	13	7.7	12	7.1	25	7.4
15-24	10	5.9	9	5.3	19	5.6
25-34	9	5.3	14	8.3	23	6.8
35-44	19	11.2	14	8.3	33	9.8
45-54	19	11.2	31	18.3	50	14.8
55-64	30	17.8	29	17.2	59	17.5
65-74	41	24.3	37	21.9	78	23.1
75+	27	16.0	20	11.8	47	13.9
Total	169	100.0	169	100.0	338	100.0

แผนภูมิที่ 37

แสดงจำนวนผู้ป่วยโรคมะเร็งเม็ดเลือดขาว จำแนกตามช่วงอายุ ในปี 2560
(Distribution of leukemia by age-group), 2017



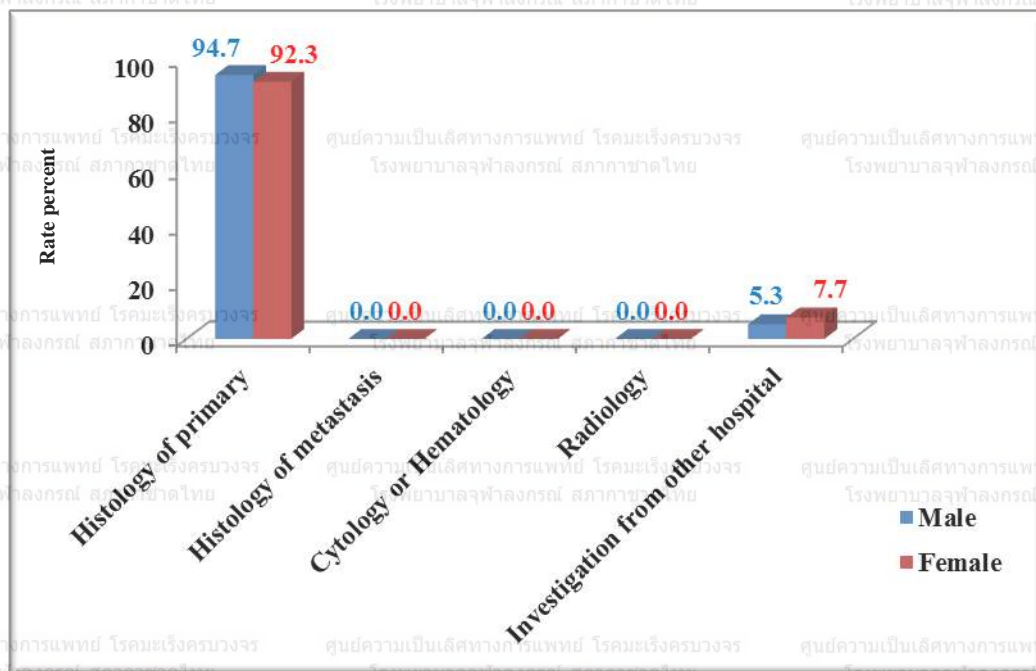
ตารางที่ 50

แสดงจำนวนผู้ป่วยโรคมะเร็งเม็ดเลือดขาว จำแนกตามวิธีวินิจฉัย ในปี 2560
(Type of diagnosis of leukemia, 2017)

Method of diagnosis	Male		Female		Total	
	Number	%	Number	%	Number	%
Histology of primary	160	94.7	156	92.3	316	93.5
Histology of metastasis	0	0.0	0	0.0	0	0.0
Cytology or Hematology	0	0.0	0	0.0	0	0.0
Radiology	0	0.0	0	0.0	0	0.0
Investigation from other hospital	9	5.3	13	7.7	22	6.5
Total	169	100.0	169	100.0	338	100.0

แผนภูมิที่ 38

แสดงร้อยละของผู้ป่วยโรคมะเร็งเม็ดเลือดขาว จำแนกตามวิธีวินิจฉัย ในปี 2560
(Percentage of type of diagnosis for leukemia), 2017



ตารางที่ 51

แสดงจำนวนวิธีการรักษาผู้ป่วยโรคมะเร็งเม็ดเลือดขาว แยกตามเพศ ในปี 2560
(Method of treatment for leukemia), 2017

วิธีการรักษา (ผู้ป่วย 1 ราย มีการรักษาได้มากกว่า 1 วิธี)	ผู้ป่วยชาย (n = 169)		ผู้ป่วยหญิง (n=169)	
	จำนวน	ร้อยละ	จำนวน	ร้อยละ
Radiation	21	12.4	21	12.4
Chemotherapy	93	55.0	109	64.5
Targeted therapy	33	19.5	15	8.9
Immunotherapy	1	0.6	0	0.0
Supportive Only	55	32.5	52	30.8
*No treatment data	4	2.4	3	1.8

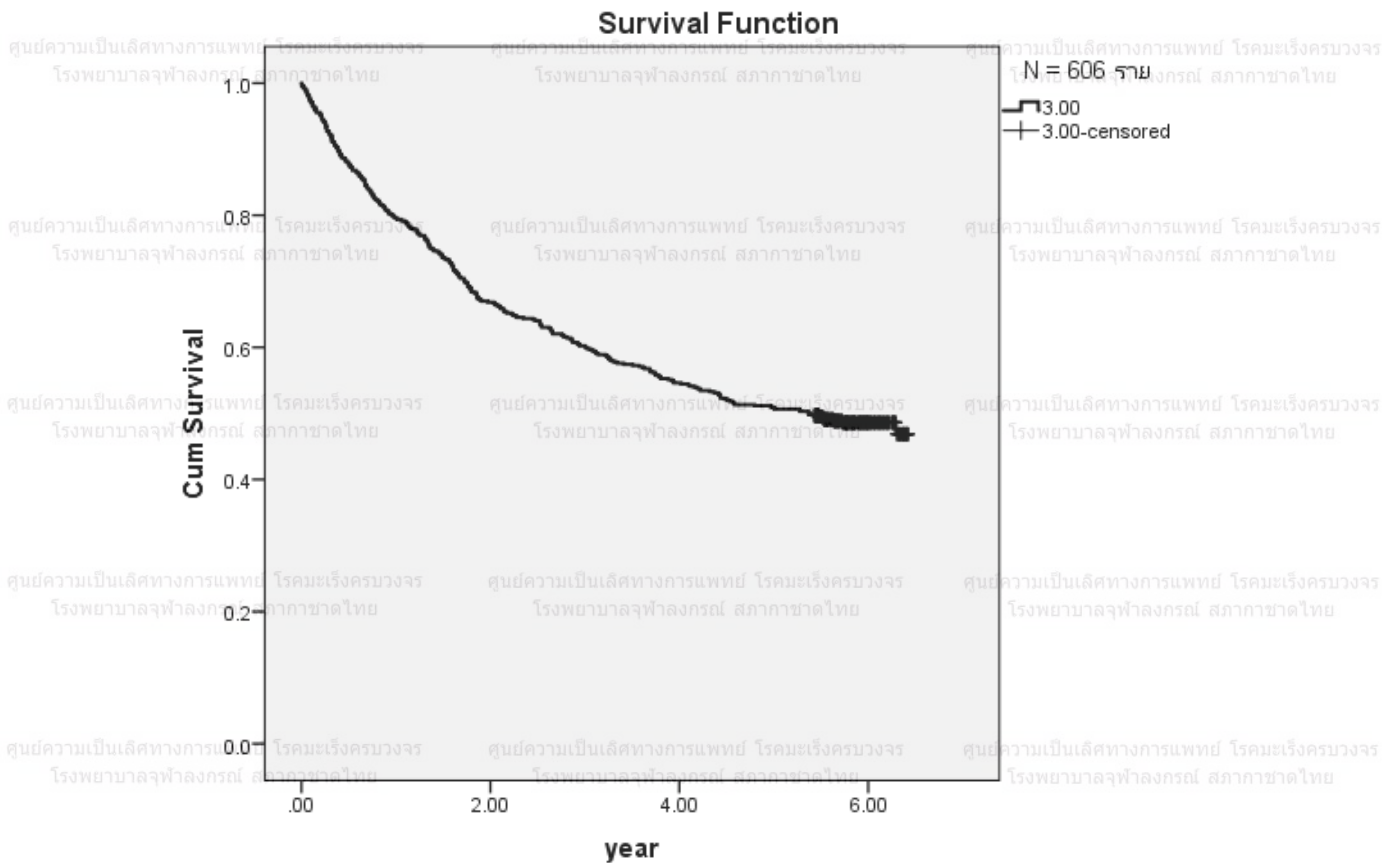
*No treatment data: 1. ผู้ป่วยปฏิเสธการรักษา

2. ผู้ป่วยไปรักษาโรงพยาบาลอื่น

แผนภูมิที่ 39

ตารางแสดงอัตราการรอดชีพ (survival) ผู้ป่วยโรคมะเร็งลำไส้ใหญ่และทวารหนัก (colon & rectum cancer) ในปี พ.ศ. 2557 โดยแบ่งเป็นปี

Graph Kaplan-Meier



ภาพรวมผู้ป่วย โรคมะเร็งลำไส้ใหญ่และทวารหนัก (colon & rectum cancer) ในปี พ.ศ. 2557

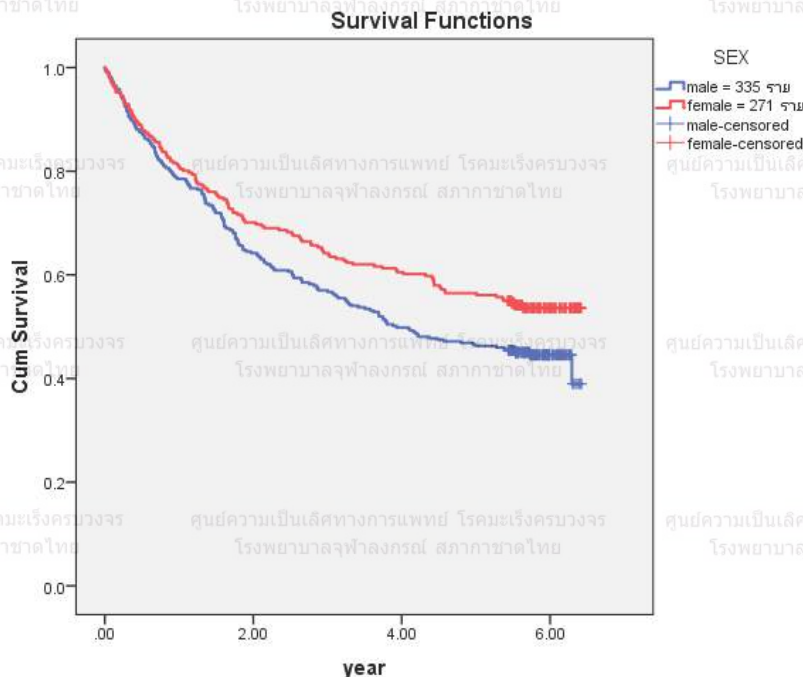
ทั้งเพศชายและเพศหญิง โดยแบ่งเป็นปี พบว่า

1. อัตราการรอดชีพที่ 3 ปี เท่ากับ 60.2%
2. อัตราการรอดชีพที่ 5 ปี เท่ากับ 50.8%

แผนภูมิที่ 40

ตารางแสดงอัตราการรอดชีพ (survival) ผู้ป่วยโรคมะเร็งลำไส้ใหญ่และทวารหนัก (colon & rectum cancer) แยกตามเพศ ในปี พ.ศ. 2557 โดยแบ่งเป็นปี

Graph Kaplan-Meier



ผู้ป่วยเพศชาย	ผู้ป่วยเพศหญิง
อัตราการรอดชีพที่ 3 ปี เท่ากับ 57.0%	อัตราการรอดชีพที่ 3 ปี เท่ากับ 64.2%
อัตราการรอดชีพที่ 5 ปี เท่ากับ 46.3%	อัตราการรอดชีพที่ 5 ปี เท่ากับ 56.5%

Overall Comparisons

	Chi-Square	df	Sig.
Log Rank (Mantel-Cox)	5.055	1	.025
Breslow (Generalized Wilcoxon)	4.052	1	.044
Tarone-Ware	4.505	1	.034

Test of equality of survival distributions for the different levels of sex.

หมายเหตุ *ค่านี้สำคัญทางสถิติที่ระดับ .05

จากการศึกษา พบว่า เพศต่างกันมีอัตราการรอดชีพของผู้ป่วยโรคมะเร็งลำไส้ใหญ่และทวารหนัก

(colon & rectum cancer) แตกต่างกันอย่างมีนัยสำคัญทางสถิติที่ระดับ .05

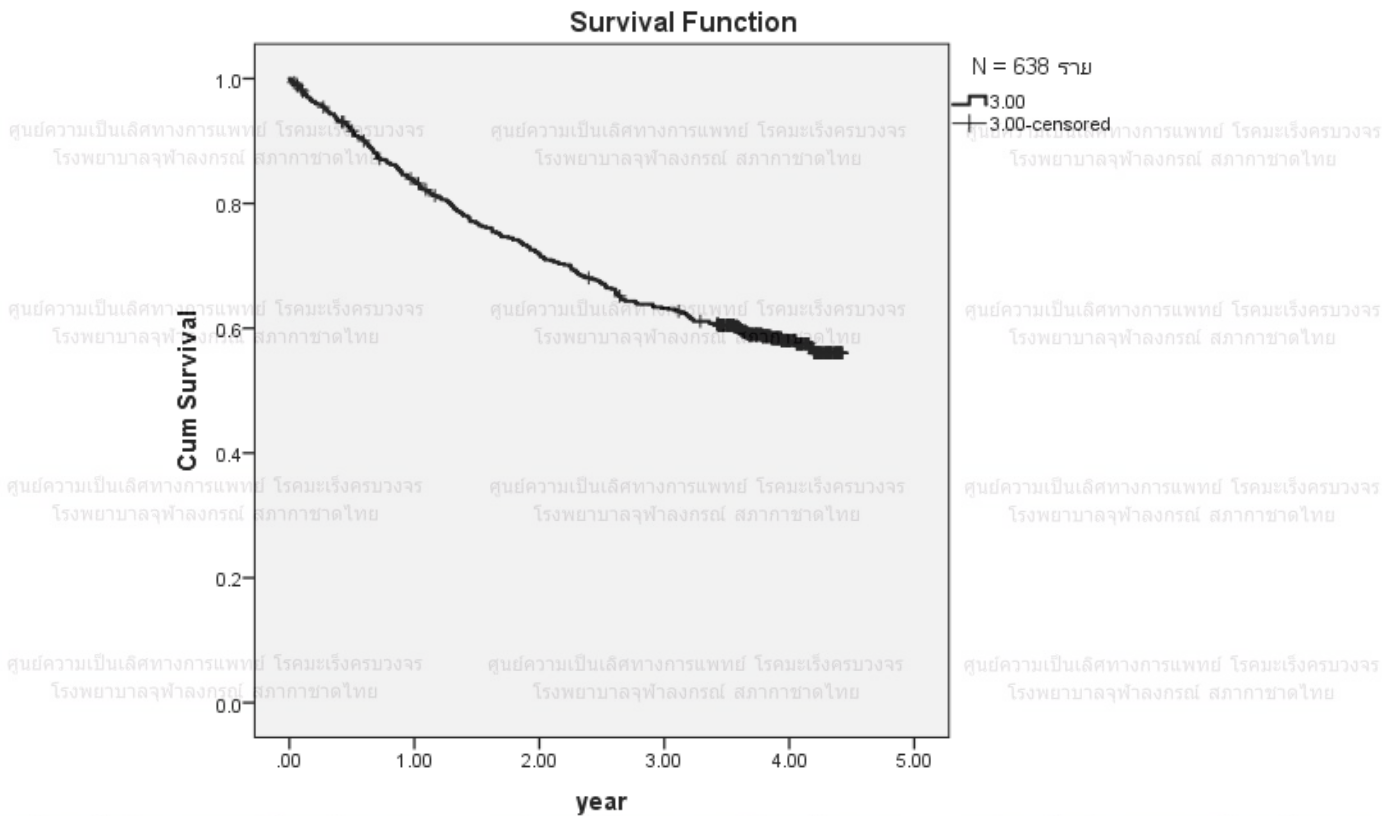
แผนภูมิที่ 41

ตารางแสดงอัตราการรอดชีพ (survival) ผู้ป่วยโรคมะเร็งลำไส้ใหญ่และทวารหนัก (colon & rectum cancer) ในปี พ.ศ. 2559 โดยแบ่งเป็นปี

Graph Kaplan-Meier
ศูนย์ความเป็นเลิศทางการแพทย์ โรคมะเร็งครบวงจร
โรงพยาบาลจุฬาลงกรณ์ สภากาชาดไทย

ศูนย์ความเป็นเลิศทางการแพทย์ โรคมะเร็งครบวงจร
โรงพยาบาลจุฬาลงกรณ์ สภากาชาดไทย

ศูนย์ความเป็นเลิศทางการแพทย์ โรคมะเร็งครบวงจร
โรงพยาบาลจุฬาลงกรณ์ สภากาชาดไทย



ศูนย์ความเป็นเลิศทางการแพทย์ โรคมะเร็งครบวงจร
โรงพยาบาลจุฬาลงกรณ์ สภากาชาดไทย

ศูนย์ความเป็นเลิศทางการแพทย์ โรคมะเร็งครบวงจร
โรงพยาบาลจุฬาลงกรณ์ สภากาชาดไทย

ศูนย์ความเป็นเลิศทางการแพทย์ โรคมะเร็งครบวงจร
โรงพยาบาลจุฬาลงกรณ์ สภากาชาดไทย

ภาพรวมผู้ป่วย โรคมะเร็งลำไส้ใหญ่และทวารหนัก (colon & rectum cancer) ในปี พ.ศ. 2559 ทั้งเพศชายและเพศหญิง โดยแบ่งเป็นปี พบว่า อัตราการรอดชีพที่ 3 ปี เท่ากับ 63.2%

ศูนย์ความเป็นเลิศทางการแพทย์ โรคมะเร็งครบวงจร
โรงพยาบาลจุฬาลงกรณ์ สภากาชาดไทย

ศูนย์ความเป็นเลิศทางการแพทย์ โรคมะเร็งครบวงจร
โรงพยาบาลจุฬาลงกรณ์ สภากาชาดไทย

ศูนย์ความเป็นเลิศทางการแพทย์ โรคมะเร็งครบวงจร
โรงพยาบาลจุฬาลงกรณ์ สภากาชาดไทย

ศูนย์ความเป็นเลิศทางการแพทย์ โรคมะเร็งครบวงจร
โรงพยาบาลจุฬาลงกรณ์ สภากาชาดไทย

ศูนย์ความเป็นเลิศทางการแพทย์ โรคมะเร็งครบวงจร
โรงพยาบาลจุฬาลงกรณ์ สภากาชาดไทย

ศูนย์ความเป็นเลิศทางการแพทย์ โรคมะเร็งครบวงจร
โรงพยาบาลจุฬาลงกรณ์ สภากาชาดไทย

ศูนย์ความเป็นเลิศทางการแพทย์ โรคมะเร็งครบวงจร
โรงพยาบาลจุฬาลงกรณ์ สภากาชาดไทย

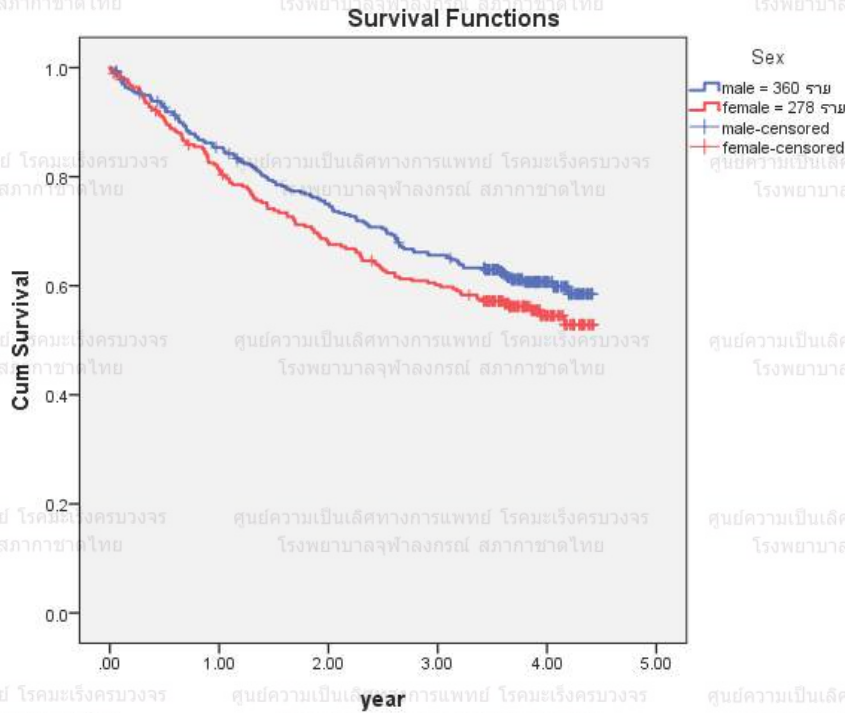
ศูนย์ความเป็นเลิศทางการแพทย์ โรคมะเร็งครบวงจร
โรงพยาบาลจุฬาลงกรณ์ สภากาชาดไทย

ศูนย์ความเป็นเลิศทางการแพทย์ โรคมะเร็งครบวงจร
โรงพยาบาลจุฬาลงกรณ์ สภากาชาดไทย

แผนภูมิที่ 42

ตารางแสดงอัตราการรอดชีพ (survival) ผู้ป่วยโรคมะเร็งลำไส้ใหญ่และทวารหนัก (colon & rectum cancer) แยกตามเพศ ในปี พ.ศ. 2559 โดยแบ่งเป็นปี

Graph Kaplan-Meier



ผู้ป่วยเพศชาย	ผู้ป่วยเพศหญิง
อัตราการรอดชีพที่ 3 ปี เท่ากับ 65.6%	อัตราการรอดชีพที่ 3 ปี เท่ากับ 60.2%

Overall Comparisons

	Chi-Square	df	Sig.
Log Rank (Mantel-Cox)	2.259	1	.133
Breslow (Generalized Wilcoxon)	2.474	1	.116
Tarone-Ware	2.388	1	.122

Test of equality of survival distributions for the different levels of Sex.

หมายเหตุ *ค่านัยสำคัญทางสถิติที่ระดับ .05

จากการศึกษา พบว่า เพศต่างกันมีอัตราการรอดชีพของผู้ป่วยโรคมะเร็งลำไส้ใหญ่และทวารหนัก

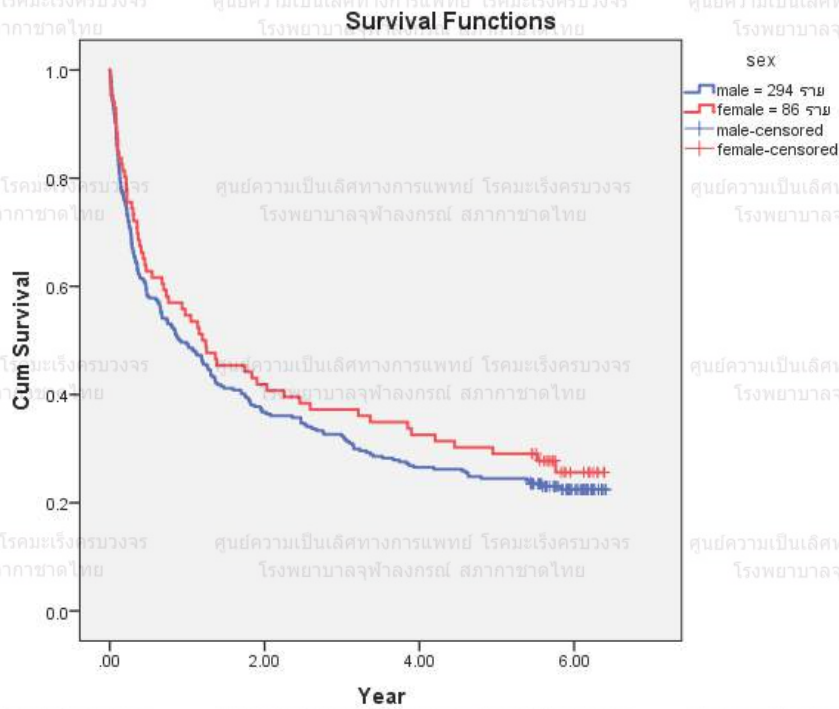
(colon & rectum cancer) ไม่แตกต่างกันอย่างมีนัยสำคัญทางสถิติที่ระดับ .05

แผนภูมิที่ 44

ตารางแสดงอัตราการรอดชีพ (survival) ผู้ป่วยโรคมะเร็งตับ (liver cancer)

แยกตามเพศ ในปี พ.ศ. 2557 โดยแบ่งเป็นปี

Graph Kaplan-Meier



ผู้ป่วยเพศชาย	ผู้ป่วยเพศหญิง
อัตราการรอดชีพที่ 3 ปี เท่ากับ 32.3%	อัตราการรอดชีพที่ 3 ปี เท่ากับ 37.2%
อัตราการรอดชีพที่ 5 ปี เท่ากับ 24.5%	อัตราการรอดชีพที่ 5 ปี เท่ากับ 29.1%

Overall Comparisons

	Chi-Square	df	Sig.
Log Rank (Mantel-Cox)	.903	1	.342
Breslow (Generalized Wilcoxon)	1.032	1	.310
Tarone-Ware	1.017	1	.313

Test of equality of survival distributions for the different levels of sex.

หมายเหตุ *ค่านัยสำคัญทางสถิติที่ระดับ .05

จากการศึกษา พบว่า เพศต่างกันมีอัตราการรอดชีพของผู้ป่วยโรคมะเร็งตับ (liver cancer)

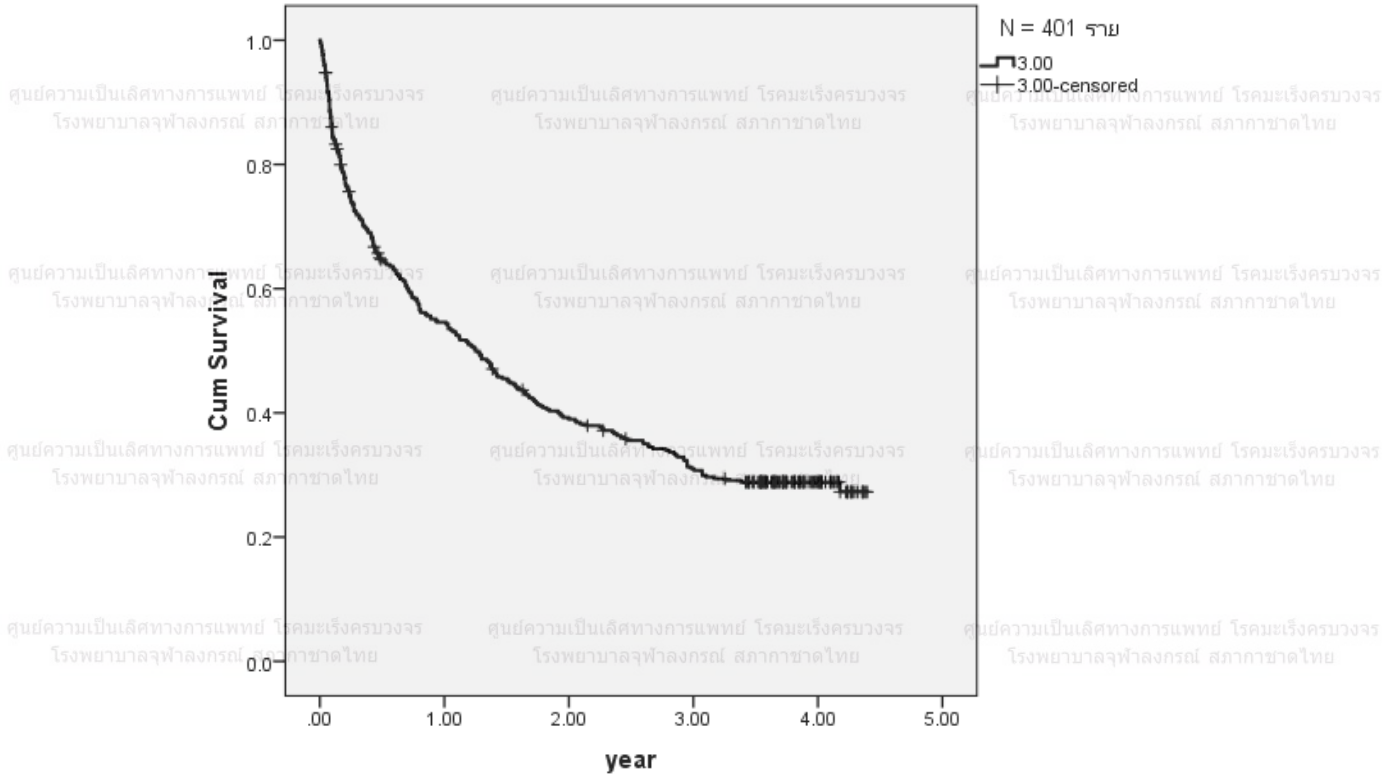
ไม่แตกต่างกันอย่างมีนัยสำคัญทางสถิติที่ระดับ .05

แผนภูมิที่ 45

ตารางแสดงอัตราการรอดชีพ (survival) ผู้ป่วยโรคมะเร็งตับ (liver cancer) ในปี พ.ศ. 2559 โดยแบ่งเป็นปี

Graph Kaplan-Meier

Survival Function



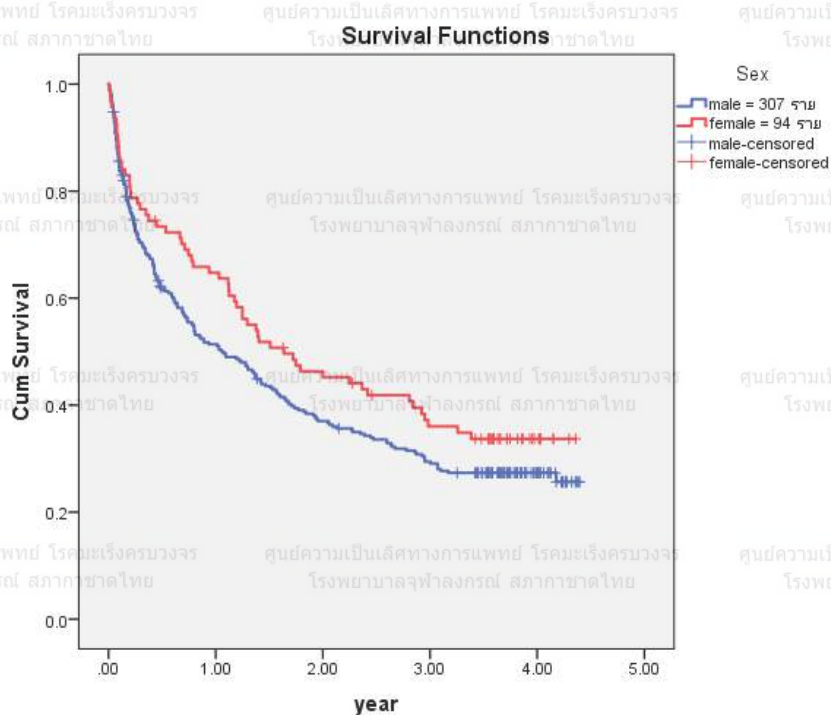
ภาพรวมผู้ป่วย โรคมะเร็งตับ (liver cancer) ในปี พ.ศ. 2559 ทั้งเพศชาย และเพศหญิง โดยแบ่งเป็นปี พบว่า อัตราการรอดชีพที่ 3 ปี เท่ากับ 31.0%

แผนภูมิที่ 46

ตารางแสดงอัตราการรอดชีพ (survival) ผู้ป่วยโรคมะเร็งตับ (liver cancer)

แยกตามเพศ ในปี พ.ศ. 2559 โดยแบ่งเป็นปี

Graph Kaplan-Meier



ผู้ป่วยเพศชาย	ผู้ป่วยเพศหญิง
อัตราการรอดชีพที่ 3 ปี เท่ากับ 29.4%	อัตราการรอดชีพที่ 3 ปี เท่ากับ 36.0%

Overall Comparisons

	Chi-Square	df	Sig.
Log Rank (Mantel-Cox)	2.465	1	.116
Breslow (Generalized Wilcoxon)	2.859	1	.091
Tarone-Ware	2.774	1	.096

Test of equality of survival distributions for the different levels of Sex.

หมายเหตุ *ค่านัยสำคัญทางสถิติที่ระดับ .05

จากการศึกษา พบว่า เพศต่างกันมีอัตราการรอดชีพของผู้ป่วยโรคมะเร็งตับ (liver cancer)

ไม่แตกต่างกันอย่างมีนัยสำคัญทางสถิติที่ระดับ .05

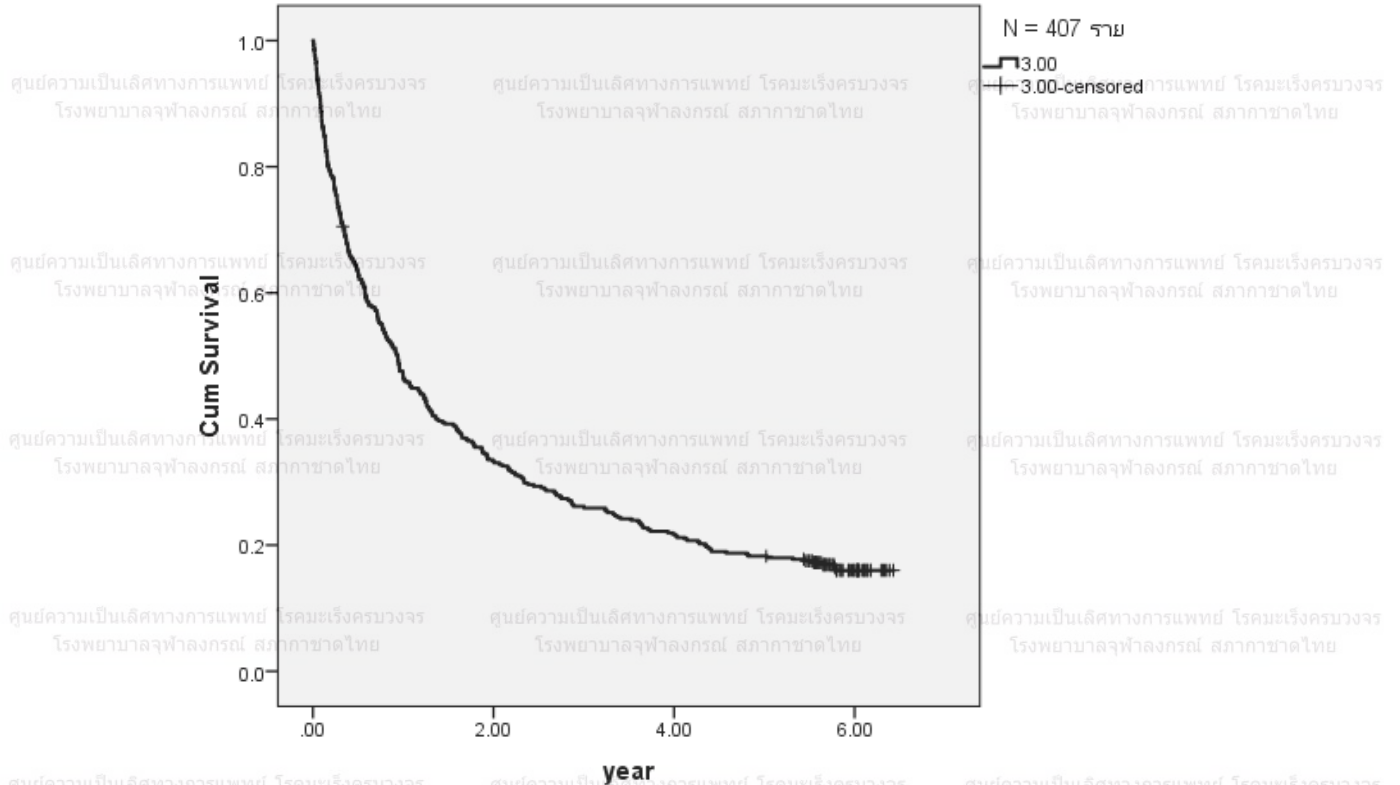
แผนภูมิที่ 47

ตารางแสดงอัตราการรอดชีพ (survival) ผู้ป่วยโรคมะเร็งปอด (lung cancer)

ในปี พ.ศ. 2557 โดยแบ่งเป็นปี

Graph Kaplan-Meier

Survival Function



ภาพรวมผู้ป่วยโรคมะเร็งปอด (lung cancer) ในปี พ.ศ. 2557 ทั้งเพศชาย และเพศหญิง โดยแบ่งเป็นปี พบว่า

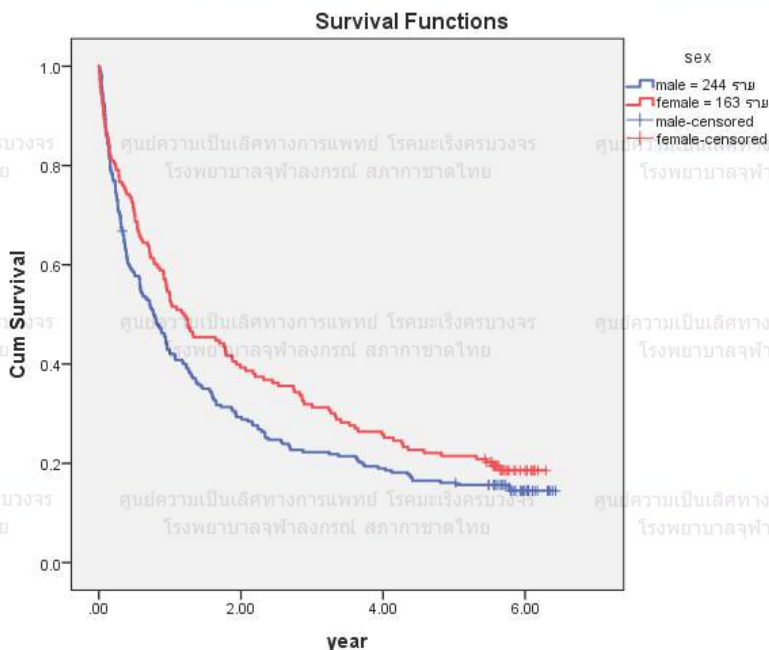
1. อัตราการรอดชีพที่ 3 ปี เท่ากับ 26.1%

2. อัตราการรอดชีพที่ 5 ปี เท่ากับ 18.2%

แผนภูมิที่ 48

ตารางแสดงอัตราการรอดชีพ (survival) ผู้ป่วยโรคมะเร็งปอด (lung cancer) แยกตามเพศ ในปี พ.ศ. 2557 โดยแบ่งเป็นปี

Graph Kaplan-Meier



ผู้ป่วยเพศชาย	ผู้ป่วยเพศหญิง
อัตราการรอดชีพที่ 3 ปี เท่ากับ 22.3%	อัตราการรอดชีพที่ 3 ปี เท่ากับ 31.9%
อัตราการรอดชีพที่ 5 ปี เท่ากับ 16.1%	อัตราการรอดชีพที่ 5 ปี เท่ากับ 21.5%

Overall Comparisons

	Chi-Square	df	Sig.
Log Rank (Mantel-Cox)	3.715	1	.054
Breslow (Generalized Wilcoxon)	4.434	1	.035
Tarone-Ware	4.433	1	.035

Test of equality of survival distributions for the different levels of sex.

หมายเหตุ *ค่านัยสำคัญทางสถิติที่ระดับ .05

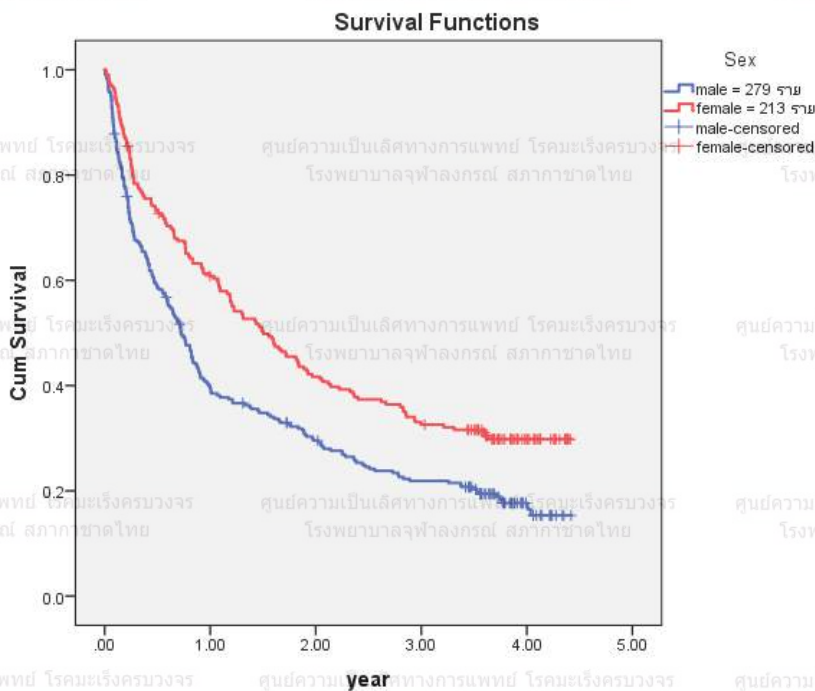
จากการศึกษา พบว่า เพศต่างกันมีอัตราการรอดชีพของผู้ป่วยโรคมะเร็งปอด (lung cancer) ไม่

แตกต่างกันอย่างมีนัยสำคัญทางสถิติที่ระดับ .05

แผนภูมิที่ 50

ตารางแสดงอัตราการรอดชีพ (survival) ผู้ป่วยโรคมะเร็งปอด (lung cancer) แยกตามเพศ ในปี พ.ศ. 2559 โดยแบ่งเป็นปี

Graph Kaplan-Meier



ผู้ป่วยเพศชาย	ผู้ป่วยเพศหญิง
อัตราการรอดชีพที่ 3 ปี เท่ากับ 21.9%	อัตราการรอดชีพที่ 3 ปี เท่ากับ 32.6%

Overall Comparisons

	Chi-Square	df	Sig.
Log Rank (Mantel-Cox)	15.424	1	.000
Breslow (Generalized Wilcoxon)	16.827	1	.000
Tarone-Ware	16.431	1	.000

Test of equality of survival distributions for the different levels of Sex.

หมายเหตุ *ค่านัยสำคัญทางสถิติที่ระดับ .05

จากการศึกษา พบว่า เพศต่างกันมีอัตราการรอดชีพของผู้ป่วยโรคมะเร็งปอด (lung cancer)

แตกต่างกันอย่างมีนัยสำคัญทางสถิติที่ระดับ .05

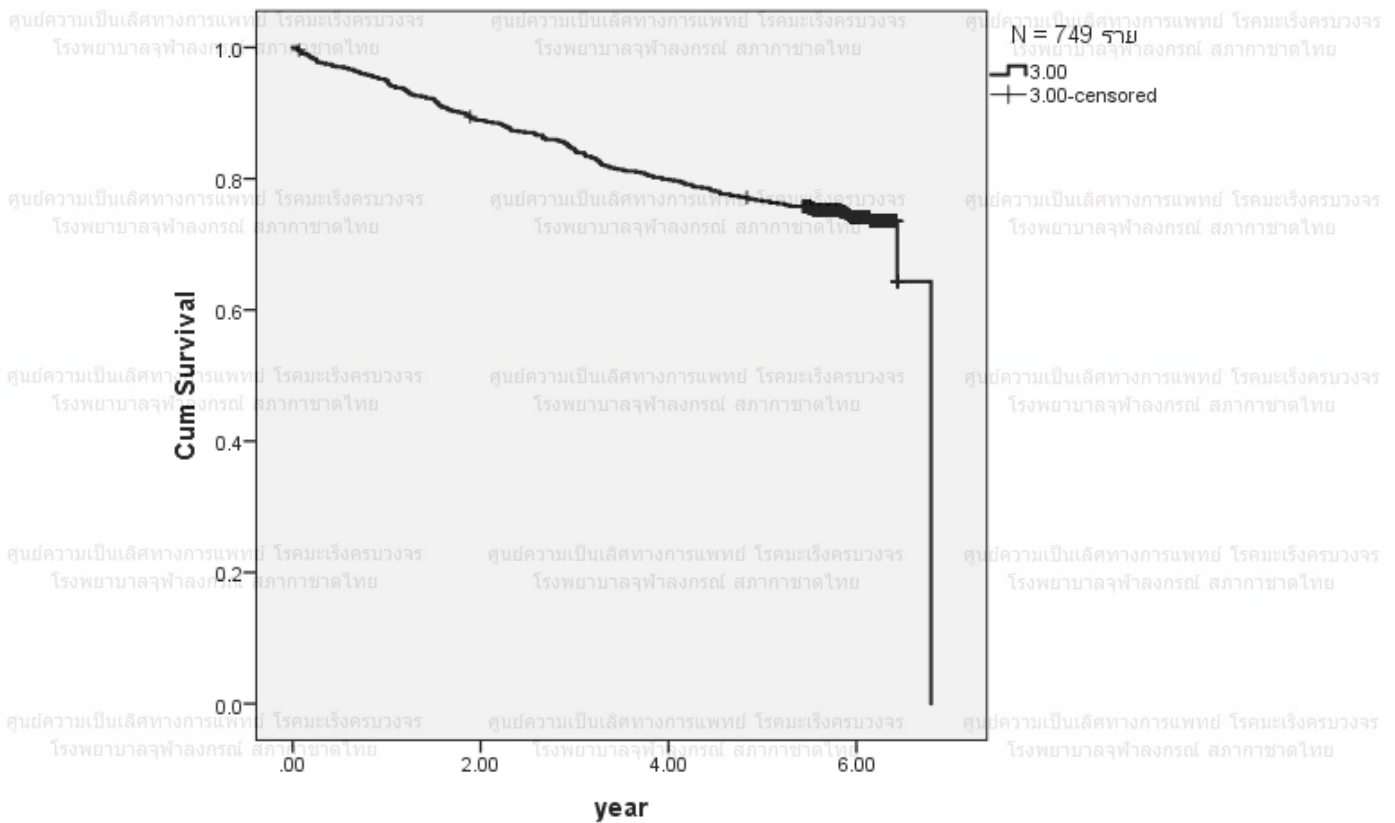
แผนภูมิที่ 51

ตารางแสดงอัตราการรอดชีพ (survival) ผู้ป่วยโรคมะเร็งเต้านม (breast cancer)

ในปี พ.ศ. 2557 โดยแบ่งเป็นปี

Graph Kaplan-Meier

Survival Function



ภาพรวมผู้ป่วย โรคมะเร็งเต้านม (breast cancer) ในปี พ.ศ. 2557 เพศหญิง โดยแบ่งเป็นปี พบว่า

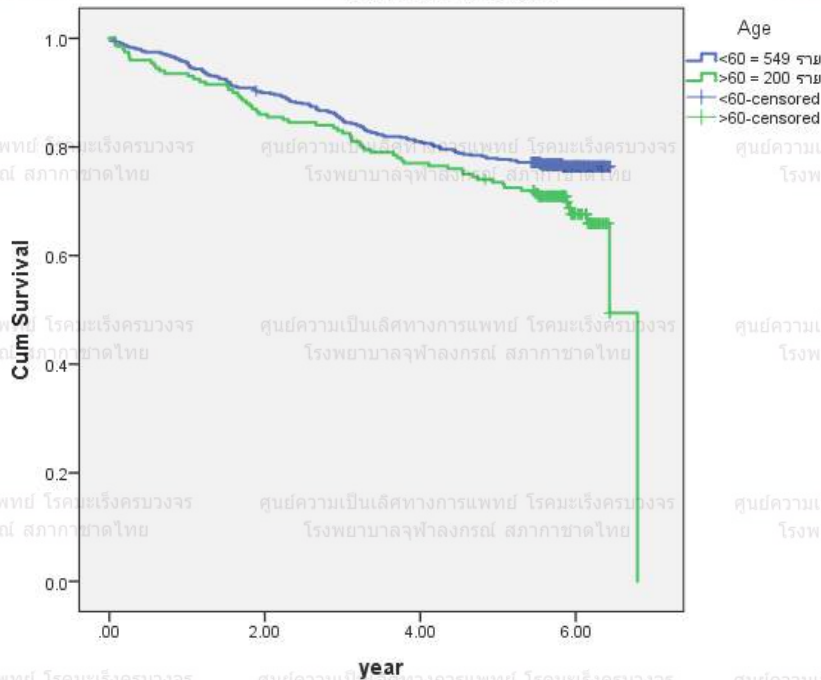
1. อัตราการรอดชีพที่ 3 ปี เท่ากับ 84.5%

2. อัตราการรอดชีพที่ 5 ปี เท่ากับ 76.6%

แผนภูมิที่ 52

ตารางแสดงอัตราการรอดชีพ (survival) ผู้ป่วยโรคมะเร็งเต้านม (breast cancer) แยกตามช่วงอายุ ในปี พ.ศ. 2557 โดยแบ่งเป็นปี

Graph Kaplan-Meier



ผู้ป่วยอายุน้อยกว่า 60 ปี	ผู้ป่วยอายุมากกว่า 60 ปี
อัตราการรอดชีพที่ 3 ปี เท่ากับ 85.0%	อัตราการรอดชีพที่ 3 ปี เท่ากับ 83.0%
อัตราการรอดชีพที่ 5 ปี เท่ากับ 77.7%	อัตราการรอดชีพที่ 5 ปี เท่ากับ 73.5%

Overall Comparisons

	Chi-Square	df	Sig.
Log Rank (Mantel-Cox)	4.516	1	.034
Breslow (Generalized Wilcoxon)	3.066	1	.080
Tarone-Ware	3.512	1	.061

Test of equality of survival distributions for the different levels of age.

หมายเหตุ *ค่านัยสำคัญทางสถิติที่ระดับ .05

จากการศึกษา พบว่า กลุ่มอายุของผู้ป่วยต่างกันมีอัตราการรอดชีพของผู้ป่วยโรคมะเร็งเต้านม

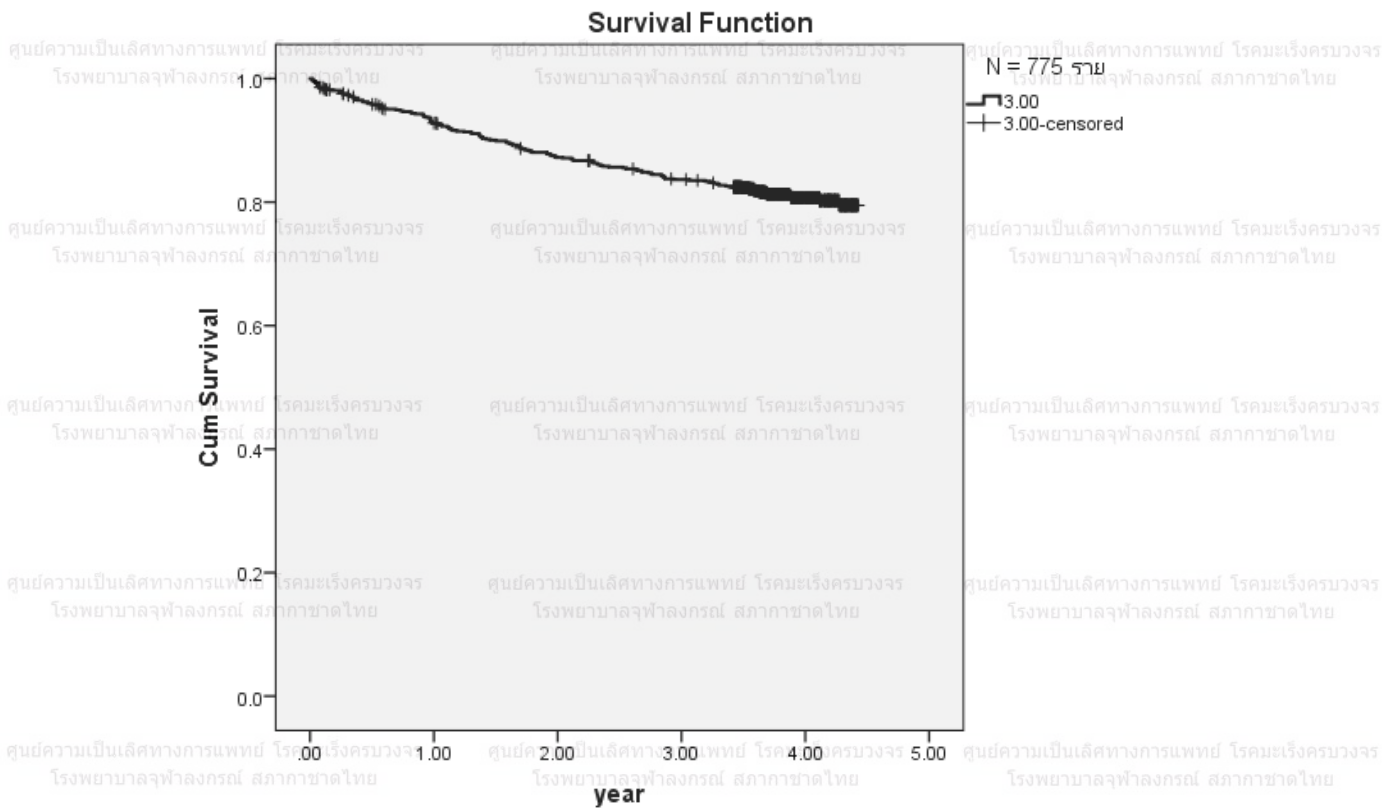
(breast cancer) แตกต่างกันอย่างมีนัยสำคัญทางสถิติที่ระดับ .05

แผนภูมิที่ 53

ตารางแสดงอัตราการรอดชีพ (survival) ผู้ป่วยโรคมะเร็งเต้านม (breast cancer)

ในปี พ.ศ. 2559 โดยแบ่งเป็นปี

Graph Kaplan-Meier



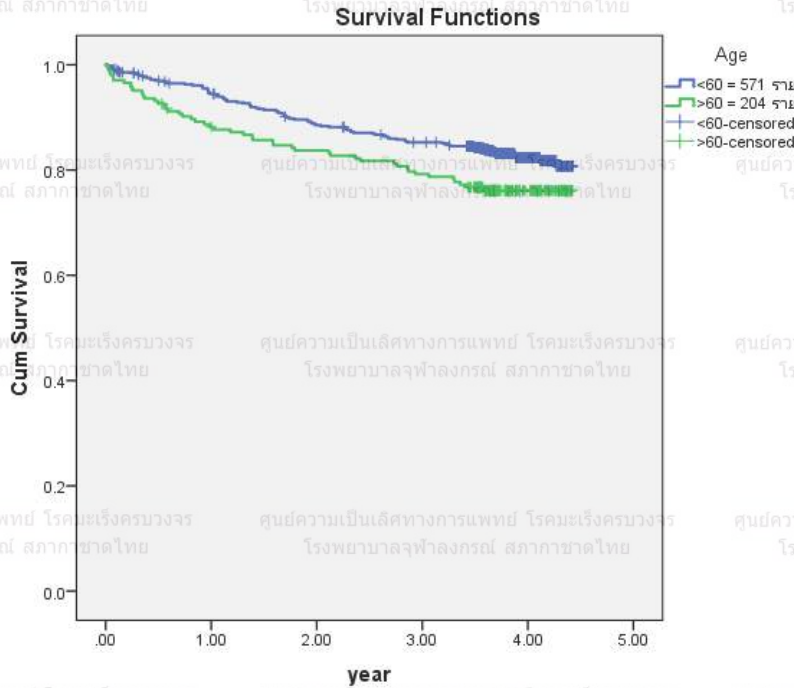
ภาพรวมผู้ป่วยโรคมะเร็งเต้านม (breast cancer) ในปี พ.ศ. 2559 เพศหญิง โดยแบ่งเป็นปี พบว่า

อัตราการรอดชีพที่ 3 ปี เท่ากับ 83.7%

แผนภูมิที่ 54

ตารางแสดงอัตราการรอดชีพ (survival) ผู้ป่วยโรคมะเร็งเต้านม (breast cancer) แยกตามช่วงอายุในปี พ.ศ. 2559 โดยแบ่งเป็นปี

Graph Kaplan-Meier



ผู้ป่วยอายุน้อยกว่า 60 ปี	ผู้ป่วยอายุมากกว่า 60 ปี
อัตราการรอดชีพที่ 3 ปี เท่ากับ 85.3%	อัตราการรอดชีพที่ 3 ปี เท่ากับ 79.2%

Overall Comparisons

	Chi-Square	df	Sig.
Log Rank (Mantel-Cox)	4.651	1	.031
Breslow (Generalized Wilcoxon)	5.951	1	.015
Tarone-Ware	5.419	1	.020

Test of equality of survival distributions for the different levels of age.

หมายเหตุ *ค่านัยสำคัญทางสถิติที่ระดับ .05

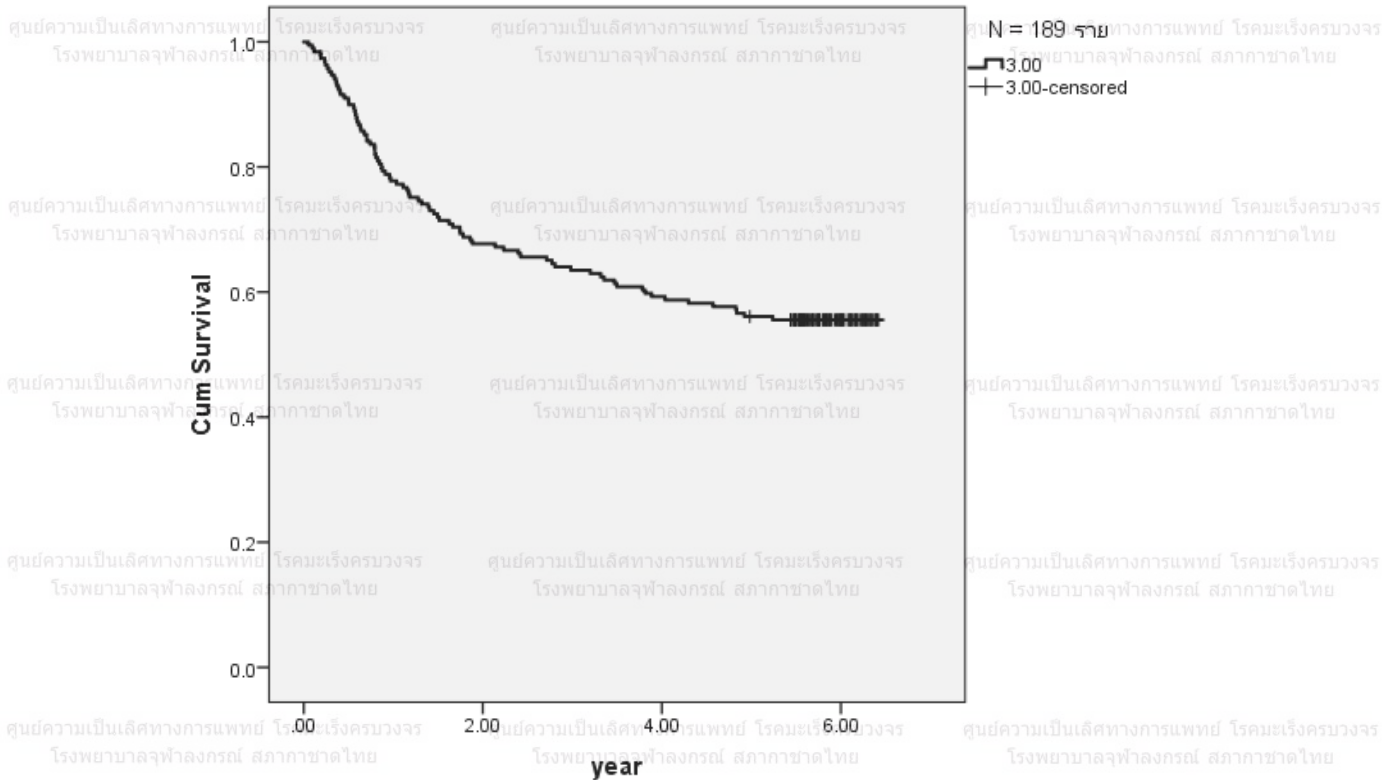
จากการศึกษา พบว่า กลุ่มอายุของผู้ป่วยต่างกันมีอัตราการรอดชีพของผู้ป่วยโรคมะเร็งเต้านม (breast cancer) แตกต่างกันอย่างมีนัยสำคัญทางสถิติที่ระดับ .05

แผนภูมิที่ 55

ตารางแสดงอัตราการรอดชีพ (survival) ผู้ป่วยโรคมะเร็งปากมดลูก (cervix uteri cancer) ในปี พ.ศ. 2557 โดยแบ่งเป็นปี

Graph Kaplan-Meier

Survival Function



ภาพรวมผู้ป่วยโรคมะเร็งปากมดลูก (cervix uteri cancer) ในปี พ.ศ. 2557 เพศหญิง โดยแบ่งเป็นปี

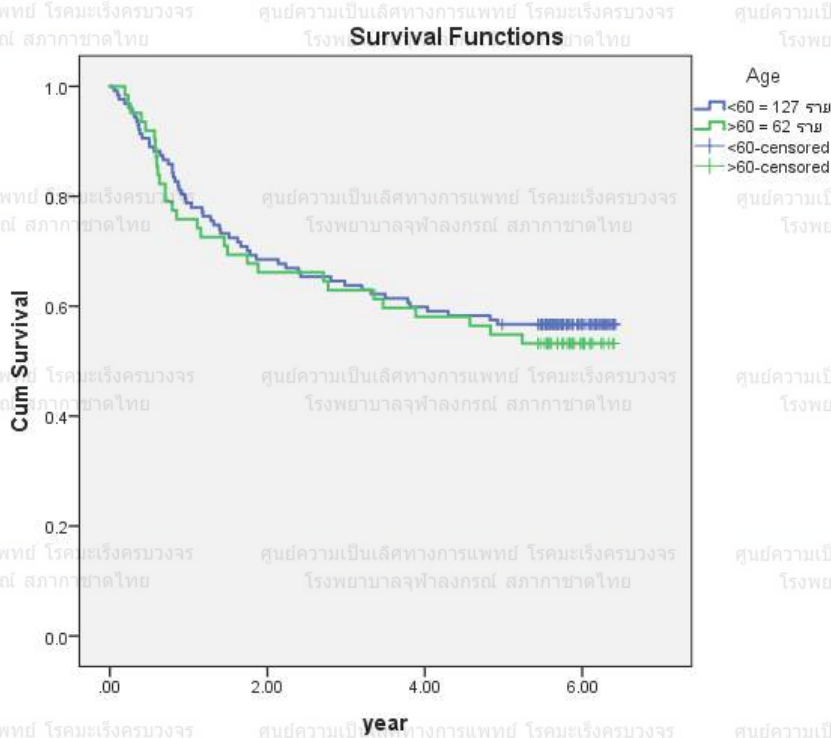
พบว่า

- อัตราการรอดชีพที่ 3 ปี เท่ากับ 63.5%
- อัตราการรอดชีพที่ 5 ปี เท่ากับ 56.1%

แผนภูมิที่ 56

ตารางแสดงอัตราการรอดชีพ (survival) ผู้ป่วยโรคมะเร็งปากมดลูก (cervix uteri cancer) แยกตามช่วงอายุ ในปี พ.ศ. 2557 โดยแบ่งเป็นปี

Graph Kaplan-Meier



ผู้ป่วยอายุน้อยกว่า 60 ปี	ผู้ป่วยอายุมากกว่า 60 ปี
อัตราการรอดชีพที่ 3 ปี เท่ากับ 63.8%	อัตราการรอดชีพที่ 3 ปี เท่ากับ 62.9%
อัตราการรอดชีพที่ 5 ปี เท่ากับ 56.7%	อัตราการรอดชีพที่ 5 ปี เท่ากับ 54.8%

Overall Comparisons

	Chi-Square	df	Sig.
Log Rank (Mantel-Cox)	.189	1	.664
Breslow (Generalized Wilcoxon)	.176	1	.675
Tarone-Ware	.183	1	.669

Test of equality of survival distributions for the different levels of age.

หมายเหตุ *ค่านี้สำคัญทางสถิติที่ระดับ .05

จากการศึกษา พบว่า กลุ่มอายุของผู้ป่วยต่างกันมีอัตราการรอดชีพของผู้ป่วยโรคมะเร็งปากมดลูก

(cervix uteri cancer) ไม่แตกต่างกันอย่างมีนัยสำคัญทางสถิติที่ระดับ .05

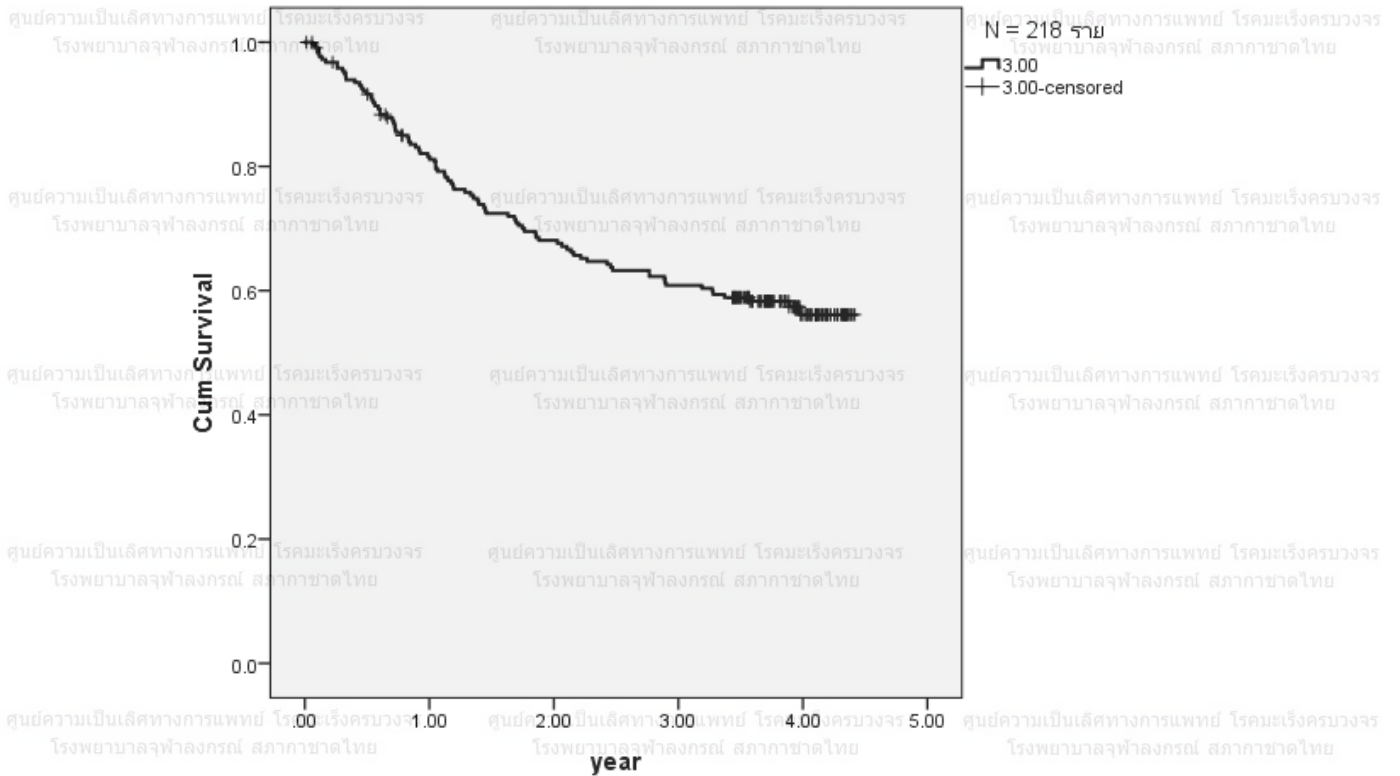
แผนภูมิที่ 57

ตารางแสดงอัตราการรอดชีพ (survival) ผู้ป่วยโรคมะเร็งปากมดลูก (cervix uteri cancer)

ในปี พ.ศ. 2559 โดยแบ่งเป็นปี

Graph Kaplan-Meier

Survival Function



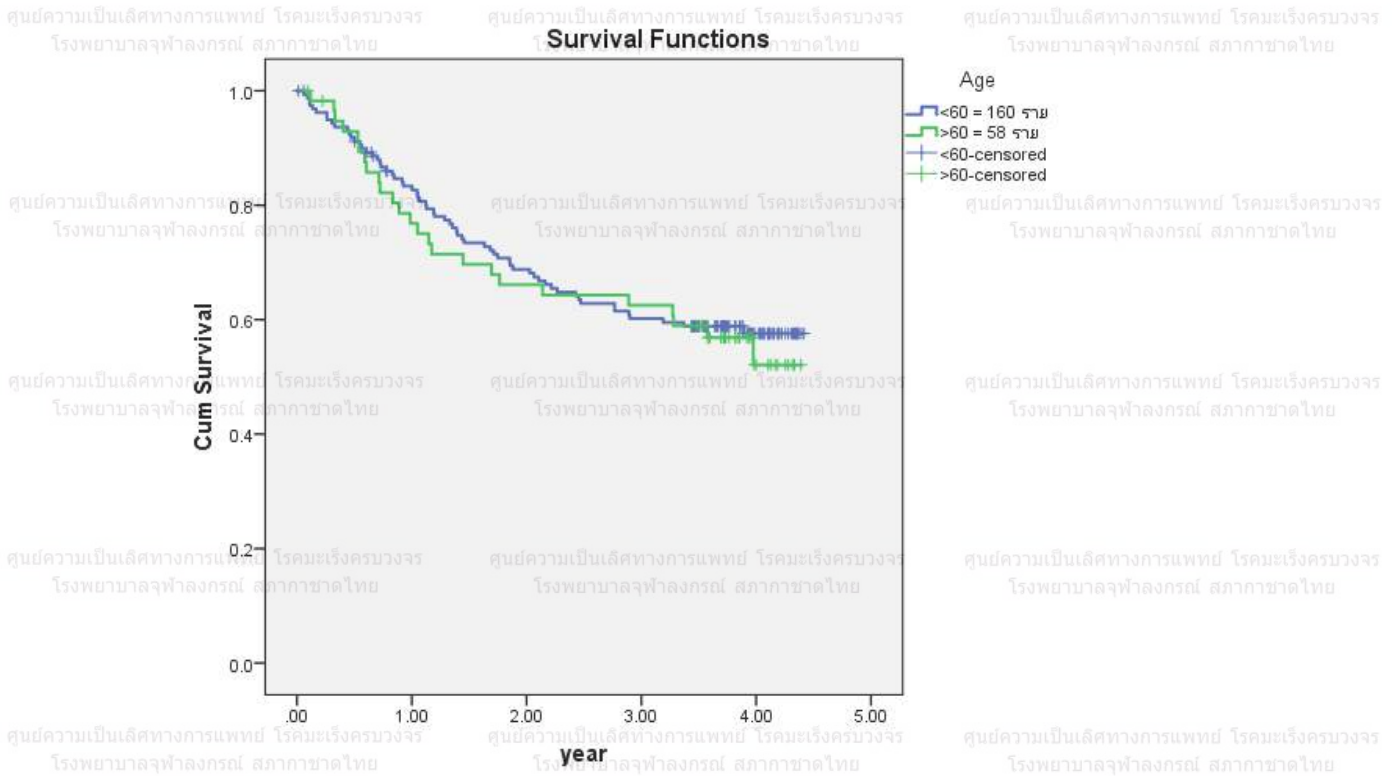
ภาพรวมผู้ป่วยโรคมะเร็งปากมดลูก (cervix uteri cancer) ในปี พ.ศ. 2559 เพศหญิง โดยแบ่งเป็น

ปี พบว่า อัตราการรอดชีพที่ 3 ปี เท่ากับ 60.8%

แผนภูมิที่ 58

ตารางแสดงอัตราการรอดชีพ (survival) ผู้ป่วยโรคมะเร็งปากมดลูก (cervix uteri cancer) แยกตามช่วงอายุ ในปี พ.ศ. 2559 โดยแบ่งเป็นปี

Graph Kaplan-Meier



ผู้ป่วยอายุน้อยกว่า 60 ปี	ผู้ป่วยอายุมากกว่า 60 ปี
อัตราการรอดชีพที่ 3 ปี เท่ากับ 60.2%	อัตราการรอดชีพที่ 3 ปี เท่ากับ 62.5%

Overall Comparisons

	Chi-Square	df	Sig.
Log Rank (Mantel-Cox)	.147	1	.701
Breslow (Generalized Wilcoxon)	.106	1	.745
Tarone-Ware	.115	1	.735

Test of equality of survival distributions for the different levels of Age.

หมายเหตุ *ค่านัยสำคัญทางสถิติที่ระดับ .05

จากการศึกษา พบว่า กลุ่มอายุของผู้ป่วยต่างกันมีอัตราการรอดชีพของผู้ป่วยโรคมะเร็งปากมดลูก

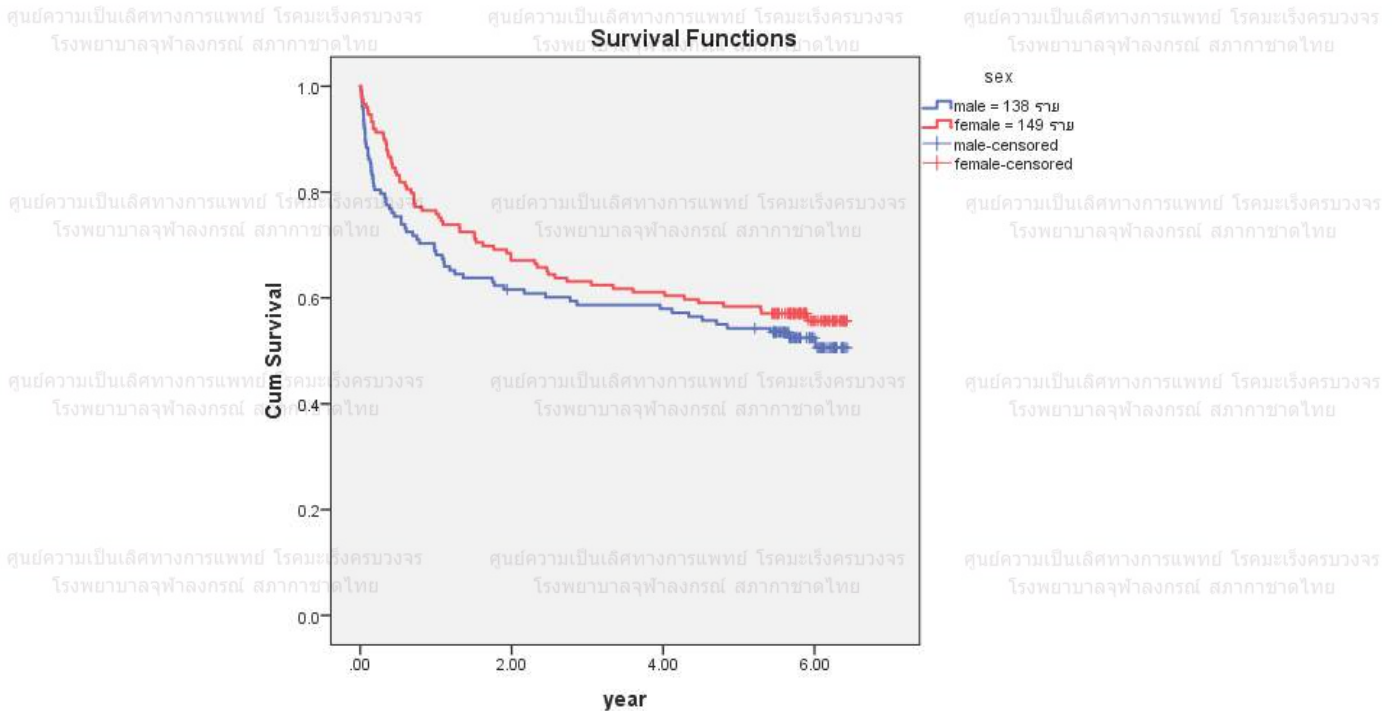
(cervix uteri cancer) ไม่แตกต่างกันอย่างมีนัยสำคัญทางสถิติที่ระดับ .05

แผนภูมิที่ 60

ตารางแสดงอัตราการรอดชีพ (survival) ผู้ป่วยโรคมะเร็งต่อมน้ำเหลือง (lymphoma)

แยกตามเพศ ในปี พ.ศ. 2557 โดยแบ่งเป็นปี

Graph Kaplan-Meier



ผู้ป่วยเพศชาย	ผู้ป่วยเพศหญิง
อัตราการรอดชีพที่ 3 ปี เท่ากับ 58.7%	อัตราการรอดชีพที่ 3 ปี เท่ากับ 63.1%
อัตราการรอดชีพที่ 5 ปี เท่ากับ 54.3%	อัตราการรอดชีพที่ 5 ปี เท่ากับ 58.4%

Overall Comparisons

	Chi-Square	df	Sig.
Log Rank (Mantel-Cox)	1.083	1	.298
Breslow (Generalized Wilcoxon)	1.715	1	.190
Tarone-Ware	1.376	1	.241

Test of equality of survival distributions for the different levels of sex.

หมายเหตุ *ค่านัยสำคัญทางสถิติที่ระดับ .05

จากการศึกษา เพศต่างกันมีอัตราการรอดชีพของผู้ป่วยโรคมะเร็งต่อมน้ำเหลือง (lymphoma)

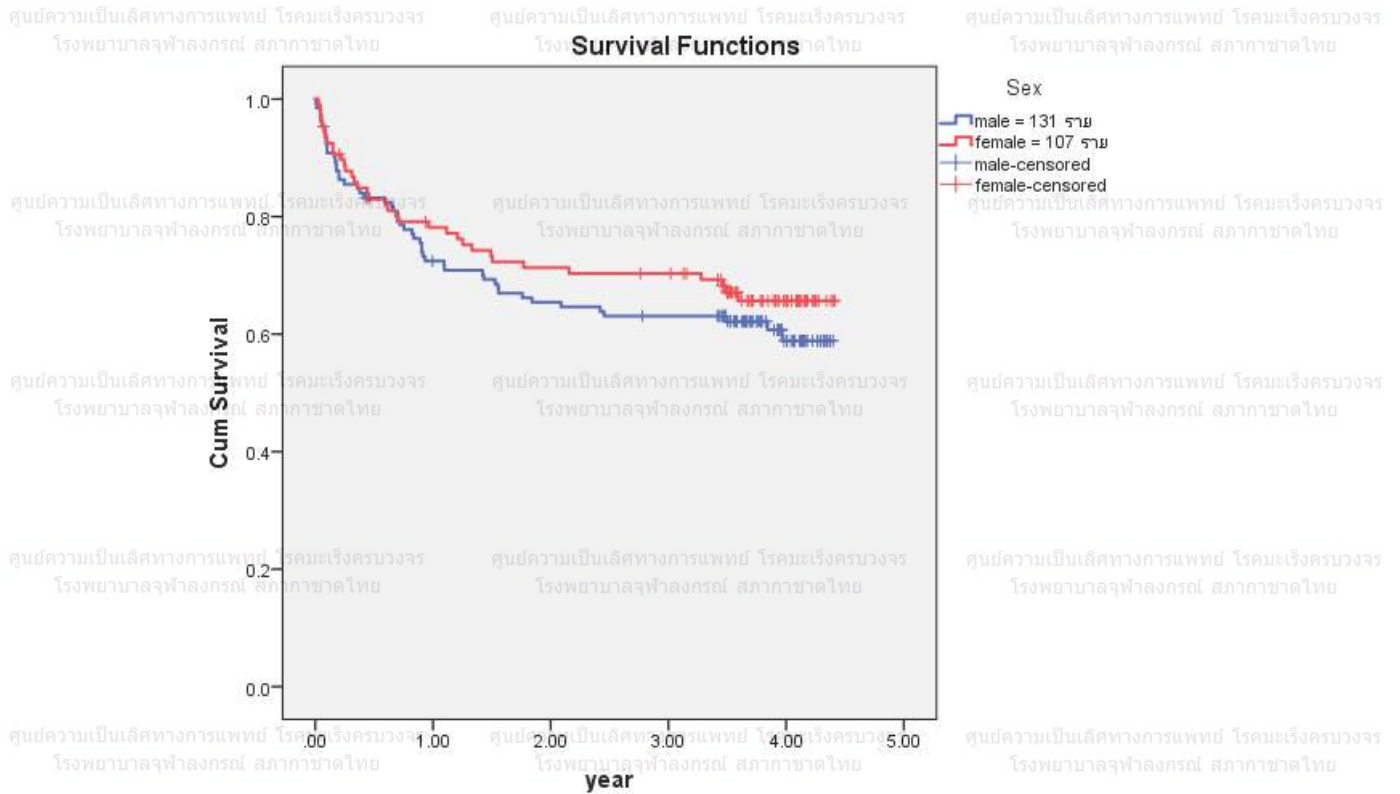
ไม่แตกต่างกันอย่างมีนัยสำคัญทางสถิติที่ระดับ .05

แผนภูมิที่ 62

ตารางแสดงอัตราการรอดชีพ (survival) ผู้ป่วยโรคมะเร็งต่อมน้ำเหลือง (lymphoma)

แยกตามเพศ ในปี พ.ศ. 2559 โดยแบ่งเป็นปี

Graph Kaplan-Meier



ผู้ป่วยเพศชาย	ผู้ป่วยเพศหญิง
อัตราการรอดชีพที่ 3 ปี เท่ากับ 63.1%	อัตราการรอดชีพที่ 3 ปี เท่ากับ 70.3%

Overall Comparisons

	Chi-Square	df	Sig.
Log Rank (Mantel-Cox)	.739	1	.390
Breslow (Generalized Wilcoxon)	.613	1	.434
Tarone-Ware	.665	1	.415

Test of equality of survival distributions for the different levels of Sex.

หมายเหตุ *ค่านัยสำคัญทางสถิติที่ระดับ .05

จากการศึกษา เพศต่างกันมีอัตราการรอดชีพของผู้ป่วยโรคมะเร็งต่อมน้ำเหลือง (lymphoma)

ไม่แตกต่างกันอย่างมีนัยสำคัญทางสถิติที่ระดับ .05

